### 平成2年度

# 研究報告

REPORT OF THE INDUSTRIAL TECHNOLOGY CENTER
OF WAKAYAMA PREFECTURE

技術情報別冊



和歌山県工業技術センター

### 工業技術センター研究報告の発刊に際して

当センターでは、従来の依頼分析対応中心の工業技術センターから 技術指導・研究開発中心の提案型の工業技術センターとすべく諸種の 現代化・充実に努めてきております。

職員の研究は、いわゆるプロジェクト研究(中小企業庁・日本自転車振興会補助を受けた大型研究)、産官共同研究(平成2年度よりスタート、公募によって企業と共同して2年間以内に試作品をつくる)、経常研究に大別されます。

なお、平成3年度からはこれらに加えクリエイト・リサーチ(所員の提案に基づき従来行っていない分野の研究を将来の糧として週に1日さくようなイメージ)を開始しました。

従来研究報告は当センターのいわゆる年報の中の一部分を構成する 形でまとめられていましたが、研究重視の中、その実態を皆様にお伝 えすべく又、成果発表会等での利用の便等も考慮し、今回から研究報 告を独立した形で発刊することといたしました。

本小冊子が皆様方企業と私ども工業技術センターなかんずく個々の 職員をつなぐよすがの1つとなり新たな相互交流が生まれでることを 期待いたします。

平成3年9月

和歌山県工業技術センター 所長 構 山 勝 雄

## 目 次

| ATFK(メリヤス生地編立フレキシブル生産システム)に関する研究               | 1     |
|--|-------|
| - 多給糸編機による自動度目調製装置の開発 -                        |       |
| 上川二三雄 岡本 良作 角谷 秀昭 平田 重俊 山本 芳也                  |       |
| CGプリント加工支援システム                                 | 6     |
| 大萩 成男 田村 禎男 中岡 元信                              |       |
| 再織製織自動化研究(概要)                                  | ·· 10 |
| 藪内 武 角谷 秀昭 平田 重俊 神前 寿                          |       |
| 端末機のデザイン検討・・・・・・・・・・・・・・・・・・・・・・・・・・・・・・・・・・・・ | . 11  |
| 由井 徹 山本 芳也                                     |       |
| 家具デザインの提案                                      | ·· 14 |
| 北口 功   |       |
| 木材加工技術に関する研究(概要)                               | ·· 15 |
| - 木材加工における接合法に関する研究 -                          |       |
| 浦野 健三 平田 重俊                                    |       |
| 皮革の染色技術改善に関する研究Ⅱ                               | 16    |
| - 酸性染料及び含金属染料による床革の染色堅ろう性改善試験 -                |       |
| 谷 正博 元吉 治雄                                     |       |
| ウェットホワイトの副産物利用に関する研究Ⅱ                          | . 22  |
| - 酸性域での脱アルミニウム条件の検討-                           |       |
| 元吉 治雄 谷 正博                                     |       |
| ドライホワイトの製造条件に関する検討                             | 26    |
| 由良 好史  |       |
| ウェットブルーの実用化試験X                                 | 30    |
| 元吉 治雄 石原 矩武                                    |       |
| 皮革の風合い改善(国際的に通用する皮革素材の研究開発)                    | 31    |
| ー市販革の機械的性質-                                    |       |
| 石原 矩武 由良 好史                                    |       |
| 省クロム鞣し実用化試験                                    | ·· 32 |
| 元吉 治雄 石原 矩武                                    |       |
| 低温プラズマを利用した繊維の耐久性難燃加工                          | 33    |
| 久保田静男 伊藤  修                                    |       |
| アミノホスフアゼン化合物の合成及びエポキシ樹脂硬化剤への応用                 | r. 37 |
| 久保田静男 伊藤  修 前田 育克                              |       |

| 尿素樹脂-ジメタクリレート系ポリマーアロイの合成(概要) 41   |
|-----------------------------------|
| 伊藤 修 久保田静男                        |
| カリックスアレーンの機能化に関する研究 :             |
| アゾカリックスアレーンのソルバトクロミズム 42          |
| 野村 英作 谷口 久次                       |
| カリックスアレーンの誘導体に関する研究 :             |
| タコ型カリックスアレーンを触媒とするエステル生成反応(概要) 45 |
| 谷口 久次 川口 章一* 大辻吉男**               |
| 梅酒の高品質化に関する研究(1) 46               |
| ー最適発酵条件の検討ー                       |
| 高辻 涉 池本 重明 坂口 幸平*** 南 広己          |
| 梅酒の高品質化に関する研究 (2) 49              |
| - 梅果汁からの酵母の分離 -                   |
| 池本 重明 高辻 渉 坂口 幸平*** 南 広己          |
| 清酒中に残存するグルコアミラーゼの除去に関する研究 51      |
| ーキトサン樹脂によるグルコアミラーゼの吸着-            |
| 高辻 涉 吉田 弘之 ****                   |
| メリヤス針曲がり修正機の開発                    |
| 前田 裕司 藪内 武                        |
| 画像処理に関する調査研究 58                   |
| 石野久美子 前田 裕司                       |
| 視覚処理技術による外観検査システムの研究 60           |
| - パソコンを利用した傷検査装置用画像処理プログラム -      |
| 松山  浩 岡本 良作                       |
| ゴムリングの外観システムに関する研究(概要) 63         |
| ーパソコンを利用した画像処理の開発環境の構築-           |
| 岡本 良作 松山 浩                        |
| ニューセラミックスの評価技術研究                  |
| 田口 義章 澤田 俊彦 小畑 俊嗣                 |
| セラミックス原料の調整法の研究                   |
| 小畑 俊嗣 澤田 俊彦                       |
| 素材加工における高度表面処理技術の研究 70            |
| ー金属と皮膜の接合-                        |
| 田口養章岩鶴 昭                          |
| ベルトコンベヤーのプーリー破壊原因の一考察             |
| 中村  嵩                             |
| *三木理研工業(株) **大阪府立大学               |
| ***木の国酒造㈱ ***大阪府立大学               |
|                                   |

### ATFK (メリヤス生地編立フレキシブル 生産システム) に関する研究

- 多給糸編機による自動度目調整装置の開発-

システム技術開発プロジェクトチーム 上川二三雄、岡本 良作、角谷秀昭 平田 重俊、山本 芳也

### 要 旨

丸編生地製造業界において、編目度目の設定作業は熟練のいる大変重要な仕事である。システム技術開発事業の一環として丸編機による度目調整を自動的に行うシステムの開発を実施した。

本年度は、セントラルステッチ方式の丸編機を利用した度目調整方法についての開発を実施した。試作に係るシステムは、アイロクオリティプーリー径変更装置、セントラルステッチカムルング駆動装置、給糸張力表示装置およびコントロール部から成り、編目長を指示するとアイロクオリティプーリー径を自動的に調整し、カム位置を給糸張力値をもとに自動調整するものである。

このシステムを使用して編成した結果、2本のアイロテープを使用したにも関わらず、度目設定の基礎となる編み込み長の設定が簡単にかつ正確に行えることがわかった。

### 1 はじめに

NIES 諸国の台頭により、本県ニット業界は高付加価置製品の生産、多品種少量生産体制を余儀なくされている。それに対するため、工程の合理化、システム化が重要であるとともに編成作業等の自動化が望まれている。しかしながら、編立工程のほとんどが技術者の経験と勘に頼っているのが現状である。例えば、度目調整作業、検反作業等は、大変時間と熟練のいる工程であり、自動化、省力化が望まれるところである。

本研究は、これらに応えるための自動度目調整システムの開発を目標としている。前報においては、コース密度、ウェール密度とループ長の関係、ループ長とアイロテープ送り量の関係、カム位置と給糸張力の関係、ループ長、給糸張力と風合い値の関係を予めコンピュータに入力しておき、キィ入力された密度、給糸張力および許容範囲により、自動的にアイロテープによる給糸量を調整するシステムを報告した(3)。 本年度は、全給糸口の移動を可能にしたセントラルステッチカムを有する編機を使用して多給糸口による自動度目調整シス

テムの開発を実施した。なお本システムは、実用 に即した物にするためアイロテープを2本使用す る様にした。

### 2 開発目標

本システムの開発にあたり、以下の条件を目標にした。

1)編機を運転しながら、クオリティプーリーの 径を変更することができる。

すなわち、クオリティプーリー径を変更すると、 糸張力、アイロテープ張力を一定に保ちながらス テッチカムが連動する。

- 2) モータードライブにより、スイッチ操作で簡単にクオリティプーリー径を設定できる。クオリティプーリー径の設定はデジタル表示する。
- 3) 知りたいデータをデジタル表示する。

すなわち、編機1回転当りの給糸量、累積給糸量、クオリティプーリー径、編機回転数、編機累積回転数等を表示する。

- 4) クオリティプーリーを2個以上使用可能とする。
- 5) プーリーの最小直径を90 mmとする。

- 6) 張力が適正値を逸脱すると警告すると共にそれにより、カム位置の変更を行う。
- 7) 将来のトータルシステムへの対応のためパソコンへの通信機能を備えておく。

### 3 システムの構成

試作機器の構成は、図1に示すように、自動 度調整コントロールユニット、テープ速度調整装 置(アイロテープクオリティプーリー径変更装置)、 アイロテープ、給糸張力表示装置、セントラルス テッチカムリング、及び駆動装置から成っている。

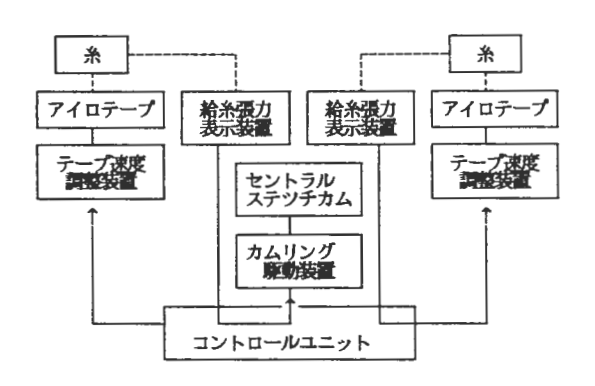


図1 システムの構成

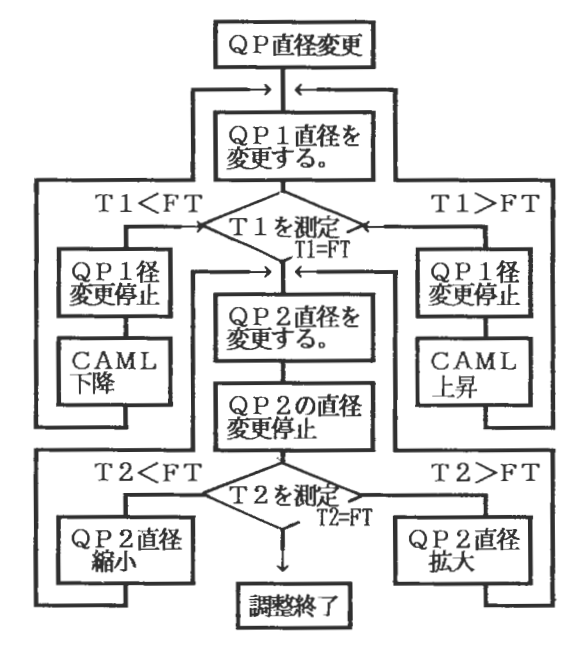
### 4 使用機器

福原精機製作所製丸編機 3 FA (セントラルステッチ方式 20 G.給糸口 30. アイロテープ 2 本使用) に、試作機器を取り付けた。

### 5 度目調整方法

本システムによる度目調整の方法を概説する。 図 2 に度日設定手順を示した。

図1の様に本システムには、2組のアイロテープ、アイロクオリティプーリー、張力表示装置を有している。まず、度目を粗くする場合、クオリティプーリー1の直径を大きくする指示またローラーを通じて入力する。すると、クオリティでの転して径を大きくする。の過小が減少し、張力表示装置の過小がが下降して、給糸張力を増大させて張力表示装置1 が終まで移動する。その場合、赤装置2は、クオリティプーリー2に依存するのでクオリティプーリー2は直径を徐々に大きくして、カオリティプーリー2は直径を徐々に大きくし て、張力表示装置2の適正値を呈するまで変化させて調整する。この動作を順次繰り返し、調整を終了する。



QP1: クオリティプーリー1 QP2: クオリティプーリー2 T1: 張力表示1 T2: 張力表示2 IRO1:アイロテープ1 IRO2:アイロテープ2

TRUZ: ディロテー/2 CAML: カムリング FT : 適正編成張力

図2 度目調整手順

### 6 各ユニットについて

### 6~1 アイロプーリー径調整装置

本装置は、速度制御機構部とテープの張力補正機構部から成っている。速度制御機構部は、クオリティプーリーの上蓋と下蓋を制御モーターで駆動する差作動ギアー機構にて相対的に回転させてテープの作業径を変更させ、これにより送りテープ速度を変更させて給糸速度を変える機構としている。また、テープ張力の張力補正機構部は、クオリティプーリーに連動してクオリティプーリーの作動径の変化により生じたテープの張力の変動を補正するように構成されている。その概要は写真1に示す通りである¹¹。

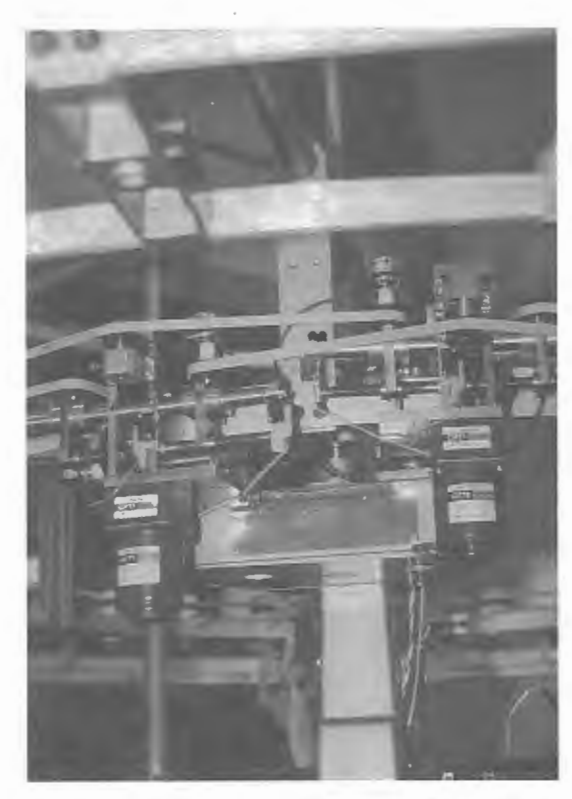
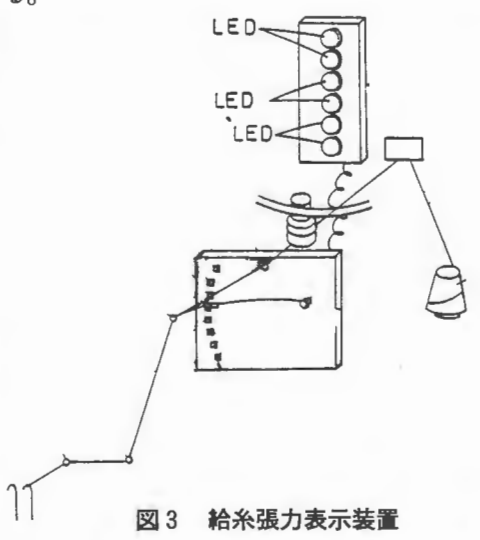


写真1 アイロクオリティプーリー径調整装置

### 6-2 給糸張力表示装置(2)

本装置は、針に給糸される糸の張力に応じて給 糸具を変位させる給糸具変位部と、変位を電気信 号として取り出す給糸具変位検出部と検出部から 出力される検出信号を受信して糸張力を表示する 給糸張力表示部と、張力の過大もしくは過小を知 らせる給糸具変位検出部の検出信号を受信して張 力を正常値に復帰させるための指令信号を発生す る制御部と、制御部の指令信号に基づき編成中の 編糸の張力を正常値に補正する編糸張力補正部と を備えている。給糸張力変位検出部は図3に示す ように鋼線ばね製のアームの基端部にねじりばね 部を一体的に形成し、このねじりばね部の端部を 固定しており、アームの先端に環状の糸ガイドを 取着して構成している。編糸の張力に応じて下方 へ弾性変形し、正常な張力の時にはほぼ水平にた わみ過大張力になると下方へたわむ。変位検出部 はアームの中間部に小型の永久磁石を取り付け、 永久磁石の軌動と対応する部位にこれに反応する 複数個の検出用ホール素子を列設してある。正常 な張力の場合、中間部のセンサーが反応して正常 を知らせる検知信号を出力し、張力が過大の場合、

下方に位置するセンサーにより知らせるものである。



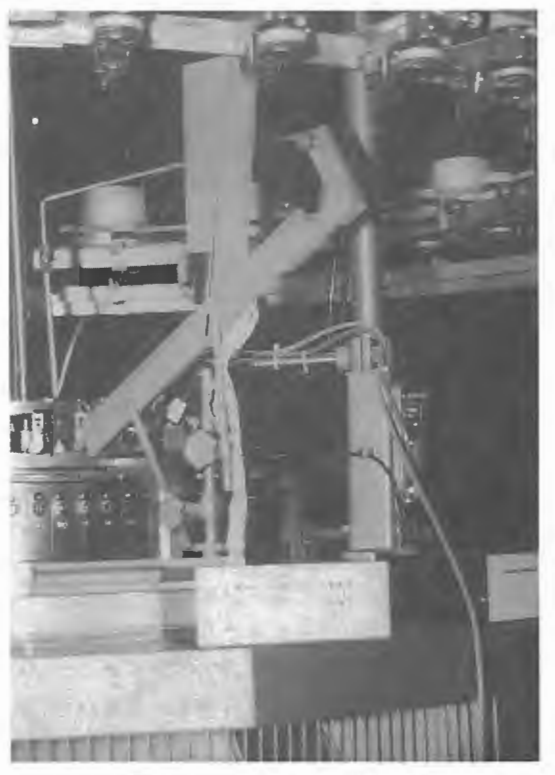


写真 2 給糸張力表示装置 6-3 セントラルステッチカムリング駆動装

本機のセントラルステッチ方式は、30 給糸の編目度目制御のためカムリングを垂直方向に最大0.7 mm上下に移動させることにより針が連動して同方向に移動可能な機械機構からなっている。

置(4)

アクチュエーターにリバーシブルモーター (O-RIENTAI, MOTOR-3PK15GK-42) をもちいて、アジャストスクリューの正転、逆転の制御をコントロールユニットから行えるようにしている。 本装置の概様は写真 3 に示した。



写真3 セントラルステッチカムリング駆動装置6-4 コントロールユニット

写真4に本装置の概様を示した。本装置は、ア イロクオリティプーリーからの信号、カムリング への信号、給糸張力表示装置からの信号等の制御 とコントローラー表示及び操作部から成っている。

図4の表示に関するチャートに示すように、パネル上に、編機回転数 (rpm)、回転数累積 (回)、給糸量/回転 (m)、累積給糸量 (m)、クオリティプーリーの選択 (1, 2, 3, 4)、クオリティプーリー経設定スイッチ、クオリティプーリー径 セットスイッチ、クオリティプーリー径マニュアル操作スイッチ、クオリティプーリー校正スイッチ、累積リセットスイッチ、ステッチカム位置マニュアル操作スイッチ等から成っている。

### 7 編 成

本システムを使用して編成試験を実施した。

30/1 綿糸によりアイロクオリティプーリー1 および 2 主導で編成した結果、アイロクオリティプーリー径に 3 目盛りから 5 目盛りの差異が見られた。また、それにつれて、プーリー1 で供給される糸長とプーリー1 で供給される糸長の間にも差異が認められた。この原因は、 2 つの給糸張力表示装置の検出能力の差に原因しているのではないかと考えられる。写真 5 は、本システムで編成した生地の一部である。



写真4 コントロールユニット

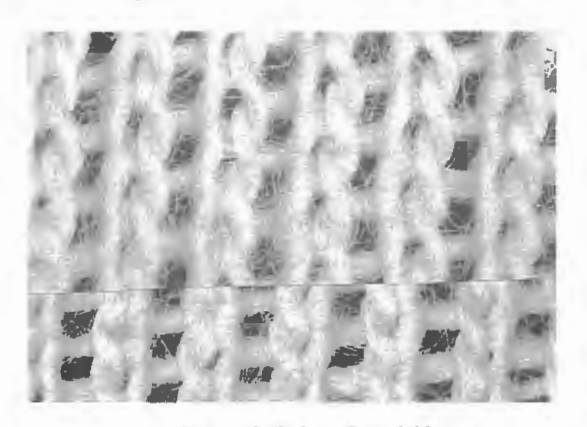


写真 5 密度大、小の生地 8 おわりに

本システムは、先に開発した1給糸口編機による自動度目調整装置をもとに30口編機についての自動度目調整システムを開発した。セントラルステッチカム方式を採用すること、給糸張力をカム位置決定の指標とすることで簡便なシステムにすることができた。熟練者でなくても簡単に度目の調整を行うことが可能となった。しかしながら、2つのプーリーのバラッキの原因と思われる張力センサーの改良等問題点が多く残されている。本

研究は、本システムをパソコンから制御できるようにし、将来の全自動編成工場へとつなげていきたい。

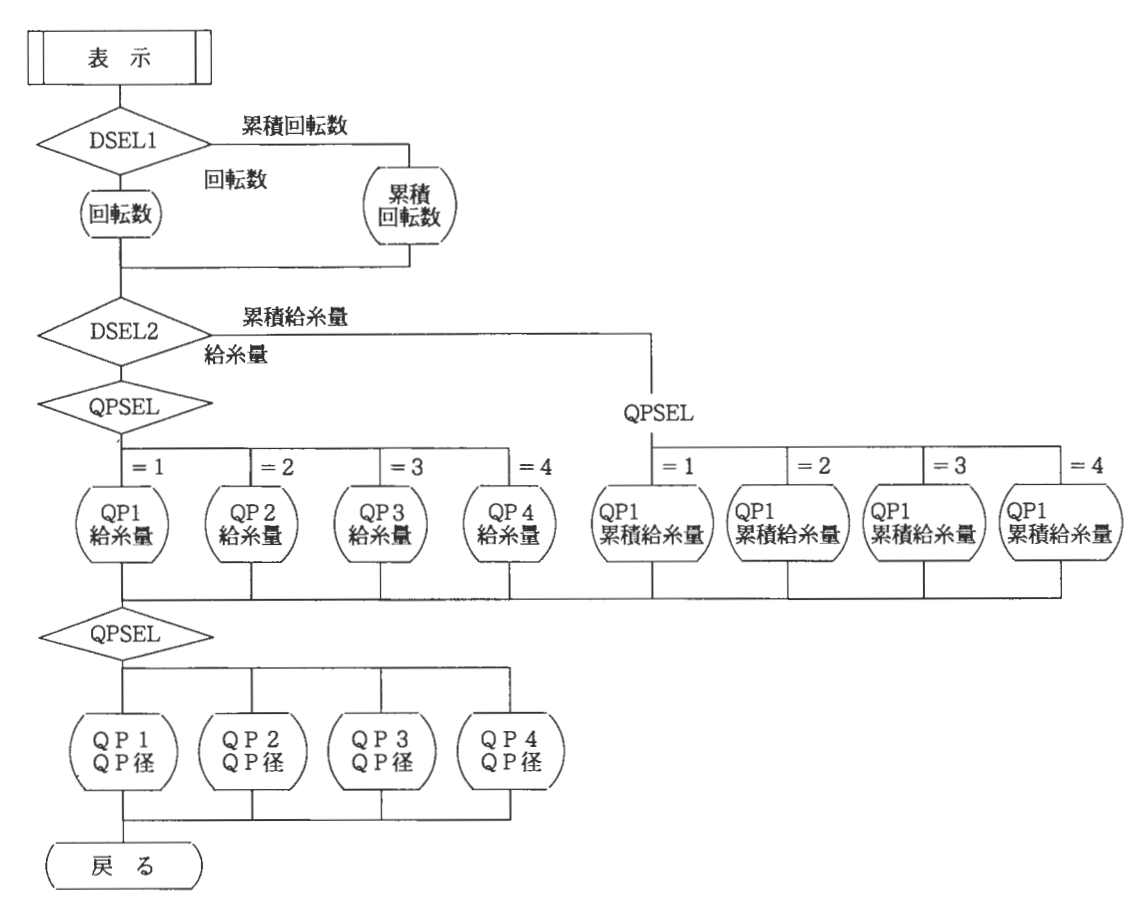


図4 表示チャート

### 汝 献

- 1) 送りテープの速度制御機構(特願 63-25250 6)
- 2) 丸編機の給糸張力表示装置(実願平 2 -1100 45)
- 3) 神前寿他 ATFK (メリヤス生地編立フレキ シブル生産システム) に関するシステム概要 和工技報告(平成元年度)
- 4) 岡本良作他 バソコンによるメリヤス編機の セントラルステッチカムリングの位置制御 和工技報告(平成元年度)
- \*本システムの製作プログラムの開発は、アイレス電子工業㈱により実施しました。ここに深謝いたします。

### CG プリント加工支援システム

システム技術開発プロジェクトチーム 大萩 成男、田村 禎男、中岡 元信

### 要 旨

プリント染色加工の各作業をより合理的かつ迅速に遂行するため、CG ワークステーションと従来のプリント技術(CCM・CCK)および印刷技術(版下作成)を利用した新しいシステム構築を試みた。このCG プリント加工支援システムは次の各サブシステムから構成される。

- 1) 配色加工マス刷り代替見本作成システム
- 2) 版下フィルム出力システム
- 3) CG-CCM-CCK 連動調色調糊システム
- 4) 版下フィルム作成専用システム
- 5) プリント加工データ管理システム

### 1 緒 言

CGシステムの繊維工業における利用は、当初物理的なデータによる解析や加工が中心であった。それが今日では、テクスチャー表現や入出力機器間での色彩的な取り扱いなど、心理的な要素までもが処理の対象となってきている。このような技術的背景と業界全体の期待や要請のもとに注目を集めてきたのが、プリント加工へのCGシステムの応用である。

こうした経偉をたどりつつ、本格的なプリントデザイン設計、配色加工(替え)の効率化とハードコピーの利用によるマス刷り代替見本作成、システムで生成された色彩データ情報の調色への適用、スクリーン用版下フィルム作成なども、魅力ある応用分野として研究が進められ、ようやく実用域に近づいてきた感がある。

ことような状況下、当チームもCGの応用について検討を重ねてきたが、「CGプリント加工支援システム」としてある程度の使用出来る可能性を確認し得る段階に至った。本稿は、その検討経過とシステムの概観を記述するものである。

### 2 システムの開発

### 2-1 開発上の重要課題

CG 応用化システムの開発は、単にCG 技術の 進化だけに依拠して成立するものとは考えにくく、 プリント加工については、次の諸点に関して考慮 する必要があった。

基本的に、この種のシステムがCGという道具を中心に据えて展開された技術であっても、プリント加工特有の基本的な従来技術と問題点についての正確な認識が欠けていれば、両者の特徴が十分に活かされた新しい方式を考案することは不可能である。

第2に、システムを構成する複数の色再現メディアでは、対象となる1つの「色」について異なる色彩表現(数値)が在存し、相互の心理物理的対応の考え方や、具体的処理について統一された方式がなかったのである。

もう一点、システムによって作成される配色・ 色見本の画像カラープリントや色・柄(版下用画 像)データであっても、目的や適用の範囲につい て的確に判断されるならば、プレゼンテーション 用あるいは加工情報・加工原図として使用可能と する考え方が、今のところそれほど一般化されて いないという事実についても考慮する必要がある。

確かに、カラープリントによる配色見本は紙製の写真や印制物であり、色材の種類も色再現の方法も実際のプリント製品とは異なる。かつ、サイズの面から見ても、製品としてのより正確な総合評価を行う時には不満が残るかもしれない。それでも、色柄の構成と全体のバランスやイメージについて確認し、配色選択と修正の材料とするプレ

ゼンテーションの目的を考慮するなら、その簡便性・迅速性・保存性による効用も含めて、担当者 の柔軟な対応により十分役立つものと考えられる。

また、色分解を基本とするプリント独自の版下 用モノクロ画像フィルム作成システムについても、 重色や種々のボカシ技法など作業者自身のノウハ ウが多様なもの全てを、今のところ完全(従来の トレーシング方法と同様)に再現するとは言い切 れないかもしれない。しかし、現時点のシステム 機能でも対応可能な原図色柄も在存し、その迅速 性は従来方法と比較して充分効果的である様に考 えられる。

### 2 システムの開発目標

本システムは捺染加工の原図入力、色分解・版下処理・配色替えを経てプレゼンテーション用見本作成・版下フィルム作成、データ転送による調色・調液(糊)にいたる各加工段階のFMS化と実生産への応用を目指して導入し、検討・開発に

供したものである。ここでは、各工程で扱われる 色彩データ、版下画像データ、調糊量データ、処 方データ、調液データなどの加工情報を、まとめ て管理する方法(プリント加工情報管理システム) について検討することも重要な課題となる。

### 3 システムの概要と機能

第1図は、本検討に用いたCG システムとプリント加工関連機器の構成および関連を、作業の流れに沿って示したものである。(仕様及び機能の詳細については、文献3)参照)

### 3-1 CG プリント加工支援システムの機能

このようなプロセスを進めていく上で必要と考えられ、付加された機能の主たるものをその応用目的と併せて次に整理する。

### 1)入力原図色分解機能

二次処理可能な色分解画像の効率的作成(自動 色分解、色選択的色分解、入力ノイズ除去、色分 解画像確認)

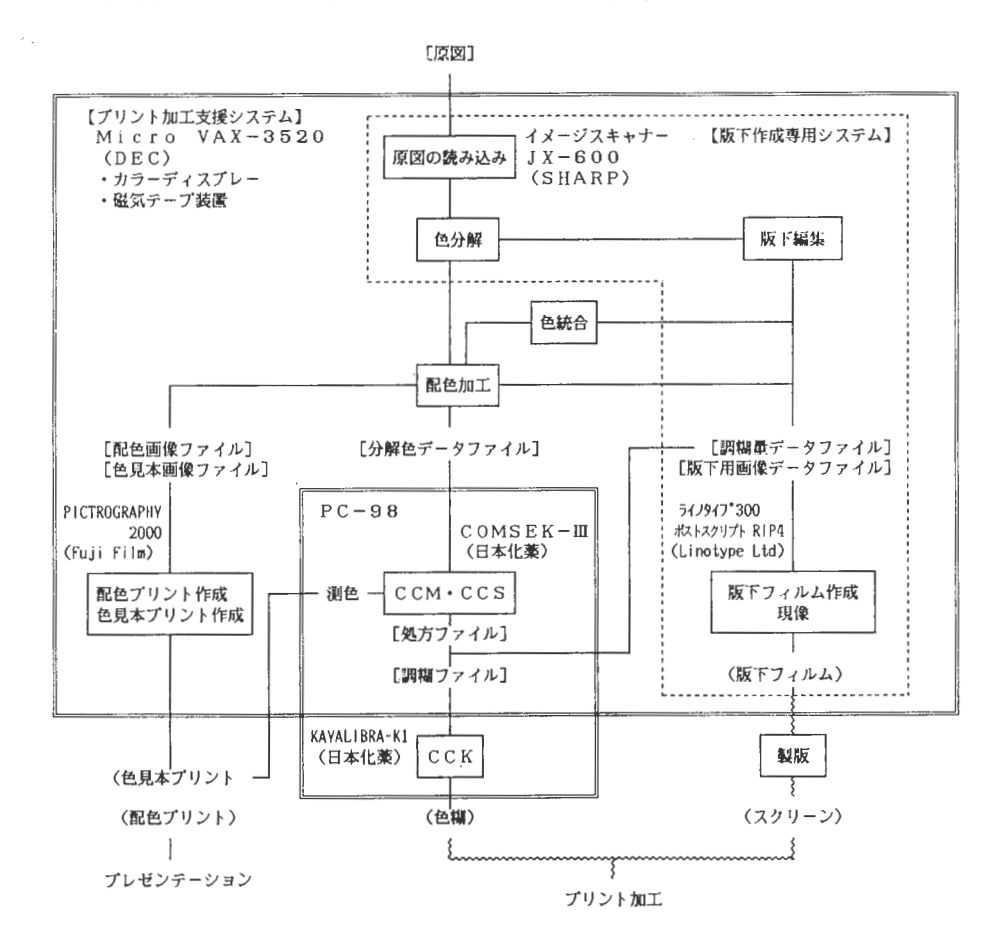


図1 システムを用いた工程の流れ

### 2) 色補正変換機能

本体と入出力機器間の色補正(呈示用配色見本・ 色見本作成)

### 3) 色彩の数値表現機能

カラーチャート・色彩値ファイルの作成(XY Zから導出される常用表色系相当値[HVC、HD L\*C、HDL\*Br\*]による表示と選択)

### 4) 配色加工機能

プリント配色替え特有の修正・指示(段落ち等の色彩変換、色のトーン表示、各種表色値による表示と選択、物体色及び光源色の理論的色彩表現限界の表示)

### 5) プリント版下編集機能

スクリーン版下フィルムの効率的作成(版下用 柄分解と加工、ファイル作成、調糊量計算)

### 6) データ管理機能(継続検討中)

色分解原画像、版下画像、配色画像、色彩数値、 調糊量、処方、調液(糊)データ等の総合管理 3-2 システムにおける色彩の取り扱い<sup>1)</sup>

従来、CG システムで扱われる色彩情報はスキャナー入力やモニター出力電圧である RGB (HLS や HCRL 色空間モデル)または、プリンター出力される CMY に限定されていた。しかし、こうした色彩値は染色物のような物体色としての色の取扱いや、各種の色彩表現手段との相互変換が困難である。

本システムでは XYZ(物体色相当値) および 補間によって算出されるマンセル表色値を基本としており、例えば CCM 計算等にもそのまま使用 可能である。ただし、現時点で与えられる XYZ 値には色空間としての歪が局在しており、色領域を実用レベルまで拡大するためにマンセル色票とその実測色彩値とを用いた、 2 次補正とシステム 改良を併行して行っている。

こうした色数値表現を基に構成された3種類の カラーチャートは、配色加工等の目的に使用され る。

また、ディスプレー上の色についても視感あるいは機器測色によって、物体色と対応した評価を与えるべくいくつかの検討を試みた。しかし、作業照明環境による見えの変化やディスプレー自体の継時変化あるいは位置的差異が大きく、今のところ画面観測条件を固定した場合の参考色にとどまるものと思われる。

### 3-3 色柄分解2)と版編集

捺染加工においては、その成否の過半な部分がスクリーンの出来如何に依存しており、かつその製作が律速段階となっている。版下を作成するためにまず必要なことは原図を何色に分解するかを決定することである。次に、決定された色数へ効率よく柄を分解することことになる。言い替えれば、これらの作業は原図が有しているイメージと色相互のバランスを保ったまま、できるだけ少ない色数で、最終的には布上で再構成することが目的となる。

まず最初に、スキャナー入力された原図(原図の状態や色材、素材によって異なるが1000色以上の色が含まれているのが普通)について色分解を、所定の色数に従って行う。この作業は、自動またはマニュアルにより入力原図構成色の中から特定の色またはその色領域で指定することで色選択を行う。

現在、この色数はプリント加工機の構成等を考慮して量高16色に設定されているが、版下編集作業の中でそれ以上の色数が必要になることも考えられる。原図入力に際して発生し色分解後にも残留するノイズ除去についても、自動ノイズ除去機能の付加によりかなり効率化された。

版編集上所定の色数以加の色分解をした場合には、配色加工のための色の統合(整理)を行う。こうして作成された分解版画像は、さらに画像単位の微小拡大・縮小などの必要な版下編集を施して版下用画像フィルムとして保存される。また、版分解された各画像毎の色存在領域の面積及び比率が計算され、調糊量データファイルとして各版の色彩数値と共に保存される。

### 3-4 配色加工(詳細は文献2)参照)

当機能は、それ自体サブシステムとして独立したものではないが、色分解された画像に対してカラーチャートおよび色変換機能を適用することで、プリント独自の配色替えにも対応できるものである。処理を終えた画像と各配色毎の構成色データは、ファイルとして格納され、配色見本代替プリント作成と CCM 調色計算に供される。

### 3-5 CCM・CCK との連結

本システムでは、基本表色系として XYZ 表色体を採用しており、配色加工済み画像ごとのデータファイルとしてタイトルやコメントと共に保存

される。この色彩数値データファイルは、CG本体(ワークステーション)とオンラインで結ばれたCCM・CCK用パソコンから参照可能なタイプのデータファイルに変換・転送され、計算に供される。CCMで作成された処方ファイルは、同じパソコン上のCCKコントロールシステムにより調糊データに変換され、調糊量データと共にCCK本体に送られるというプロセスを経ることで、CG-CCM-CCKが連結される。

色彩数値の原図やディスプレイ画像に対する再現性については、上記したようにいまのところ完全とは言えないが、システム改良により精度向上が図られるものと考えられる。さらに、配色という色彩構成のイメージとバランスを布上で再現するというプリント本来の目的について再考するならば、1連の色彩を新しく再現するといった目的の基にシステム運用を進めて行いくことも、1つの考え方になりうるのではなかろうか。

ここで示した CG-CCM-CCK の連結という 考え方は、それほど目新しいものではないが、従来の CCM で必要とされた測色の手順を除き、測色困難な対象をも扱えることが1つのポイントである。

### 3-6 版下フィルム作成と専用システム

版下編集によって、できあがった版下用画像をファイル化して、版下フィルム作成装置(レーザーイメージセッター)で出力するシステムである。また、専用システムとは、原図読み込みから版下フィルム作成作成にいたる作業を独立して遂行するシステムであり、第1図の点線で囲まれた部分に相当する。

上記したシステムにおいては難しかった、サイズが大きい原図(A3)に対応するフィルムを作成すること、限られたメモリー容量の効率的使用(スキャナー読み込みと色分解を同時に行う)、ノイズ除去・特定柄部分の拡大縮小等の修正の効率化などがこのシステムの目的である。さらに、版下画像表現の方法として網点・点描等が使用できるなどかなりの改良が加えられている。また、版下の特定色部分の面積からそれぞれの色領域に対応する調糊量が、より精度高く推定できる様になった。

このシステムは、それ自身1つの独立した機能 として、他の業種における版下作成にも応用が十 分可能であろうと推察される。

現在このシステムを用いた版分解-版下フィルム作成-実加工試験を継続しており、結果については別途報告の機会を持ちたい。

### 4 あとがき

以上述べたように、CG プリント加工支援システムが具備すべき機能とそれを使用する意識環況において、本来の目標と現実の到達点との間にはまだまだ落差があるように見受けられる。

CGシステムを、プリント加工の支援機器として利用することの効用は、色彩と柄とを必要に応じて同時、あるいは別々に取り扱い、また確認できるという点に集約される。これは、プリント加工の支配的な要素技術である色糊の調製とスクリーンの作成に対応するものであり、本システムが少しでも適切な機能を発揮するとすれば、それは、プリント加工のノウハウや特質のなかにも、近似的かつ実用的に定量化され得るものがあることの証明でもある。

このように考えれば、先のギャップは現在試みられている先進的な研究を通じて、徐々にではあるが確実に埋められつつあることも事実であり、そうした前向きの取り組みと応用への意欲が、結果的にシステムの改良と一般化を招来するものと考えられる。

個々のサブシステムについての詳細な報告にいては、現在使用試験を継続しており各々機会を改めて設けたいと考えている。

### 5 謝辞

本システムの検討をすすめる上で、次の方々に は終始指導と協力をいただいております。稿末で はありますが、深く感謝申し上げます。

シャープ㈱ 田崎厚治氏、K・ジョーンズ氏、他 日本化薬㈱ 松村征吾氏、鈴木範男氏 太陽工業㈱ 田村良夫氏、他 フジボウ和歌山㈱ 川村氏、北畑氏、他 宝塚造形芸術大学 寺主一成教

### 汝 献

- 1) 田崎ら;第6回NICOGRAPH論文コンテスト (平成2年9月6日、東京)
- 2) 大萩・田村;第7回色彩工学コンファレンス 論文集(平成2年10月30日、東京)
- 3) 大萩・田村;「繊維加工」増刊捺染手帳 28、Vol.42、58、('90)

### 再織製織自動化研究 (概要)

機械電子部 藪内 武 繊維木工部 角谷 秀昭、平田 重俊、神前 寿

### 1 目 的

再織は、明治10年高野口町の前田安助氏により創案された特殊な織物で、手織機による手工業的製織技術で開始され、現在もこの状況が維持されている。この方法はよこ糸の製織を行う「下織り」を行い、その製織した布をよこ糸に用いて「上織り」を行い目的の布を製織するものである。「下織り」は、原図用の紐状にした柄紙糸をゲージにして、製織した布をたて方向に数mm間隔に切断し、モール状のよこ糸を作る。そのよこ糸を用いて「上織り」を行うが、よこ糸による柄構成は、柄がズレをよこ方向に手でずらしながら柄を合わせて製織している。この作業を自動化する装置の開発を目的とした。

### 2 装置の概要

装置の概要は、「上織り」に使用するよこ糸に一定の間隔で異径糸を付与し、その異径糸を基準にして自動的に柄合わせを行うもので、モール状よこ糸の異径糸を検知するセンサーの開発、エアーによらない光センサーの風綿対策、極端なよこ糸径の変化に対応するレピア把持部の開発、よこ糸の伸縮に対応するレピア部分の機械装置を開発した。また、センサー・機械装置の総合的な制御にはコンピュータを用いた総合システムである。

### 3 製織条件法

地 タ テ 糸 : 綿糸30/2s糸 地 ヨ コ 糸 : 綿糸30/2s糸

モ - ル 糸 : 図案化された配色柄糸(図1) パイル長 5 mm 織 幅:1670 mm 地タテ糸総本数:2360 本 打ち込み本数:36 本/inch (内モール状よこ糸 12 本/inch)

使 用 織 機:津田駒工業製 ER レピアルーム

1800mm幅 4 結果

目的の自動化が達成され、生産能率を同一条件 で比較すると

従来方式は60 cm/h (常時2人が作業) 開発した装置240 cm/h (人手不用) となり、実用に十分対応できる装置を完成するこ とができた。

### 5 おわりに

本装置の試作加工にあたり高瀬製作所の高瀬英 雄氏の多大なご協力に深く感謝いたします。

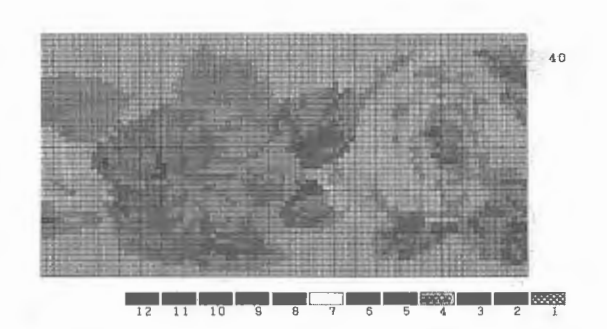


図1 多配色モール糸柄原図

### 端末機のデザイン検討

繊維木工部 由井 徹、山本 芳也

### 要 旨

システム技術開発事業において、ニットの工程管理システムの開発を実施している。普及を目的にした場合、各装置の機能、性能とともに、使い勝手や外観、設置の容易さ等も考慮されなければならない。このような観点から、編立・検反・計量の各端末装置のデザインについて検討してみた。

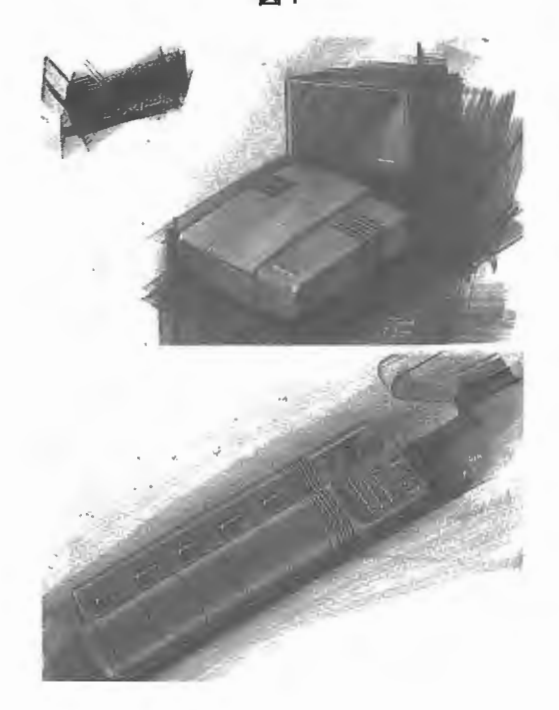
### 1 試作 1 号機 (動作確認用)

装置及びソフトウェアが設計通りに作動するかを確認し、また、さらに改良する点は無いか検討・する為の試作機であり、市販の汎用型ケースを使っている。そのため全体に大きく、操作盤面が直立しており操作がややしづらい。

### 2 イメージスケッチ

とりあえず製造上の制約をあまり考えずに、射 出成形で造る場合と板金加工で造る場合を考えて みた。ただし電子部品については市販の部品を用 いてできる範囲で考えた。

図 1

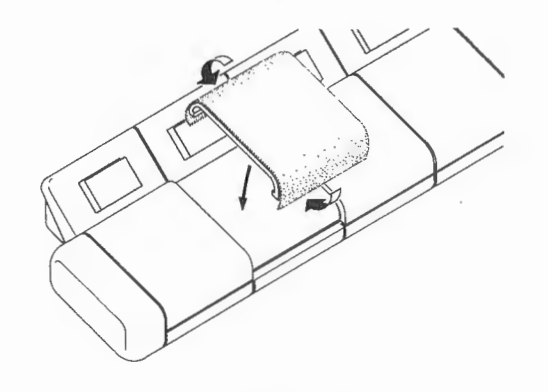


A案(図1)、B案(図2)とも端末本体部分とキーボード部分に分離した。こうすることにより最も頻繁に操作すると考えられる検反端末の傷原因ボタンを、本体から切り離して最適の位置に配置でき、また本体部分を、編立・検反・計量端末に共通で使えるため、金型を起こす際にコストダウンになる。

A案のキーボードは、ボタンの手前の部分に表面の手触りの違う布などを取り付けられるようにしてあり、使い慣れてきたときに目でみなくともボタンの位置がわかるようになっている。(図3)

図 2





### 3 試作2号機(運用試験機)

実際には見込まれる生産数量が、金型やプリント基板を新たに起こせるだけのまとまった数にならないので、上記AB案のようなものはつくれない。また、工場の現場で調査した結果、検反端末の傷原因ボタンの操作はそれほど頻繁ではなく、一反に付きせいぜい3~4回なので、わざわざキーボードを分離する必要も無いことがわかった。

これらの事に基づいて、工場で実際に動かして みる為の試作2号機を作るにあたり、現在既にあ る1号機をできるだけ有効に使いながら、上にあ げた問題点を改良するという方針を立て、山本さ んのアイデアをいただいて、各端末機とそれを置 く台を一体化したものをデザインした。(図4)

### 4 試作3号機(市販用プロトタイプ)

システム技術開発事業はここまででその目的を 終えたことになるが、このシステムを一般に販売 する場合を考慮し、商品としての完成度を上げた いという要望があったため、試作3号機を作るこ ととした。

### 【検反端末】

各工場とも検反作業は検反機の前に立って(或は座って)作業するため、基本的には2号機の考え方で良いが、2号機は1号機に合わせて専用台を作ったものであるため、専用台に組み込んだ状態でなければ一つの商品としての体裁が整わない。

3号機ではユーザーのニーズに合わせて、専用 台付き、または、ユーザー自作の台に取り付け可 能な端末装置単体での販売が出来る形態とした。 (図5)

### 【編立・計量端末】

各工場によって作業する位置が必ずしも同じであると言えないので、テーブルの上や床の上等、いろいろな高さに置かれて使用されることを想定し、専用台に取り付けるタイプではなく、通常のデスクトップ型とした。

できるだけ小型化すると同時に、別個のものとしてケーブルで接続していたバーコードリーダーのコントローラー部を、端末装置背面に取り付け、これへの電源を端末装置から供給して、一体の装置として使用できるように改良した。







これによってデスクトップ型とする場合の設置・ 配線・使用上の煩わしさをなくし、商品としての 体裁を整えることが出来る。(図 6)

### 5 おわりに

諸般の事情から必ずしも満足のいく物が出来た とはいえなかったが、これからもいろいろな物に ついてデザインの提案をして行きたい。

試作機の製作にあたり多大なご協力を頂いた、 ㈱山東鐡工所、石徹白博司技術部長に深謝いたし ます。

図 5

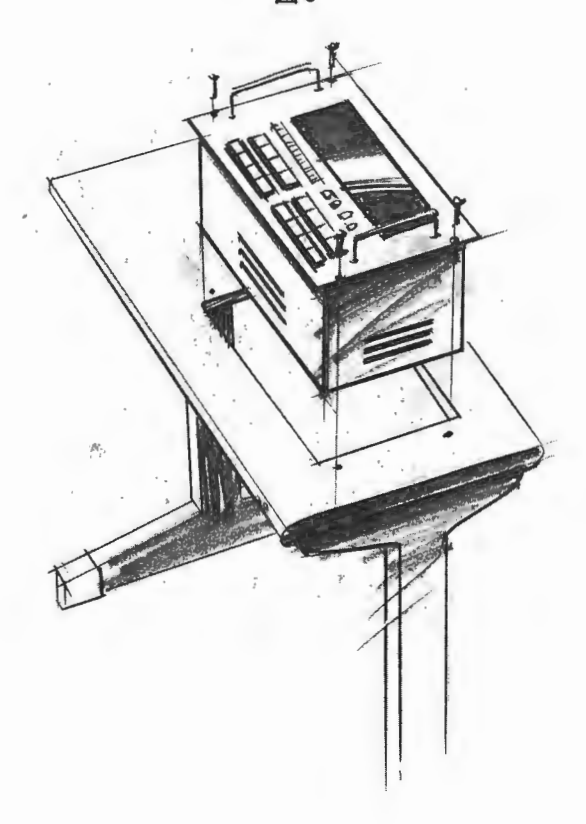
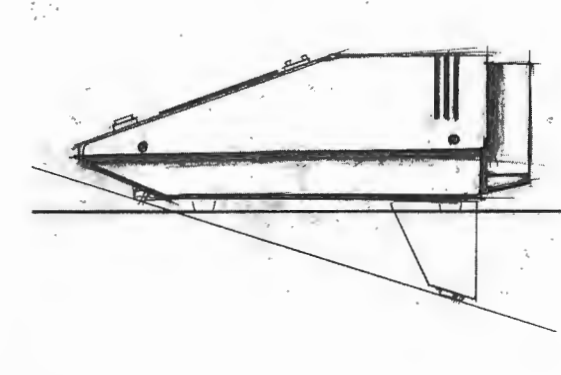




図 6



### 家具デザインの提案

繊維木工部 北口 功

### 1 はじめに

我が県は有数の家具産地であり、昭和61年に 桐箪笥が国の伝統的工芸品として指定を受けるに いたっている。これらの伝統的技術、技法に新し い感覚を一つとしての家具の提案を試みた。

### 2 背景

我々日本人は、古来より数々の外国文化の影響を受けながら新しい生活様式を育んできている。 しかし、これらは日本独特の感性を失うものでは なく、むしろこれらをうまく日本の住生活に取り 込んできてさえいる。

明治時代になって「洋風」と称する住宅様式が入ってきても、伝統的な住宅様式がいまだに「和風」、あるいは「和室」といった形で生き残っている。最近の住宅の様に鉄筋コンクリート造りと言った従来よりの日本の様式とは違った建築の中にさえも「和室」・「座敷」は存在する。また、近年、生活様式の多様化と生活水準の向上には眼を見張るものがある、そしてそれらは又いろな方面に影響を与えている。建築においても、従来より大きさや耐久性等といった基本的な性能を求めていたニーズが、室内の環境の向上等に向けるれてきており、インテリアにおいても家具や調度品にも多様でしかも高級化が求められてきている。

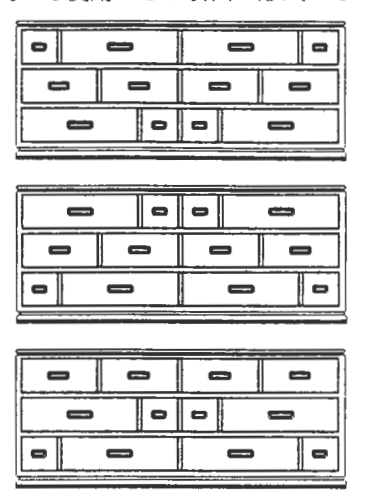
家具はインテリアエレメントの中でも最も身近 なものであり、室内空間と人を結びつけるもので ある。

### 3 材料

伝統的工芸品としての、桐箪笥の技術・技法と桐材の持つ、柔らかな質感・色調・木目の美しさなどと併せて狂いや割れが少なく、吸湿・吸水性が良い。また、熱伝導性が小さいため、桐の箪笥は火事に遭遇しても表面が炭化し焦げるだけで、内部までは熱気を通さず、燃えにくいなどの特性を持っているため、材料として桐を想定した。

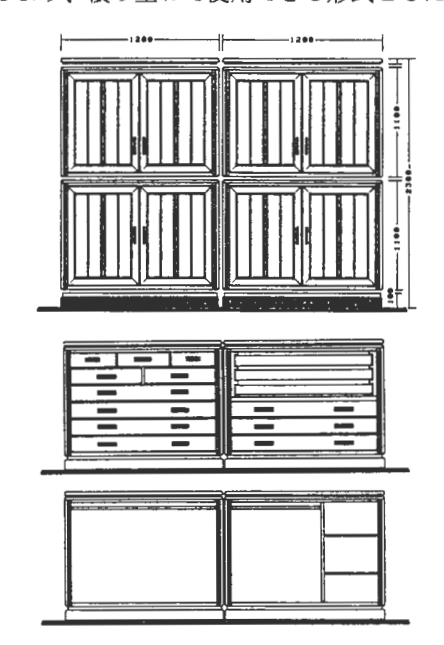
#### 4 Aタイプ

伝統的な技術と桐の特徴を活かし、若い人たち にも受け入れられやすい様にフロアータイプの低 いスタイルとして、また、「洋風」・「和風」 どち らの室内にも使用できる引出し形式とした。



5 Bタイプ

現在市場には、隙間家具・上置き箪笥と称し空きスペースを埋めるための家具はあるが、箪笥の多くは、室内に設置した場合上部にデッドスペースができる。そのスペースをすこしでも少なく出来るよう、積み重ねて使用できる形式とした。



※出力データは、㈱島精機製作所寄贈 SDS-380による。

### 木材加工技術に関する研究(概要)

### - 木材加工における接合法に関する研究-

### 繊維木工部 浦野 健三、平田 重俊

### 1 目 的

従来、建具に関する接合には接着剤による方法、 釘などの器具を利用する方法、及び組木、組接ぎ を利用する方法がある。図1に示す太柄(だぼ)を使用する接合は重要な手段である。しかしなが ら、従来の太柄の底面形状は、円形であったので 次のような欠陥があった。すなわち材料力学上円 柱形側面応力が非常に小さいのでそれを補うため に側面に縦すじを入れたり、スパイラル圧縮溝を 施したりしている。また強度をカバーするために 太柄の材質を基材より強いものを使用するのが常 であるので、応力の負荷により、基材を痛めることがあった。また、円形の中心を決めること が困難であるので正確な位置ぎめが難しい。 に円形は回転により動くので樹脂等を施さないと ずれることがあった。

そこで、建具枠の接合において、複数の木材に 角柱形または底面が楕円の楕円柱形の穴部を設け、 角柱形または楕円柱形の太枘を挿入することによ り接合する加工方法および生産現場への展開を提 案した。

### 2 概要

従来の太柄を使用した接合方法の場合、図1に示すように単に打ち込まれた太柄で接合するか、 基材の穴部に樹脂を注入することによりより強固 にしていた。しかしながら、太柄と穴の側面が密 着していれば樹脂の回りが悪く効果が薄いもので あった。以上の問題を解決するために、本研究を 行った。

本研究は特殊な角太枘(図2)、楕円太枘(図3)を使用した木材の接合法に関するものであり、使用時には、強度が大きくなり、基材と同質の太 枘を使用することにより応力の負荷に基材を痛めることなく耐えられることが出来ること、接合部 が強固になり接着剤なしで充分の安方した接合が 得られる。製作時の位置ぎめが容易になり、精巧

な接合が可能になる。また、作業の容易さにより、 製作に要する時間が大幅に短縮できることも際だっ た効果の一つであると考えられる。

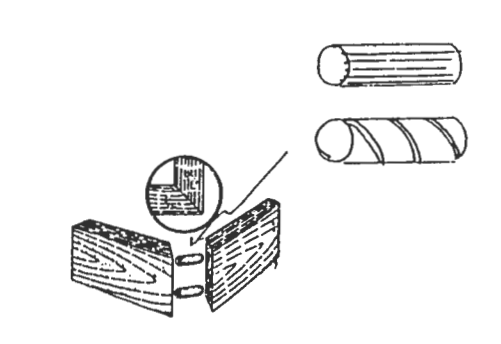
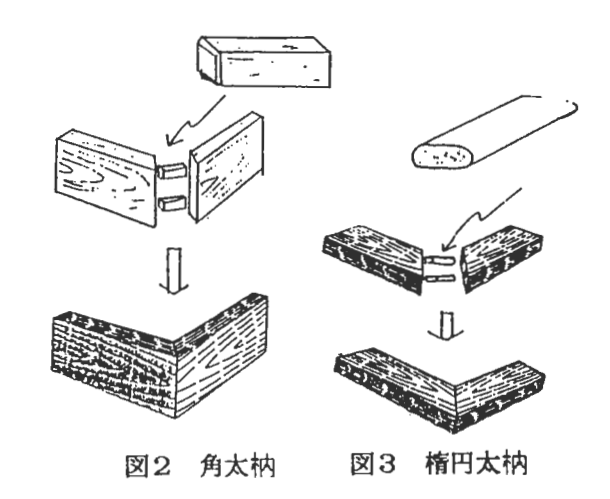


図1 従来の太枘



### 3 結 果

この方法を使用して、建具、家具、椅子、ベッド等を製作すれば、耐久性のある狂いの少ない品物を得ることができ、家具、インテリア、建具、襖等の高品質化に貢献でき、産業上価値の高いものであると思われる。

### 皮革の染色技術改善に関する研究Ⅱ

### -酸性染料及び含金属染料による床革の染色堅ろう性改善試験-

皮革分場 谷 正博、元吉 治雄

### 要 旨

革の染色堅ろう性改善に関する研究は膨大な量になるが、ほとんどが現在皮革工場で使用されている染色装置や作業条件を考慮して行われたものであり、因子の設定が限られている。また、銀付革を対象としたものが多く、肌荒れや銀浮きなどの品質上の問題から、過酷な条件での試験は少ない。しかし、床革ではこの制約は比較的穏やかであると考えられる。

そこで本試験では、現在の皮革工場の染色環境では実行不可能と 思われる因子も取り上げ、有効性の認められた因子は後から実用化 方法を検討することとして、酸性染料及び含金属染料による床革の 染色堅ろう性改善試験を行った。

### 1 試験方法

### 1-1 試料床革の調整

クロム鞣し後に分割した成牛の床革を、5%のクロム鞣剤で再鞣をし、3日間熟成後、2mmにシェービングして、アセトン脱水、バフィングを行ったものを試料革とした。この試料革のバット部より $4.5\times7$ cmの革片を採取し、ランダムに5枚を1組として1実験に用いた。この試料革の化学組成は、無水物換算で皮質分87%、酸化クロム含有量7.1%、脂肪分0.3%、pH3.7、DSCによる熱変性ピーク温度は117%であった。

### 1-2 染色試験方法

染色試験は、中和 pH (5.5, 9, 10)、染色浴の種類 (水, メタノール)、染色浴温度 (50,

90 ℃)、定着 pH (3.5, 2.6)、乾燥温度 (40, 90 ℃)、キュアリング (無, 150 ℃) を要因として、表 1 に示したT1~T 10 の条件で行った。

中和 pH 5.5、水浴、染色温度 50 °C、定着 pH 3.5、乾燥温度 40 °C、キュアリング無しの一般的な条件を組み合わせた T 1 をコントロールとした。 T 2 ~T 10 は T 1 の条件のうち表 1 中の〇印部分を変更した。

染色試験は表2の方法で行った。なお、供試染料は酸性染料は、CI.Acid Red18、Brown 4、Black 1、そして含金属染料は、CI.Acid Red216、Brown 298、Black 132とした。添加量は両染料ともRedとBrown は2.5%、Blackは5%とした。

表 1 試験条件

| 実 験  | 中   | 和 pl    | Н       | 芽 | <b>色浴</b> | 染色温 | 度 ℃     | 定着  | рН      | 乾燥温 | 遺度℃     | キュア | <br>]ング |
|------|-----|---------|---------|---|-----------|-----|---------|-----|---------|-----|---------|-----|---------|
| No.  | 5.5 | 9       | 10      | 水 | メタノール     | 50  | 90      | 3.5 | 2.6     | 40  | 90      | 無処理 | 150℃    |
| T 1  | 0   |         |         | 0 |           | 0   |         | 0   |         | 0   |         | 0   |         |
| T 2  | _   |         |         | _ |           | _   |         | _   |         |     | 0       | _   |         |
| Т3   | _   |         |         |   |           | _   |         |     |         | _   |         |     | 0       |
| T 4  | _   |         |         | _ |           |     | $\circ$ | _   |         | _   |         | _   |         |
| T 5  | _   |         |         | _ |           |     | $\circ$ |     | $\circ$ | -   |         | -   |         |
| T 6  | _   |         |         | _ |           | -   |         |     | $\circ$ | _   |         | _   |         |
| T 7  |     | $\circ$ |         |   |           | -   |         | _   |         | _   |         | _   |         |
| T 8  |     |         | $\circ$ | _ |           | _   |         | _   |         |     |         | -   |         |
| T 9  |     | $\circ$ |         | _ |           |     | 0       | _   |         |     | $\circ$ | _   |         |
| T 10 | -   |         |         |   | 0         | _   |         | _   |         | _   |         | -   |         |

表 2 試験方法

|                   |  |   |   | 60 分間  |
|-------------------|--|---|---|--|
| 500 % 水 (30℃)     |  |   |   |  |
| 最終浴 pH            | 5.5  | 9   | 10  |  |
| ギ酸ナトリウム%          | 2.5  | 2.5   | 2.5   |  |
| 重炭酸ナトリウム %        | 2.0  | _   | -   |  |
| 炭酸ナトリウム%          | _  | 8.0   | 25.0  | 90 分間  |
| 500 % 水 (30℃)     |  |   |   | 10 分間  |
| 500 % 水、メタノール     | (30°C)   |   |   | 10 分間  |
| 500 % 水 (50℃、90℃) | :  |   |   |  |
| メタノール(30℃)        |  |   |   |  |
| X % 染料            | ,  |   |   | 60分間   |
| Y*1% ギ酸           |  |   |   | 10 分間隔   |
|                   |  |   |   | 2回分注   |
| 1000 % 水、メタノール)   |  |   |   | 15 分間×2回   |
|                   | /グ 無処  | 理、150℃  |   |  |
|                   | ギ酸ナトリウム %<br>重炭酸ナトリウム %<br>炭酸ナトリウム %<br>500 % 水 (30℃)<br>500 % 水 (50℃、90℃)<br>メタノール (30℃)<br>X % 染料<br>Y*1% ギ酸 | ギ酸ナトリウム% 2.5<br>重炭酸ナトリウム% 2.0<br>炭酸ナトリウム% -<br>500 % 水 (30°C)<br>500 % 水、メタノール (30°C)<br>500 % 水 (50°C、90°C)<br>メタノール (30°C)<br>X % 染料<br>Y*1% ギ酸 | ギ酸ナトリウム% 2.5 2.5<br>重炭酸ナトリウム% 2.0 -<br>炭酸ナトリウム% - 8.0<br>500 % 水 (30℃)<br>500 % 水 (50℃、90℃)<br>メタノール (30℃)<br>X % 染料<br>Y*1% ギ酸 | ギ酸ナトリウム% 2.5 2.5 2.5<br>重炭酸ナトリウム% 2.0<br>炭酸ナトリウム% - 8.0 25.0<br>500 % 水 (30℃)<br>500 % 水 (50℃、90℃)<br>メタノール (30℃)<br>X % 染料<br>Y*1% ギ酸 |

\*1 浴 pH を 3.4~3.6 または 2.5~2.7 に調整する量

### 1-3 染色試験の評価方法

染色革の色調は、ミノルタ製分光測色計 CM 1000 を用いて測色し、JIS Z 8729 により CIE L\* a\*b\*表色値を求めた。洗たく試験は JIS K 6552 に準じて、ウェットクリーニング法とドライクリーニング甲法を行った。摩擦試験は JIS K 6547によりクロックメーターを用いて乾燥と湿潤試験を行った。耐光試験は JIS L 0842 カーボンアーク灯光により 20 時間照射を行った。変退色の判定は、試験前後の革の色差( $\triangle$ E\* ab)を JIS L 0804 の表1により等級付し、添付白布の汚染の判定は汚染が不均一な場合もあるため、機器測定によらず汚染用グレースケールで判定した。

T1を基準としてT2~T10の評価結果を比較し、染色堅ろう性改善の効果を検討した。

### 2 結果

#### 2-1 染色革の色調

酸性染料、含金属染料による、染色革の色調を 表3にまとめて示した。

酸性染料については、各染料ともT1のコントロールと比較するとT10以外は大部分が明度、彩度に低下傾向すなわち濃色化が認められ、特にT5,9はその程度が顕著である。なお、Red18の色相は全般に黄味に振っている。T10はRed18の彩度以外は、明度、彩度とも大きく上昇して淡色化した。

含金属染料も、酸性染料と同一の傾向を示し、 T5,9は濃色化が大で、T10は淡色化した。

これらの結果から、染色温度が高いと革は濃色 化し、メタノール浴染色は、芯通りが良く淡色化 することが認められた。

### 2-2 洗たく試験

酸性染料の洗たく試験結果を図1に、含金属染料の洗たく試験結果を図2に示した。

酸性染料のウェットクリーニングについては、Brown、BlackのT5 で変退色がT1よりも1級向上し、RedのT10 で汚染が1級低下した以外は、変退色、汚染の等級はT1と同程度であった。ドライクリーニングについては、Brown、BlackのT5 で変退色、汚染の等級が向上する傾向を示した。T10 の変退色は各染料において低下する傾向を示した。その他染料により傾向の異なっているものが見受けられる。

含金属染料のウェットクリーニングについては、BlackのT10で汚染の等級が向上し、T5で汚染、T10で変退色の等級が低下した以外は、変退色、汚染の等級はT1と同程度であった。ドライクリーニングについては、変退色、汚染の等級はRedのT10の変退色以外は、T1と同程度か向上する傾向を示した。

### 2-3 摩擦試験

酸性染料の摩擦試験結果を図3に、含金属染料

表 3 染色革の色調

| 実 験 |      | Acid Red 1 | 8    | Ad   | eid Brown | 4   | _A   | Acid Black 1 |       |  |  |
|-----|------|------------|------|------|-----------|-----|------|--------------|-------|--|--|
| No. | L*   | a*         | b*   | L*   | a*        | b*  | L.   | a*           | b*    |  |  |
| T 1 | 37.6 | 42.0       | 13.3 | 17.3 | 7.7       | 3.5 | 16.8 | -2.7         | -10.7 |  |  |
| T 2 | 32.7 | 40.4       | 13.9 | 16.8 | 7.4       | 3.2 | 14.5 | -2.0         | -8.6  |  |  |
| T 3 | 31.7 | 40.4       | 14.5 | 18.1 | 8.1       | 3.1 | 16.3 | -2.5         | -9.5  |  |  |
| T 4 | 31.9 | 42.0       | 17.0 | 12.7 | 6.0       | 3.5 | 14.2 | -2.6         | -9.3  |  |  |
| T 5 | 25.9 | 36.9       | 16.8 | 10.9 | 1.8       | 1.8 | 9.6  | 0.2          | -3.9  |  |  |
| T 6 | 31.9 | 40.1       | 14.7 | 16.5 | 7.5       | 3.6 | 15.4 | -1.9         | -8.6  |  |  |
| T 7 | 31.3 | 39.2       | 14.4 | 16.9 | 7.6       | 6.1 | 12.9 | -1.7         | -6.8  |  |  |
| T 8 | 26.9 | 36.0       | 13.9 | 14.8 | 6.6       | 4.7 | 14.1 | -1.8         | -7.4  |  |  |
| Т9  | 25.7 | 39.0       | 18.7 | 10.6 | 3.0       | 2.2 | 10.0 | -0.8         | -5.0  |  |  |
| T10 | 41.0 | 42.5       | 12.0 | 29.6 | 11.9      | 6.6 | 24.5 | -6.0         | -13.8 |  |  |

| 実 験 | A    | cid Red 21 | 16   | Aci  | d Brown | 298 | A    | Acid Black 132 |      |  |  |
|-----|------|------------|------|------|---------|-----|------|----------------|------|--|--|
| No. | L*   | a*         | b*   | L*   | a*      | b*  | L*   | a*             | b*   |  |  |
| T 1 | 28.3 | 34.5       | 21.5 | 16.5 | 4.4     | 6.0 | 13.7 | 0.2            | -2.1 |  |  |
| T 2 | 27.8 | 33.4       | 20.6 | 15.9 | 4.0     | 5.9 | 14.2 | 0.1            | -1.0 |  |  |
| T 3 | 26.3 | 33.2       | 20.2 | 18.4 | 4.2     | 6.1 | 13.5 | 0.2            | -0.3 |  |  |
| T 4 | 20.9 | 31.1       | 18.3 | 12.5 | 4.7     | 4.8 | 10.9 | 1.4            | -0.3 |  |  |
| T 5 | 20.8 | 31.0       | 18.1 | 11.6 | 3.9     | 3.8 | 9.2  | 2.3            | -1.0 |  |  |
| T 6 | 27.6 | 33.8       | 21.7 | 17.2 | 4.4     | 6.2 | 13.6 | 0.7            | -0.5 |  |  |
| T 7 | 27.7 | 33.7       | 18.8 | 15.8 | 4.2     | 5.2 | 11.1 | 1.1            | -1.3 |  |  |
| T 8 | 25.4 | 34.6       | 21.0 | 12.6 | 3.3     | 4.2 | 9.3  | 1.6            | -1.1 |  |  |
| Т9  | 19.7 | 29.4       | 16.1 | 12.1 | 2.5     | 2.6 | 9.4  | 1.3            | -2.5 |  |  |
| T10 | 35.9 | 33.3       | 13.6 | 29.2 | 7.8     | 6.2 | 21.6 | -2.1           | -5.2 |  |  |

### の摩擦試験結果を図4に示した。

酸性染料の乾燥試験については、各染料とも変退色の等級はT1と同程度か低下する傾向を示した。汚染はBrownのT8以外はT1と同程度か等級が向上する傾向を示した。湿潤試験では、T9,10の変退色の等級低下が顕著であった。他は一部を除き変退色、汚染の等級はT1と同程度か向上する傾向を示した。

含金属染料の乾燥試験については、各染料とも変退色の等級はT1と同程度か低下する傾向を示した。汚染はT9,10で等級が向上する傾向を示した以外は、T1と同程度であった。湿潤試験については、各染料とも、T9,10の汚染の等級が向上し、T10の変退色の等級が低下する傾向を示した以外は、一部を除き変退色、汚染の等級はT1と同程度であった。

### 2-4 耐光試験

酸性染料、含金属染料の耐光試験結果をまとめ て図5に示した。

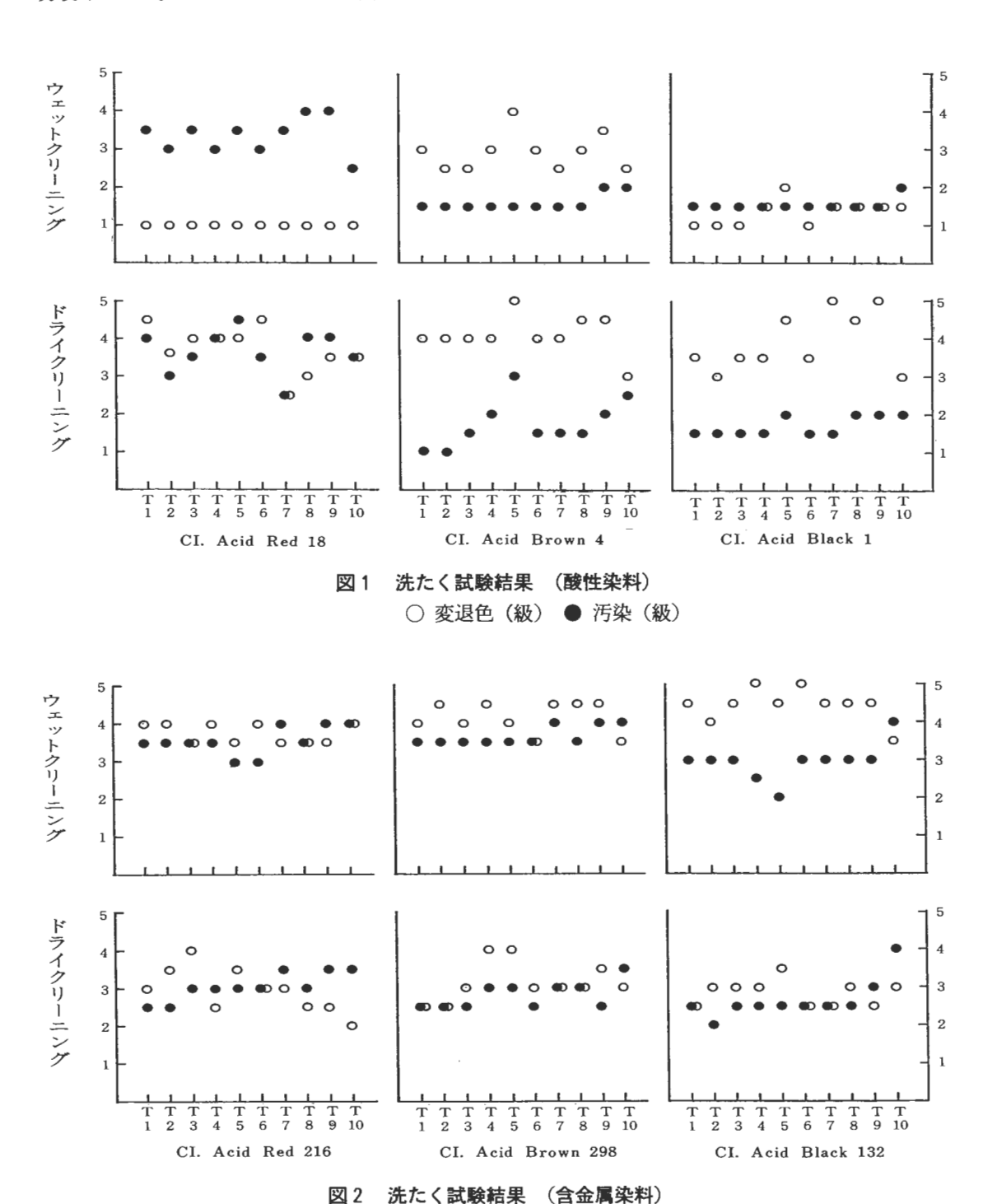
酸性染料は、各染料ともT1と同程度か等級が向上する傾向を示し、特にT5,9で耐光性が大きく向上した。含金属染料については、一般的な染色条件でも高い耐光性が得られており、試験条件による大きな変化は認められなかった。これは染料の構造に起因するものと考えられる。

### 2-5 堅ろう度試験の総合判定

染色革の堅ろう度試験の結果について、T1と 比較して、0.5級の変化を1点、1級以上の変化 を2点として、5段階評価した結果を表4にまと めた。

その結果、中和 pH を高くした T 7, 8, 9、 染色温度を高くした T 4, 5, 9、定着 pH を低くした T 5, 6、そして乾燥温度を高くした T 2 において、程度の差はあるが、染色堅ろう性改善 の傾向が認められた。T5,9では多くの染色堅 ろう性改善がみられたが、他に比べて風合いが幾 分硬くなった。T10のメタノール浴染色では、

汚染に改善の傾向が、変退色は等級が低下する傾 向が認められた。



○ 変退色(級) ● 汚染(級)

図 2

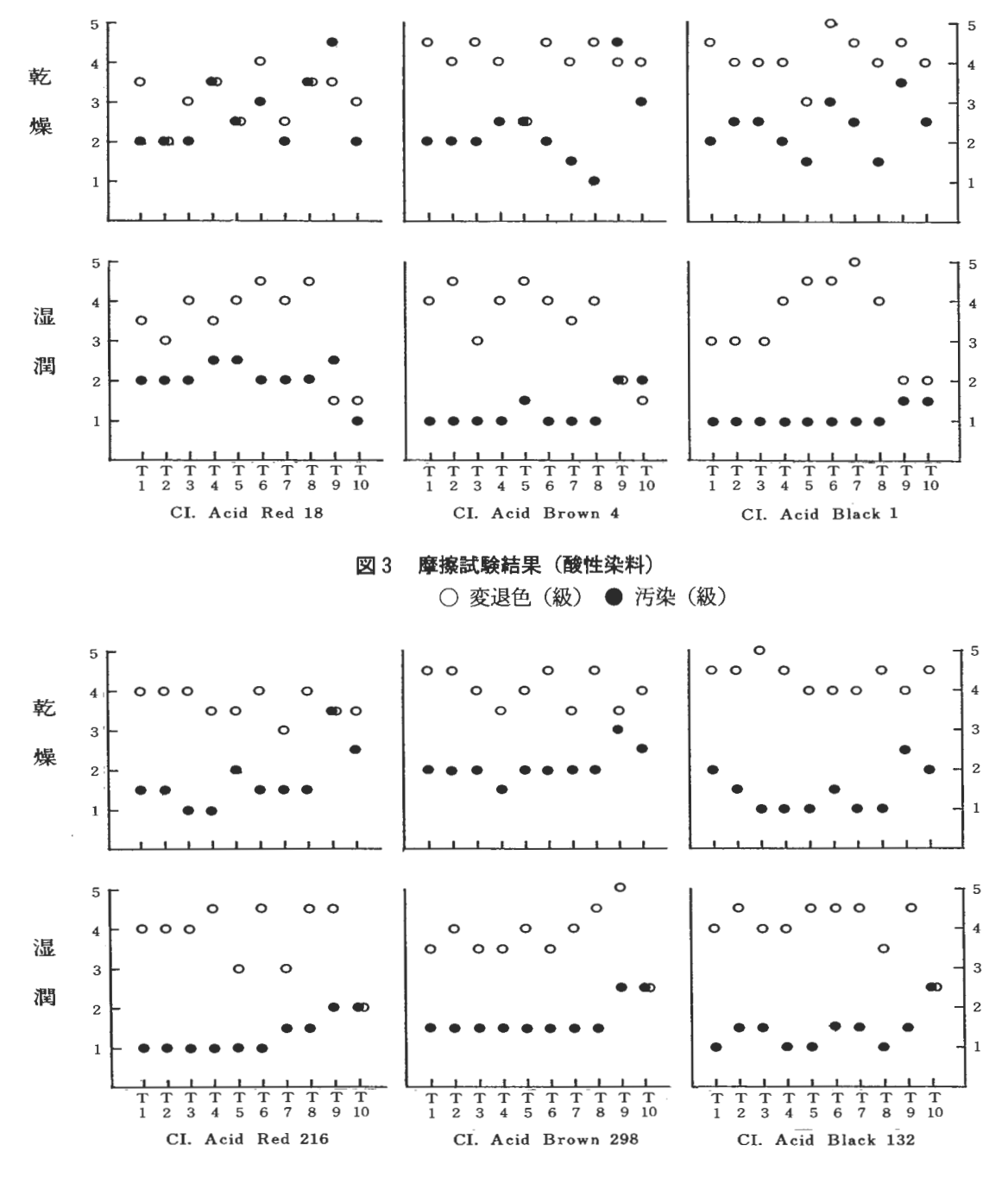


図4 摩擦試験結果(含金属染料) ○ 変退色(級) ● 汚染(級)

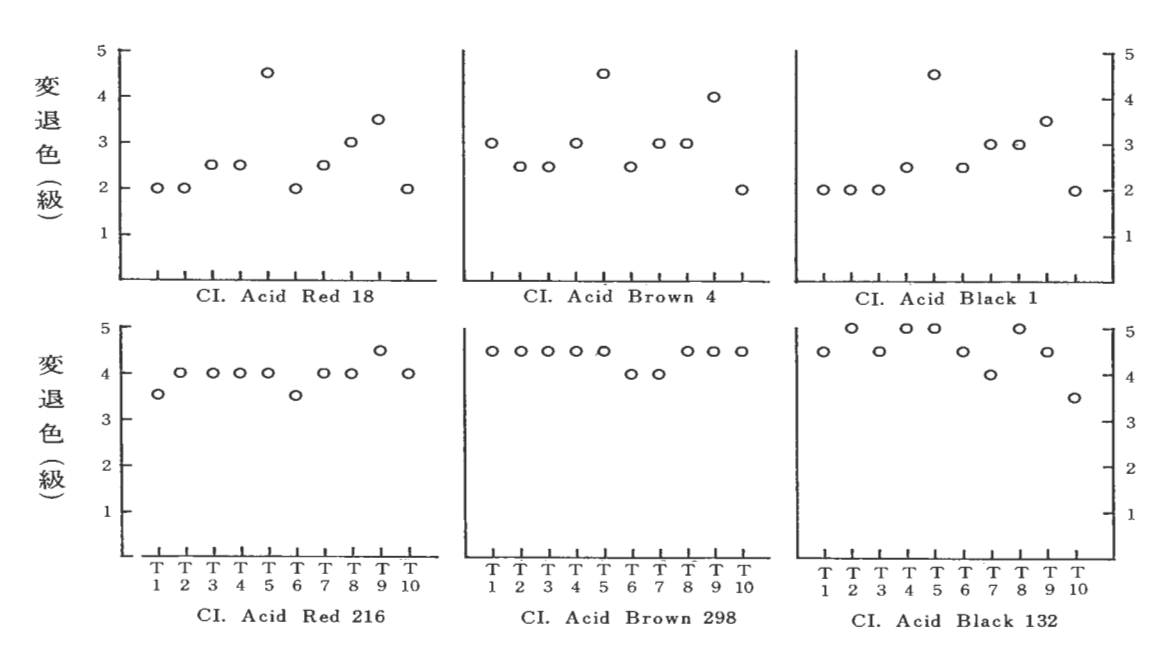


図 5 耐光試験結果

表 4 堅ろう度試験の総合判定

| 実験  |             | 酸        | 性一       | 変退色         | 2       | 7        | <b></b><br>後性 - | - 汚染     | !           |             | 含金       | 金属-      | ·変退ſ     | 查       | 含           | 金属         | 一汚          | ——<br>杂  |
|-----|-------------|----------|----------|-------------|---------|----------|-----------------|----------|-------------|-------------|----------|----------|----------|---------|-------------|------------|-------------|----------|
| Na. | 摩<br>(乾)    | 擦<br>(湿) | 洗<br>(W) | 灌<br>(D)    | _<br>耐光 | 摩<br>(乾) | 擦<br>(湿)        | 洗<br>(W) | 灌<br>(D)    | 摩<br>(乾)    | 擦<br>(湿) | 洗<br>(W) | 灌<br>(D) | —<br>耐光 | 摩 (乾)       | 擦<br>(湿)   | 洗<br>(W)    | 濯<br>(D) |
| T 1 | ٦:          | ノトロ      | ュール      | ,           |         |          |                 |          |             |             |          |          |          |         |             |            |             |          |
| T 2 | $\times$    | _        | _        | $\triangle$ | _       | _        | _               | _        | $\triangle$ | _           | $\circ$  | _        | $\circ$  | $\circ$ | _           | _          | -           | -        |
| Т3  | $\triangle$ | _        | -        |             | _       | _        | _               | _        | _           | _           |          | _        | 0        | _       | $\times$    |            | _           | _        |
| T 4 | $\triangle$ | $\circ$  | _        |             | $\circ$ | $\circ$  | _               |          | $\circ$     | $\triangle$ | _        | 0        | $\circ$  | $\circ$ | $\times$    | _          | -           | $\circ$  |
| T 5 | $\times$    | 0        | $\circ$  | $\circ$     | 0       | _        | $\circ$         | _        | $\bigcirc$  | $\triangle$ | _        | _        | 0        | $\circ$ | _           | _          | $\triangle$ | $\circ$  |
| T 6 | $\circ$     | 0        | _        | _           | _       | 0        |                 | _        | _           | _           | $\circ$  | _        | _        | _       | _           | _          | _           | _        |
| T 7 | $\triangle$ | $\circ$  | _        | _           | $\circ$ | _        |                 |          | _           | X           | -        | _        | _        | _       | $\triangle$ | $\circ$    | $\circ$     | $\circ$  |
| T 8 | _           | 0        | _        | _           | 0       | _        | _               | _        | $\circ$     | _           | $\circ$  | _        | _        | $\circ$ | $\triangle$ | _          | _           | $\circ$  |
| T 9 | _           | ×        | 0        | $\circ$     | 0       | 0        | 0               | $\circ$  | $\circ$     | ×           | 0        | _        | _        | $\circ$ | 0           | $\bigcirc$ | $\circ$     | $\circ$  |
| T10 | Δ           | ×        | _        | ×           | Δ       | 0        | _               | _        | 0           | Δ           | ×        | Δ        | _        |         | 0           | 0          | 0           | 0        |

◎:向上○:やや向上-:同程度△:やや低下×:低下

### 3 まとめ

床革の染色堅ろう性改善を目的として、現在の 皮革工場の染色環境では実行不可能と思われる因 子も取り上げて試験を行った。今回の酸性染料、 含金属染料による試験において得られた知見では、 染色浴温度90℃で染色し、pH 2.6 に定着する方 法及び、pH 9 に中和して、90℃で染色した後、 90℃で乾燥する方法において染色堅ろう性が改善 された。しかし、風合いに幾分問題が認められた。 また、今回取り上げた染色条件のうち、中和 pH を高く、染色温度を高く、定着 pH を低く、或い は乾燥温度を高くするという単独の条件変更でも 僅かではあるが、染色堅ろう性の改善がみられた。 したがって、これらの条件の組合せを検討するこ とにより、革の風合いを悪化させずに、染色堅ろ う性を改善することが可能と思われる。

### ウェットホワイトの副産物利用に関する研究ーⅡ

### -酸性域での脱アルミニウム条件の検討-

皮革分場 元吉 治雄、谷 正博

### 要 旨

ウェットホワイトから得られるシェービング屑をゼラチン原料として有効利用するため、先ずシェービング屑の脱アルミニウム条件の検討を行った。今回は酸浸漬における、酸浸漬液のpH、pH調整剤、塩化ナトリウム添加量を要因とした。熱水によるゼラチンの抽出は脱アルミニウム後のシェービング屑をpH 7 に調整してから行った。その結果、塩化ナトリウムを添加したpH 2 の液に浸漬する条件がアルミニウム除去率が大で、蛋白質回収率も高いことが認められた。pH 4 付近ではアルミニウム除去率が低かった。酸浸漬条件によるゼラチンの収率、分子量分布などの差異は少なかった。

### 1 はじめに

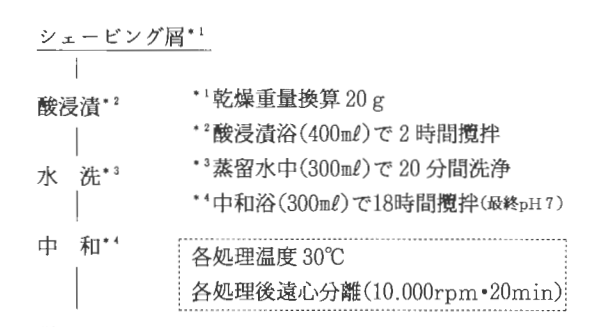
アルミニウム塩で鞣したウェットホワイトから得られるシェービング屑は、クロム鞣しされたものよりも処理が容易であり、ゼラチン原料としてより有効利用できると考えられる。先に、シェービング屑の脱アルミニウム方法について予備的な検討を行いり、酸処理温度を高くすると蛋白質の回収率が低下すること、アルカリ処理と酸処理の脱アルミニウム効果は分離して検討する必要があること、脱アルミニウム処理後のシェービング屑のpHが抽出したゼラチンの性状に影響することを報告した。

そこで今回は、アルカリ処理は行わず、酸性域だけで各種脱アルミニウム処理を施し、各処理後のシェービング層を中和してからゼラチンを抽出した。

### 2 実験方法

#### 2-1 脱アルミニウム処理条件

ウェットホワイトのシェービング層(WWSと記す)は前報 $^{11}$ に記載した方法により調製した。得られた試料は  $Al_2O_3$ 含有量 2.6%、皮質分87%、Td67°Cであった。脱アルミニウムの処理条件と実験操作は図1に示す方法によって行った。酸浸漬条件は、浸漬液の pH、pH 調整剤および塩化ナトリウム添加量を要因とした $T1\sim T10$ と30°Cの水に浸漬するだけで pH 調整を行わないTWとした。



脱アルミニウム シェービング屑

| 処理  | 酸浸漬<br>pH | pH<br>調整剤 | 塩の<br>添加量 |
|-----|-----------|-----------|-----------|
| T 1 | 2         | 硫酸        | 0 %       |
| T 2 | 2         | 硫酸        | 8 %       |
| Т3  | 3         | 硫酸        | 0 %       |
| T 4 | 3         | 硫酸        | 8 %       |
| T 5 | 2         | ギ酸        | 0 %       |
| T 6 | 2         | ギ酸        | 8 %       |
| T 7 | 3         | ギ酸        | 0 %       |
| Т8  | 3         | ギ酸        | 8 %       |
| Т9  | 4         | _ * 5     | 0 %       |
| T10 | 4         | _ * 5     | 8 %       |
| TW  | 水に浸漬(pl   | H調整せず)*゚  | 0 %       |

<sup>\*5</sup>少量の水酸化ナトリウムを添加

図1 WWSの脱アルミニウム処理条件と実験操作

<sup>\*62</sup>時間後のpH3.8

### 2-2 ゼラチンの抽出条件

脱アルミニウム処理したWWSは、実際のゼラチンの製造工程を想定し、60、75 および 90  $^{\circ}$ の 熱水を用いて各 2 時間ずつ分別抽出を行った。各温度での抽出液は、遠心分離(10,000 rpm-20 min) - - 30 -

### 2-3 アルミニウムと全窒素の定量

脱アルミニウム処理液(酸浸漬~中和)とゼラチン抽出液について、原子吸光法でアルミニウムそしてケルダール法で全窒素を定量し、WWSのアルミニウム除去率と蛋白質回収率およびゼラチンの収率とアルミニウム含有量の目安とした。

### 2-4 抽出ゼラチンの分子量分布の測定

抽出ゼラチンの分子量分布は高速ゲルクロマトグラフィーを用いて調べた。試料および標準物質は45℃で30分間展開溶媒と同じ組成の液に溶解して用いた。カラムはAsahipack GS 520、GS 620、GS 710 のいずれも内経 7.6mm、長さ 250 mmのものを直列に連結して用い、0.1M Tris-HCI / 0.2M NaCl / 1 M Urea、pH 7、温度 30℃、流量 0.7ml / minで展開し、溶出液を 230 nmでモニターした。

### 2-5 抽出ゼラチンの粘度とゲル強度の測定

抽出ゼラチンを 45℃で 30 分間加温して 5 %溶液とし、同温度で回転振動型粘度計を用いて粘度 そして 10℃で 18 時間エージングしてからフォースゲージを用いてゲル強度をそれぞれ測定した。

### 3 結果及び考察

### 3-1 脱アルミニウム効果の比較

各処理条件での脱アルミニウム効果を比較するために、WWSのアルミニウム除去率、蛋白質回収率およびTd低下を測定した結果を表1にまとめて示した。

塩化ナトリウムを添加し、pH2に保った液に WWSを浸漬することにより(T2, T6)、アルミニウムの 99%が除去できた。この場合、蛋白質は 90%以上回収されており、脱アルミニウム効果が大きい。pHe3にすると(T4, T8)、アルミニウム除去率が多少低下することが認められる。pH2 と3のいずれの場合も、塩無添加では(T1, T3, T5, T7)アルミニウム除去率が低下するが、ギ酸の方が硫酸よりも低下が大である。塩の添加の有無による蛋白質回収率の差

異は明確でない。T9, T10 およびTWにおけるアルミニウム除去率は40%前後であり、T1 ~T8 に比べて著しく低い値を示した。これは、pH4 近傍ではコラーゲンとアルミニウムの結合がまだ強いため、鞣し効果のあるものは溶出せず、吸着あるいは弱く結合したものだけが除去されるためと考えられる。このことはTd 低下がpH2 と3の処理よりも小さいことからも推定できる。

表1 脱アルミニウム効果の比較

| 処 理 | アルミニウム<br>除去率(%) | 蛋白質<br>回収率(%) | Td低下<br>(℃) |
|-----|------------------|---------------|-------------|
| T 1 | 92               | 96            | 5           |
| T 2 | 99               | 93            | 11          |
| Т3  | 88               | 97            | 4           |
| T 4 | 95               | 96            | 7           |
| Т5  | 89               | 93            | 11          |
| Т6  | 99               | 93            | 7           |
| T 7 | 84               | 97            | 5           |
| T 8 | 96               | 98            | 5           |
| Т9  | 43               | 99            | 2           |
| T10 | 39               | 99            | 2           |
| TW  | 45               | 99            | 2           |

### 3-2 抽出ゼラチンの性質

### 3-2-1 アルミニウム含有量

抽出ゼラチンのアルミニウム含有量を表2に示した。 アルミニウム除去率の高いWWS(T2,T6)からは、各抽出区分とも Al2Osが0.2mg/g以下と低い値のゼラチンが得られる。塩無添加で処理したWWS(T1など)では低温区分のゼラチンほどアルミニウム含有量が大となった。酸膨潤のためにコラーゲンに取り込まれていたものが、中和と熱変性により順次WWSから溶脱するためである。しかし、各処理条件における未除去のアルミニウムの大部分は残渣に含まれることが認められる。これは、クロム鞣シェーゼング屑からのゼラチン製造において、未除去のクロムが残渣に残留するのと同じく2)コラーゲンとの架橋結合が強いためと考えられる。

表 2 ゼラチンのアルミニウム含有量

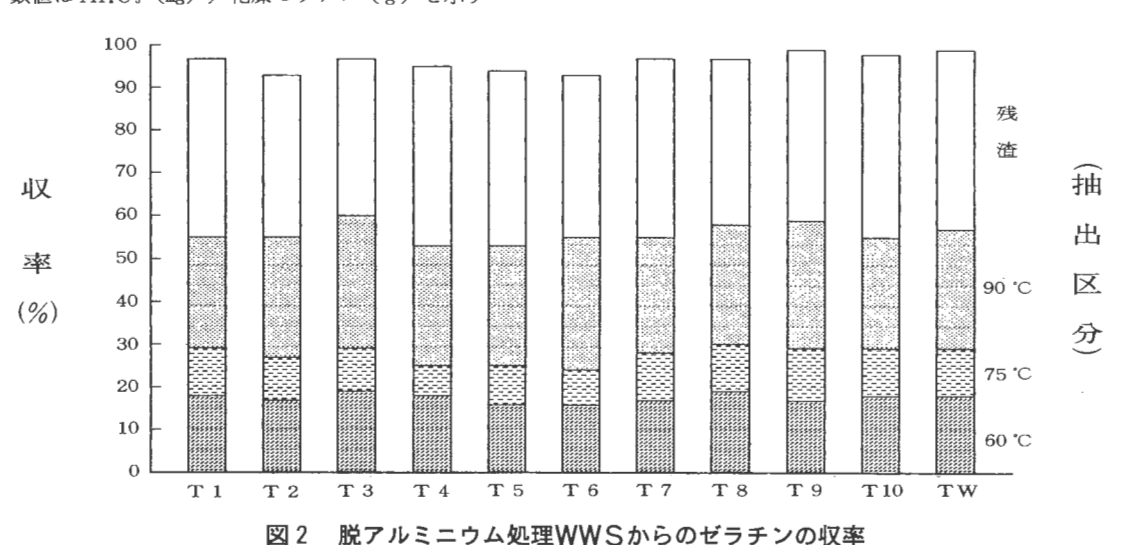
| 処   | 理 60℃ | 区分 75 | ℃区分 | 90℃区分 | (残渣) |
|-----|-------|-------|-----|-------|------|
| T 1 | . 1   | .0    | 0.6 | 0.2   | 6.5  |
| T 2 | 0     | .2    | 0.2 | 0.1   | 1.6  |
| Т 3 | 3 0   | .8    | 0.5 | 0.2   | 6.9  |
| T 4 | 1 0   | .2    | 0.9 | 0.3   | 3.2  |
| Τ 5 | 5 0   | .8    | 0.5 | 0.3   | 7.7  |
| Τ6  | 0     | .2    | 0.2 | 0.1   | 1.3  |
| T 7 | 7 1   | .6    | 1.0 | 0.3   | 8.0  |
| T 8 | 3 0   | .4    | 0.1 | 0.2   | 2.7  |
| T 9 | 0     | .3    | 0.6 | 0.3   | 36.7 |
| T1  | 0 0   | .6    | 1.6 | 0.7   | 36.4 |
| TV  | V 0   | .4    | 0.7 | 0.4   | 37.2 |

数値は Al<sub>2</sub>O<sub>3</sub> (mg) /乾燥ゼラチン (g) を示す

### 3-2-2 収率と分子量分布

各抽出区分におけるゼラチンの収率と分子量分 布をそれぞれ図2と図3に示した。

酸浸漬条件による収率の差異はわずかで、いずれも概ね 60%と前回 $^{1)}$ よりも低い値を示した。今回は酸浸漬後にWWSをpH7に中和したため、酸による加水分解が起こらなかったことによる。熱水抽出時のpHを7と同一にすると、分子量分布についても酸浸漬条件による差異がほとんど認められなくなる、いずれも 60%区分は分子量 10~20万の成分が主体で分布が狭いが、高温区分になると高分子および低分子の成分が増加して不均一な組成となる。



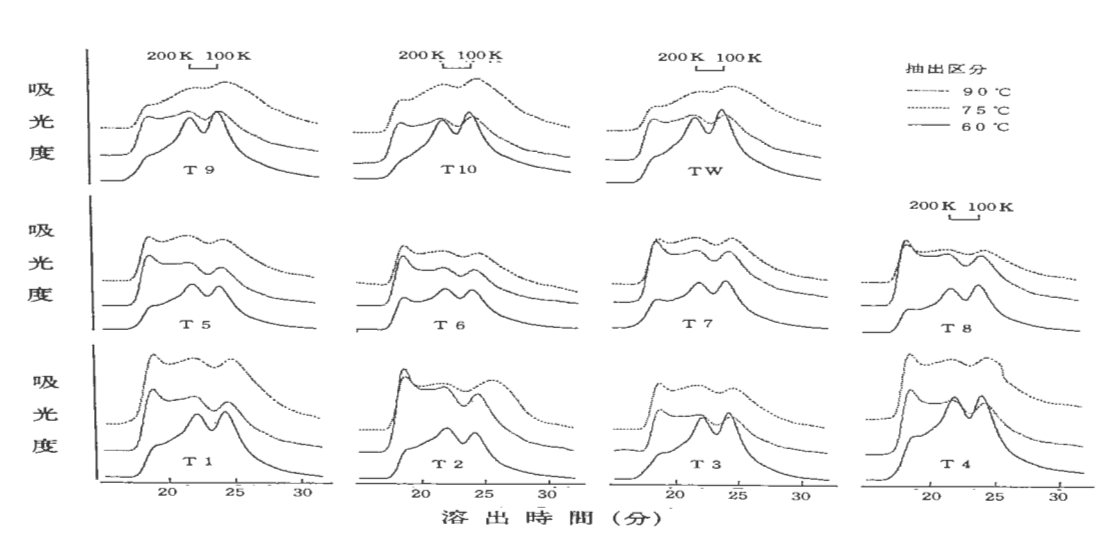


図3 ゼラチンのゲルクロマトグラフィー

### 3-3-3 粘度とゲル強度

抽出ゼラチンの粘度とゲル強度を表3にまとめて示した。

粘度、ゲル強度とも一部を除いて酸浸漬条件に

よる差異は少ない。各処理とも、粘度は 75℃区 分が 60℃および 90℃区分よりもやや高い値を示 し、ゲル強度は 90℃区分が他の区分の値の半分 程度と著しく低い値を示した。

| 2013 アフテノの納場でソル帰場 | 表 3 | ゼラ | チン | の料度 | とゲル強度 |
|-------------------|-----|----|----|-----|-------|
|-------------------|-----|----|----|-----|-------|

| 処 理 |       | 粘 度* (mp) |       |       | デル強度*(g/cī | đ)    |
|-----|-------|-----------|-------|-------|------------|-------|
|     | 60℃区分 | 75℃区分     | 90℃区分 | 60℃区分 | 75℃区分      | 90℃区分 |
| Т1  | 58    | 71        | 54    | 500   | 508        | 244   |
| T 2 | 52    | 68        | 62    | 510   | 510        | 253   |
| Т3  | 50    | 64        | 55    | 491   | 541        | 274   |
| T 4 | 53    | 71        | 60    | 506   | 476        | 273   |
| T 5 | 46    | 75        | 57    | 452   | 472        | 265   |
| T 6 | 48    | 68        | 55    | 515   | 557        | 248   |
| T 7 | 55    | 73        | 57    | 523   | 500        | 297   |
| T 8 | 52    | 69        | 55    | 531   | 498        | 231   |
| T 9 | 53    | 65        | 44    | 527   | 516        | 240   |
| T10 | 52    | 64        | 46    | 498   | 484        | 233   |
| TW  | 53    | 64        | 41    | 500   | 464        | 235   |

### 4 まとめ

ウエットホワイト・シェービング屑をゼラチン 原料として利用することを目的に、酸浸漬による 脱アルミニウム条件について検討し、次の結果を 得た。

- 1)塩化ナトリウムを添加してpH2で脱アルミニウムを行うことにより、アルミニウムの99%が除去でき、蛋白質の回収率も高い。
- 2) pH 4 付近ではアルミニウム除去率が 40%程度にまで低下する。
- 3) 熱水抽出のpHを7に調整した場合は、酸浸 漬条件によるゼラチンの収率、分子量分布、粘度 そしてゲル強度の差異は少ない。

### 油 文

- 1)元吉 治雄、 谷 正博、 石井 秦博、 白井 邦郎、 久保 知義:皮革化学、 36,107(1990)
  - 2) 隅田 卓、 岡本 和吉、 安井 三雄、 山本 忠弘: 皮革化学、33, 21 (1987)

### ドライホワイトの製造条件に関する検討

皮革分場 由良 好史

### 要 旨

硫酸アルミニウムで前鞣しした厚鞣し革の取扱い並びに水戻しが容易なドライホワイト調製する目的で検討した。その結果、強制でドライホワイト調製し、手べら工程を行った場合、柔軟で、また短時間で水戻しができる革が得られた。

#### 1. はじめに

省クロム、原料皮の保存並びに副廃物の高度利用を図るためウェットホワイト並びにドライホワイトの検討を行い報告した。1)その結果、厚鞣しのドライホワイトは硬く、変形し積み重ねて保存しにくく、またウェットバックも困難であった。

今回、硫酸アルミニウムで前鞣しし厚鞣し革の 取扱い並びにウェットバックが容易なドライホワイトを調製することを目的として、加脂量、活性 剤、ドライホワイト調製及び手べら工程を変化さ せて検討した。

### 2 実験

### 2-1 原料皮

北米産塩蔵成牛皮の半栽皮3枚を常法によりアッパー用に脱毛石灰漬、浸酸し夫々を17×40cmに16分割し、3枚1組として用いた。

### 2-2 実験計画

要因と水準を表1に示した。

表1 要因と水準

|        | 要   | 因                             | 水準I                    | 水準Ⅱ                   |
|--------|-----|-------------------------------|------------------------|-----------------------|
| B<br>C | ノニオ | ン性加脂剤<br>ン活性剤<br>ホワイト調製<br>工程 | 2 %<br>0.2%<br>自然<br>無 | 5 %<br>1 %<br>強制<br>有 |

\* 自然はネット上で乾燥、強制は温度 40℃、相対温 度 50%、7時間乾燥後、1 夜間吊り乾燥

### 2-3 ドライホワイト調製、保存及び水戻し方法

前鞣し: 12% 硫酸アルミニウム

A% 加脂剤

B%ノニオン活性剤

乾燥: C ドライホワイト調製

自然ーネット上で乾燥

強制-温度 40℃、湿度 50%、 7 時間 乾燥後、1 夜間吊り乾燥

D 手べら工程

保 存: 40 日間

水戻し: 1時間静止、1時間回転を2.5回繰り返

寸

水絞り、分割、1.1 mm にシェービング 以下は前報<sup>1)</sup> と同様に行った。

2-4 製品革の試験方法及び官能検査

前報1)と同様に行った。

### 3 結果

### 3-1 ドライホワイトの保存前後の化学組成及び物性試験

ドライホワイトの保存前と 40 日間保存後の化 学組成及び物性試験結果を表 2 に示した。

ドライホワイトを40日間保存を行った場合、剛軟度は保存前より少し高い値を示した。これはドライホワイトの含水率によるものと考えられる。その他、保存前と保存後いずれの実験条件、いずれの項目においても差を認めない。また、40日間保存後のドライホワイトの分散分析を行ったところ脂肪分の場合、要因として加脂剤及び活性剤は1%有意であった。

剛軟度の場合、要因としてドライホワイト調製 及び手べら工程は1%有意であった。以上の結果、 剛軟度は強制でドライホワイト調製し、手べら工 程を行った場合、低い値を示す傾向を認めた。

表 2 ドライホワイトの保存前後の化学組成及び物性試験

| 実 験 |     | (%) | 脂肪分  | (%)  | 見掛比重 | (kg/cm³) |     | $(\times 10^3  \mathrm{mg})$ |  |
|-----|-----|-----|------|------|------|----------|-----|------------------------------|--|
| No. | 保存前 | 保存後 | 保存前  | 保存後  | 保存前  | 保存後      | 保存前 | 保存後                          |  |
| 1   | 0.1 | 0.2 | 2.6  | 2.4  | 0.75 | 0.76     | 228 | 247                          |  |
| 2   | 0.1 | 0.2 | 2.5  | 2.4  | 0.71 | 0.70     | 41  | 49                           |  |
| 3   | 0.1 | 0.1 | 2.9  | 3.2  | 0.74 | 0.77     | 135 | 162                          |  |
| 4   | 0.1 | 0.2 | 2.8  | 2.9  | 0.69 | 0.73     | 39  | 51                           |  |
| 5   | 0.1 | 0.2 | 4.3  | 4.3  | 0.72 | 0.74     | 126 | 261                          |  |
| 6   | 0.1 | 0.2 | 4.6  | 4.5  | 0.64 | 0.67     | 17  | 27                           |  |
| 7   | 0.1 | 0.2 | 4.4  | 4.2  | 0.71 | 0.77     | 87  | 109                          |  |
| 8   | 0.1 | 0.1 | 4.2  | 4.2  | 0.67 | 0.70     | 33  | 43                           |  |
| 9   | 0.1 | 0.1 | 7.6  | 7.5  | 0.74 | 0.74     | 151 | 179                          |  |
| 10  | 0.1 | 0.1 | 6.4  | 6.7  | 0.71 | 0.73     | 23  | 33                           |  |
| 11  | 0.1 | 0.1 | 8.1  | 8.3  | 0.82 | 0.83     | 108 | 119                          |  |
| 12  | 0.1 | 0.1 | 6.5  | 6.5  | 0.74 | 0.75     | 55  | 91                           |  |
| 13  | 0.1 | 0.2 | 8.8  | 8.5  | 0.76 | 0.77     | 144 | 186                          |  |
| 14  | 0.0 | 0.1 | 8.5  | 8.5  | 0.71 | 0.73     | 21  | 51                           |  |
| 15  | 0.1 | 0.1 | 10.5 | 10.3 | 0.78 | 0.81     | 78  | 98                           |  |
| 16  | 0.1 | 0.1 | 9.8  | 9.0  | 0.70 | 0.69     | 16  | 19                           |  |

<sup>\*</sup> 無水物換算

### 3-2 ドライホワイトの水戻しの重量変化

ドライホワイト保存終了時の重量を基準とした 水戻しの重量変化を表3に示した。

手べら工程を行った場合、静止1時間で200%以上となり、手べら工程を行わない場合より高い値を示した。その後、回転1時間(2時間)後までその傾向が認めた。しかし、次の静止1時間(3時間)後は手べら工程における差は認めない。

また、経時変化の分散分析を行ったところ静止1時間(1時間)後の場合、要因として手べら工程は1%有意であった。そして回転1時間(2時間)後の場合、要因としてドライホワイト調整は1%有意であった。以上の結果、水戻しは強制でドライホワイト調製し、手べら工程を行った場合、短時間で高い値を示す傾向を認めた。

表 3 保存終了時の重量を基準とした水戻しの重量変化

| 実<br>No. | 保 存<br>終了時 | 静 止<br>1時間 | 回 転<br>1時間 | 静 止<br>1時間 | 回 転<br>1時間 | 静 止<br>1時間 |
|----------|------------|------------|------------|------------|------------|------------|
| 1        | 100        | 163        | 221        | 232        | 235        | 239        |
| 2        | 100        | 204        | 227        | 228        | 233        | 234        |
| 3        | 100        | 188        | 246        | 249        | 249        | 251        |
| 4        | 100        | 208        | 253        | 244        | 247        | 250        |
| 5        | 100        | 168        | 232        | 237        | 243        | 236        |
| 6        | 100        | 228        | 244        | 243        | 241        | 241        |
| 7        | 100        | 175        | 243        | 246        | 246        | 252        |
| 8        | 100        | 213        | 246        | 250        | 250        | 249        |
| 9        | 100        | 154        | 216        | 212        | 224        | 222        |
| 10       | 100        | 198        | 225        | 228        | 234        | 237        |
| 11       | 100        | 162        | 235        | 239        | 239        | 247        |
| 12       | 100        | 206        | 244        | 247        | 247        | 250        |
| 13       | 100        | 156        | 231        | 231        | 238        | 237        |
| 14       | 100        | 203        | 240        | 241        | 238        | 246        |
| 15       | 100        | 175        | 257        | 254        | 255        | 263        |
| 16       | 100        | 212        | 249        | 249        | 247        | 250        |

<sup>★</sup> 百分率で示す

製品革の化学組成及び機械的性質結果を表4に 示した。

製品革の厚さは1.3~1.6 mmとなった。しかし

3-3 製品革の化学組成及び機械的性質 シェービング厚さは  $1.1\,\mathrm{mm}$  に調製したものであ る。その他、製品革のいずれの実験条件、いずれ の項目においても差を認めない。

表 4 製品革の化学組成及び機械的性質

| 実験   | No.    |          |                         | 1    | 2    | 3    | 4    | 5    | 6    | 7    | 8    | 9    | 10   | 11   | 12   | 13   | 14   | 15   | 16  |
|------|--------|----------|-------------------------|------|------|------|------|------|------|------|------|------|------|------|------|------|------|------|-----|
| 水    |        | 分        | %                       | 16.4 | 16.4 | 16.7 | 16.6 | 16.5 | 14.8 | 16.7 | 13.5 | 17.0 | 17.5 | 16.7 | 17.0 | 17,7 | 16.7 | 16.4 | 16. |
| クロムさ | 含 有    | 册        | %                       | 4.3  | 4.3  | 4.3  | 4.2  | 4.1  | 4.1  | 4.2  | 4.0  | 3.9  | 4.0  | 3.9  | 3.9  | 4.0  | 4.0  | 3.8  | 3.9 |
| アルミさ | 含有     | 册        | %                       | 1.3  | 1.8  | 1.5  | 1.6  | 1.3  | 1.1  | 1.5  | 1.5  | 1.5  | 1.2  | 1.3  | 1.5  | 1.3  | 1.6  | 1.5  | 1.5 |
| 支 質  |        | 分        | %                       | 69.3 | 66.6 | 67.9 | 67.3 | 66.6 | 67.4 | 66.9 | 65.7 | 69.9 | 73.3 | 67.5 | 68.7 | 67.7 | 68.7 | 63.9 | 67. |
| 脂 肪  |        | 分        | %                       | 8.3  | 10.3 | 9.4  | 9.8  | 10.3 | 9.3  | 9.4  | 9,1  | 10.0 | 7.2  | 10.7 | 8.3  | 10.0 | 10.0 | 12.0 | 10. |
| Ts   | 3      |          | $^{\circ}\! \mathbb{C}$ | 116  | 115  | 115  | 114  | 116  | 116  | 115  | 116  | 114  | 114  | 114  | 114  | 114  | 115  | 114  | 114 |
| 孯    |        | ż        | mm                      | 1.4  | 1.3  | 1.3  | 1.3  | 1.4  | 1.4  | 1.4  | 1.6  | 1.4  | 1.4  | 1.4  | 1.5  | 1.5  | 1.5  | 1.5  | 1.5 |
| 引張   | 強      | ż        | kgf/mm²                 | 1.2  | 0.9  | 1.0  | 0.9  | 1.0  | 1.3  | 1.0  | 1.1  | 1.2  | 1.0  | 1.2  | 1.1  | 1.1  | 1.3  | 1.0  | 1.  |
| 切断時( | の伸     | $\sigma$ | %                       | 40   | 38   | 34   | 42   | 35   | 39   | 42   | 39   | 50   | 39   | 49   | 51   | 45   | 48   | 39   | 49  |
| 引裂   | 強      | さ        | kgf/mm                  | 2.4  | 2.0  | 2.0  | 1.5  | 1.8  | 2.5  | 2.2  | 2.2  | 2,3  | 2.5  | 2.6  | 3.1  | 2.4  | 2.9  | 2.7  | 2.  |
| 眼面割  | れ 荷    | 重        | kgf                     | 23   | 19   | 21   | 16   | 16   | 27   | 23   | 21   | 23   | 22   | 28   | 21   | 21   | 25   | 16   | 21  |
| 眼面割  | れ<br>伸 | $\alpha$ | mn                      | 10.7 | 9.9  | 10.1 | 97   | 9.9  | 9.6  | 9.9  | 9.7  | 10.1 | 9.2  | 10.3 | 8.8  | 10.0 | 9.2  | 8.3  | 9.  |
| 見掛   | 比      | 重        | g/cm³                   | 0.51 | 0.50 | 0.4  | 0.49 | 0.47 | 0.5  | 0.49 | 0.49 | 0.51 | 0.49 | 0.49 | 0.49 | 0.5  | 0.5  | 0.46 | 0.5 |
| 剛 軟  |        | 度        | mg                      | 1094 | 748  | 809  | 808  | 908  | 1060 | 1017 | 1184 | 1016 | 1155 | 901  | 1298 | 1441 | 1246 | 1310 | 113 |
| 吸 質  |        | 度        | mg/cm³                  | ,52  | 43   | 42   | 40   | 40   | 39   | 43   | 39   | 51   | 49   | 46   | 41   | 40   | 38   | 35   | 3   |

<sup>\*</sup> 無水物換算

### 3-4 製品革の官能検査

官能検査結果を表5に示した。

加脂剤が多い場合、充実性が高い値を示す傾向を

認めた。その他、いずれの実験条件、いずれの項 目においても差を認めない。

表 5 製品革の官能検査結果

| 実 験<br>Na | 柔軟性<br>(硬さ) | 充実性<br>(ふくらみ) | しぼ<br>(内折りじわ) | きめ<br>(毛孔大きさ) | しわ<br>(しわののび) | 染色性<br>(色の <b>濃</b> 度) | 吸水性<br>(銀面の水の吸込み) |
|-----------|-------------|---------------|---------------|---------------|---------------|------------------------|-------------------|
| 1         | 3.3         | 2.0           | 3.0           | 3.0           | 3.0           | 2.0                    | 3.0               |
| 2         | 3.7         | 1.7           | 2.0           | 4.7           | 3.7           | 2.3                    | 3.3               |
| 3         | 3.3         | 1.0           | 3.0           | 3.0           | 4.0           | 3.0                    | 2.7               |
| 4         | 3.0         | 2.0           | 4.0           | 3.3           | 2.0           | 4.0                    | 2.7               |
| 5         | 2.0         | 2.3           | 4.0           | 3.0           | 3.0           | 4.0                    | 3.3               |
| 6         | 2.0         | 3.0           | 4.0           | 4.0           | 3.0           | 2.3                    | 2.3               |
| 7         | 2.0         | 2.7           | 4.0           | 3.7           | 3.0           | 4.7                    | 3.0               |
| 8         | 2.0         | 4.0           | 4.3           | 2.0           | 2.0           | 4.0                    | 3.3               |
| 9         | 2.0         | 2.7           | 5.0           | 2.0           | 4.0           | 4.0                    | 2.0               |
| 10        | 2.0         | 2.0           | 2.0           | 3.0           | 3.0           | 2.0                    | 2.7               |
| 11        | 2.0         | 3.7           | 2.7           | 2.0           | 3.3           | 2.3                    | 2.3               |
| 12        | 2.0         | 4.7           | 1.3           | 2.0           | 2.0           | 3.0                    | 3.0               |
| 13        | 2.0         | 3.7           | 2.0           | 3.0           | 3.7           | 4.0                    | 2.3               |
| 14        | 2.7         | 2.7           | 1.0           | 4.0           | 3.3           | 3.0                    | 3.3               |
| 15        | 1.3         | 4.0           | 2.0           | 4.0           | 2.3           | 3.0                    | 3.0               |
| 16        | 1.0         | 3.0           | 2.0           | 5.0           | 3.3           | 3.7                    | 3.0               |

評価法: 5 (優れている) -3 (普通) -1 (劣る)

### 4 おわりに

ドライホワイトの取扱い並びに水戻しが容易なドライホワイトを調製する目的で検討し、その後、製品革とした結果以下のとおりである。ドライホワイトの保存前と保存後では差を認めない。強制でドライホワイト調製し、手べら工程を行った場合、柔軟で、水戻しが短時間で高い値を示す傾向を認めた。また、製品革はJIS 規格と比べても良好な結果が得られた。しかし、官能検査は今後より一層評価を上げるため水戻し等検討が必要である。

### 対 対

ドライホワイトの取扱い並びに水戻しが容易な 1)由良: 和歌山県工業技術センター報告 ライホワイトを調製する目的で検討し、その後、 (平成元年度) P.67-71

### ウェットブルーの実用化試験 X

皮革分場 元吉 治雄、石原 矩武

### 1 緒 言

本試験は通商産業省の補助事業として、()出日本 タンナーズ協会が中心となって実施している。今 年度は北米産ステアーのウェットブルーについて の試験が行われ、全国の中小タンナー 12 社が協 力し、和歌山地区からもA社が参加した。本報告 は、A社で試作した製品革の化学分析と機械的性 質の測定結果をとりまとめた。

### 2 試験

試験に用いたウェットブルー(以下、ブルーと記す)は、アメリカのフット社とプライム社より輸入した。和歌山地区から参加したA社は、それぞれのブルーから鞄用革と甲革を試作した。得られた製品革について化学分析と機械的性質の測定を行った。

### 3 結果

製品革の化学分析値と機械的性質の測定値をま とめて表に示した。

フット社のブルーから試作した鞄用革は、プライム社からのものに比べて脂肪分が著しく大となっているが、これは両者の色が異なるため考えられる(染料の一部が脂肪とともに抽出されてくる)。その他の化学分析値の差異は僅かである。剛軟度はフット社の値が小さくプライム社のものよりも柔軟性のあることが認められる。その他の機械的性質についてはブルーに起因すると思われる差異は認められない。フット社のブルーから試作した甲革も、プライム社のものより剛軟度が小さいことから、ブルーの違いが革の柔軟性に影響してく

ると考えられる。その他の項目については鞄用革 と傾向が逆あるいは差が小さく、ブルーの影響は 明確でない。鞄用革と甲革との間に差異があるの は、用途により再鞣方法や加脂方法が異なってい るためである。

### 製品革の化学分析値と機械的性質

| 会社名       |     |                      | フ・   | ット   | プラ   | イム   |
|-----------|-----|----------------------|------|------|------|------|
| 製品革       |     |                      | 鞄用   | 甲革   | 鞄用   | 甲革   |
| (色)       |     |                      | (茶)  | (黒)  | (黒)  | (黒)  |
| 水         | 分   | (%)                  | 17.3 | 19.0 | 17.1 | 16.5 |
| 灰         | 分   | (%)                  | 5.7  | 5.1  | 5.5  | 4.3  |
| $Cr_2O_3$ |     | (%)                  | 3.7  | 4.1  | 3.5  | 4.0  |
| 皮 質       | 分   | (%)                  | 66.5 | 72.2 | 62.9 | 74.6 |
| 脂肪        | 分   | (%)                  | 7.9  | 5.3  | 4.9  | 5.8  |
| pН        |     |                      | 3.3  | 3.8  | 3.6  | 3.8  |
| Ts        |     | $(\mathcal{L})$      | 115  | 111  | 116  | 114  |
| 厚         |     | (mm)                 | 2.1  | 1.6  | 2.2  | 1.8  |
| 引張 強      | さ(1 | kg/mm <sup>2</sup> ) | 1.9  | 1.6  | 1.6  | 1.5  |
| 引裂強       | さ() | ·<br>(g/mm)          | 3.2  | 3.8  | 3.2  | 3.1  |
| 切断時伸      | U   | (%)                  | 48   | 53   | 52   | 60   |
| 銀面割れ荷     | 重   | (kg)                 | 43   | 36   | 36   | 28   |
| 銀面割れ高     | さ   | (mm)                 | 9.7  | 10.4 | 9.5  | 10.0 |
| 見掛比       | 重(  | g/cm²)               | 0.69 | 0.72 | 0.72 | 0.70 |
| 剛軟        | 度   | (mg)                 | 3723 | 2655 | 5340 | 3946 |

なお、本試験の全体の結果は、()出本タンナー ズ協会より事業報告書として発表される。

# 皮革の風合い改善 (国際的に通用する皮革素材の研究開発)

- 市販革の機能的性質 -

皮革分場 石原 矩武、由良 好史

ョーロッパで生産された革は、国内で生産された革は、国内で生産された革よりも官能特性が優れているといわれている。 わが国で使用している牛原皮はほとんどが北米産のものであり、ヨーロッパ原皮とはおのずと品質が異なるため厳密な比較検討には無理な点が存在している。しかし、わが国で生産される革の品質向上を図っていくためには、海外製品の素性を把握しておかなければならない。

そこで、(初日本皮革産業連合会が通商産業省の補助を受け「皮革の風合い改善(国際的に通用する皮革素材の研究開発)」を実施することになった。本事業には、公設皮革試験研究機関および日本皮革技術協会が協力し、本年は、国内、海外で生産された用途の異なる成牛革、カーフ、シープおよびキッド革を収集し、これらの機械的性質を測定した。あわせて14~15名の熟練者により判定された官能試験結果との関連性についても検討した。

収集した市販革は、国内産が48点、海外産が 19点計67点、これらを用途別に分類すると婦人 用甲革17点、紳士用甲革4点、袋物用革22点、 衣料用革22点、その他2点、そして革種別に分類するとカーフ5点、成牛40点、シープ18点、 キッド4点であった。機械的性質の測定はJIS K 6550に従って厚さ、引張強さ、7 Kgf 荷重時の 伸び、切断時の伸び、引裂強さ、銀面割れ荷重、 銀面割れ高さ、そして6mm高時の荷重を測定し、 JIS L 1096に徒ってガーレー剛軟度を測定した。

機械的性質は、ほとんどの革がJIS K 6551 靴 用革の基準以上の値を示しており、国内産と海外 産の間には差がなかった。柔らかさが要求される 衣料用革において、7 Kgf 荷重時の伸びが大で、 6 mm 高時の荷重ならびにガーレー剛軟度が小と なる傾向が認められた。また、機械的性質と官能 試験の間には、7 Kgf 荷重時の伸びが大であると 柔らかい、腰・弾力性がない、そして 6 mm 高時 の荷重ならびにガーレー剛軟度が小であると柔ら かい、腰・弾力性がないという相関性が認められ た。詳細については、出日本皮革産業連合会から 事業報告書として発表される。

# 省クロム鞣し実用化試験

皮革分場 元吉 治雄、石原 矩武

本試験は排水中のクロム含有量の削減による無公害化ならびに省資源を目的として、研究段階では完成されている省クロム鞣し技術を業界に普及するため、(出日本タンナーズ協会が通産省の補助を受けて実施したものである。

和歌山地区からはB社が参加し、袋物用革の製造において省クロム鞣し試験を浸酸浴への活性剤と加脂剤の添加量を変化させた2方法により実施した。省クロム鞣しにおけるクロム鞣剤の使用量は4%で、在来法の7%に対して43%の節減率であった。

青革のクロム含有量は、在来法が4.3%、省クロム鞣しが3.4と3.5%で減少しているが熱収縮温度は98℃以上あった。

第1の方法により省クロム鞣した青革の品質は 柔軟性、平滑性、充実性、肌理、そしてクロム浸 透性の全ての検査項目で普通または良好と判定さ れた。第2の方法による青革の品質は、柔軟性と 充実性で76%が普通、これら以外の項目では普 通または良好と判定された。

省クロム鞣しによる袋物用革の機械的性質は、 在来法によるものと差がなく、外観品質は、在来 革と比較してしぼ染色性が同等、これら以外の柔 軟性、充実性、肌理、そしてしわについては優れ ていると評価された。

なお詳細については他日本タンナーズ協会から 事業報告書として発表される。

| 表 1 | 省クロム鞣 | <b>レ廃液およ</b> | び青革の分析結果 |
|-----|-------|--------------|----------|
|-----|-------|--------------|----------|

|     | 鞣し廃       | 液   | 青          | 革      |
|-----|-----------|-----|------------|--------|
|     | クロム含有量(%) | pН  | クロム含有量 (%) | Ts (℃) |
| 在来法 | 0.13      | 3.8 | 4.3        | 109    |
| 1回目 | 0.12      | 4.0 | 3.4        | 98     |
| 2回目 | 0.09      | 4.6 | 3.5        | 99     |

表 2 省クロム鞣しにより得られた袋物用革の化学分析結果

|     | 水分<br>% | 全灰分<br>% | 皮質分<br>% | 脂肪分<br>% | クロム含有量<br>% | pН  | Ts<br>°C |
|-----|---------|----------|----------|----------|-------------|-----|----------|
| 在来法 | 17,3    | 5.6      | 73.4     | 6.3      | 3.9         | 3.6 | 110      |
| 1回目 | 17.4    | 4.2      | 76.1     | 5.0      | 3.0         | 3.5 | 109      |
| 2回目 | 17.7    | 4.4      | 76.5     | 5.0      | 2.8         | 3.5 | 107      |

表3 省クロム鞣しにより得られた袋物用革の機械的性質

|     | 厚さ  | 引張強さ   | 引裂強さ   | 7 Kgf時  | 切断時     | 銀面        | 割れ  | 見掛比重 | 剛軟度  |
|-----|-----|--------|--------|---------|---------|-----------|-----|------|------|
|     | mm  | kgf/md | kgf/mm | 伸び<br>% | 伸び<br>% | 荷重<br>kgf | ち高  | g/cm | mgf  |
| 在来法 | 1.8 | 1.6    | 3.4    | 20      | 55      | 35        | 9.2 | 0.61 | 965  |
| 1回目 | 1.5 | 1.4    | 3.2    | 24      | 53      | 18        | 8.5 | 0.67 | 996  |
| 2回目 | 1.7 | 1.9    | 4.2    | 19      | 58      | 33        | 9.7 | 0.66 | 1201 |

# 低温プラズマを利用した繊維の 耐久性難燃加工

化学食品部 久保田 静男、伊藤 修

# 要 旨

綿、E/C混紡繊維にビニルホスホナートオリゴマー(Fyrol 76) ーアクリルアミドを付与、乾燥した後、低温プラズマにより処理して重合させ、耐洗濯性のある耐久性難燃加工布を得た。13.56 MHzのグロー放電の方が、20 KHz よりも、重合速度は速かった。また放電電力に比例して重合速度が大きくなった。窒素ガス圧力 0.6~3.0 Torr の範囲では、0.6 Torr の方が重合速度は大であった。Fyrol 76 40 %ーアクリルアミド 40 %水溶液を付与、乾燥し、低温プラズマ処理した綿ブロードは処理後の付着率が増すにつれて限界酸素指数(LOI)が増加し難燃性になった。付着率約 22 %で LOI 30 となった。E/Cブロードでは付着率約 12 %で LOI 25 となった。加工布の物性を測定した。

### 1 緒 言

先に、綿繊維ヘビス(2-クロロエチル)ビニルホスホナート(CEVP)と種々ビニルモノマーを Ce (IV)イオンによりグラフト共重合し、耐久性難燃加工布を得た $^{1)}$ 。また酸触媒を用いた環状アミノホスファゼン(AP)による綿繊維の耐久性難燃加工を報告した $^{2)}$ 。今回は、低温プラズマを用いて、綿、E/C 混紡繊維にビニルホスホナートオリゴマー(Fyrol 76)等を処理して耐久性難燃加工を検討した。

### 2 実験

低温プラズマ処理装置は英光社製容量結合平行 平板型装置を用いた。周波数 13.56 MHz 及び 20 KHz のラジオ波を用いてグロー放電させた。上下電極の大きさは、10 cmx 10 cm、電極間距離 25mmで、その間を幅 10 cm、長さ数mの布を通し処理した。放電ガスは窒素を用いた。処理布は綿サテン(129.3 g/㎡)、綿ブロード(118.3 g/㎡)、E/C(65/35)ブロード(120.5 g/㎡)を用いた。Fyrol 76(明成化学工業(納提供品)、ホスマーCL(3ークロロー2ーアシッドホスホオキシプロピルメタクリレート、ユニケミカル(株製)、アクリルアミド(試薬)、2、3ージブロモプロピルアクリレート(試薬)は精製せずに用いた

(下図参照)。粗製 AP(含 NH4Cl 57.7%)、塩化ホスファゼン三量体(3 PNC)及び四量体(4 PNC)は日本曹達㈱製化成品を用いた。低温プラズマ処理後、65℃にて5分間湯洗いした。加工布の洗濯は中温(60℃)ワッシャー法及び JIS 絵表示103 法により行った。加工布の難燃性試験は限界酸素指数(LOI)法、45°ミクロバーナー法(一分間加熱)により行った。引裂強度はペンジュラム法、剛難度はクラーク法により試験した。

x=1 or 2 ホスコン 78 明成化学工業㈱ Fyro178 Stauffer Chemical Co.

3-クロロー2-アシッドホスホオキシブロピルメタクリレート

ホスマーCL ユニケミカル(株)

# 3 結果と考察

Fyrol 76-アクリルアミド(AAm)等の種々モノマー及び化合物の溶液に綿サテンを浸漬し、乾燥後、13.56 MHzの窒素低温プラズマにより処理した。これらの処理結果は昭和 61 年度年報を参照されたい。3)

これらの結果より、Fyrol 76 単独の加工では付着率が少なく、LOI も小さいが、Fyrol 76—AAm 系による加工では、高い付着率が得られ、加工後 の LOI は 32.0 と高く、そして中温ワッシャー法 5 回洗濯後も LOI は 30.7 と高く、耐久性難燃加 工布が得られた。粗製 AP、精製 AP による加工 では、加工後高い LOI 値が得られたが、耐洗濯 性は不十分であった。CEVP、CEVP—AAm、3 PNC、4 PNC では十分な難燃性が得られなかっ た。

次にこれらのモノマーでの 20 KHz 窒素プラズマ処理結果を表1に示す。

| 表 1 低 | 温プラス | (マによ | る綿サテ | ンの難燃加工 | (20 KHz) <sup>a)</sup> |
|-------|------|------|------|--------|------------------------|
|-------|------|------|------|--------|------------------------|

| モノマー濃           | 度ы       | 付着率  | 照射時間 | 照射後付着率 <sup>c)</sup> | L            | OI   |
|-----------------|----------|------|------|----------------------|--------------|------|
| (%)             |          | (%)  | (分)  | (%)                  | $\Gamma = 0$ | L=5  |
| Fyrol 76        | 50       | 94.4 | 6.5  | 0.5                  | 21.1         | 21.1 |
| Fyrol 76<br>AAm | 25<br>25 | 88.6 | 8.5  | 50.6                 | 38.2         | 36.8 |
| CEVP            | 50       | 83.9 | 8.5  | 21.9                 | 22.8         | 22.8 |
| CEVP<br>AAm     | 80<br>10 | 82.3 | 5.4  | 20.5                 | 26.3         | 23.7 |

- a) 窒素ガス 1.5 Torr, 150 W
- b)メタノール溶液
- c) 65℃x 5分 湯洗い後

表1より、20 KHzにおいても、13.56 MHzと同様の結果が得られた。しかし 20 KHz では 13.56 MHzより重合速度は遅かった。CEVP は Ce(IV) ーセルロース開始剤では重合しなかったが、プラズマ重合した。

従って以下では、13.56 MHz によるFyrol 76-AAmの処理を検討した。綿ブロードをFyrol 76 30 %-AAm 30 %水溶液に浸漬し、105℃x 5 分乾燥し、13.56 MHz、窒素ガス 1.5 Torr、150 W処理した時の時間一重合率曲線を求めた。時間と共に重合率が増すが、頭打ちがあッた(図省略)。次に E/C ブロードに Fyrol 76 40 %-AAm 40 %を付与し、上記条件で、時間一重合率曲線を求めた。上と同様な曲線が得られた。(図省略)。

次いで、重合速度に及ぼす放電電力の影響を調べた。綿ブロード、Fyrol 76 40 %-AAm 40 %、13.56 MHz、窒素ガス 1.5 Torr にて放電電力を100 から 225 Wまで変化させると、重合速度は放

電電力に比例して増加した。(図省略)。

重合速度に及ぼす窒素ガス圧力の影響を調べた。 綿ブロード、Fyrol 76 40 % — AAm 40 %、13.56 MHz、150 W にて、窒素ガス圧力を 0.6 から 3.0 Torr に変化させると、重合速度は 0.6 Torr で大きく、3.0 Torrで、小さかった(図省略)。

次いで、モノマー組成、他のモノマーの添加を検討した。 Fyrol 76 50 % — AAm 10 %、 Fyrol 76 40 % — AAm 20 %では重合速度は遅くなるが、LOI 値は大きくなった。しかし耐洗濯性はそれほど大きくなかった。 2 , 3 — ジブロモプロピルアクリレート 15 % — AAm 15 % — Fyrol 76 30 %系では、重合速度はやや遅くなり、LOI は少し大きくなったが、耐洗濯性はそれほど増加しなかった。ホスマー CL 15 % — AAm 15 % — Fyrol 76 30 %系では重合速度は変わらないが、LOI はやや減少した(表省略)。

図1に綿ブロード (Fyrol 76 40 % - AAm 40 %) の付着率に対する LOI のプロットを示す。 図1より、付着率が増すにつれて LOI が増加し、約22 %付着率にて LOI 30が得られた。

Fyrol 76 40 % - AAm 40 % の綿ブロード、E / C ブロード加工布の難燃性を表 2 に示す。

表2より、家庭洗濯10回後も十分な難燃性を 有した。

表3に加工布の物性を示す。

表3より、綿ブロードの場合付着率22.0% LOI 29.4 の時、引裂強度保持率はタテ62.1%、ヨコ68.1%となり、剛軟度は大きくなった。しかしアミノシリコンを2%用いると引裂強度低下、剛軟度は改善される。そしてE/Cブロードの場合、付着率13.1%、LOI 25.0で引裂強度保持率タテ72.7%、ヨコ71.4%となり、剛軟度は大きくなった。この場合もアミノシリコンを2%用いると引裂強度は原布よりも大きくなり、風合いも柔らかくなった。

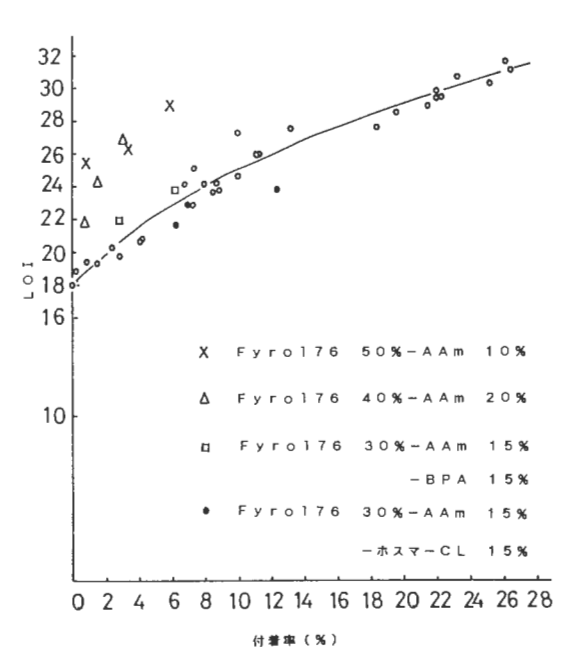


図1 付着率に対する LOI のプロット 綿ブロード,Fyrol 76 40%—AAm 40%

表 2 加工布の難燃性

| 織維          | モノマー組成<br>(%)         | 付着率 (%) | 照射時間 <sup>♠)</sup><br>(分) |      | 着率(%)<br>L=10 |      |      |    | 積 (cnf)<br>L=10 |
|-------------|-----------------------|---------|---------------------------|------|---------------|------|------|----|-----------------|
| 綿ブロード       | Fyrol 76 40<br>AAm 40 | 60.2    | 7.3                       | 26.4 | 22.3          | 31.1 | 29.4 | 17 | 34              |
| E/C<br>ブロード | //                    | 47.1    | 8.3                       | 16.0 | 12.6          | 25.4 | 25.0 | 15 | 15              |

a) 13.56 MHz, 窒素ガス 1.5 Torr, 150 W

表3 加工布の物性

| 6H 6H       | モノマー組成                             | 付着率  | T () T | 引裂強  | 度(gf) | 剛軟度(mm) |    |
|-------------|------------------------------------|------|--------|------|-------|---------|----|
| 繊 維         | (%)                                | (%)  | (%)    | LOI  | タテ    | 3 7     | タテ |
| 綿ブロード 原布    | _                                  | _    | 18.0   | 1    | 030   | 45      |    |
| "           | Fyrol 76 40<br>AAm 40              | 22.0 | 29.4   | 640  | 490   | 150     |    |
| "           | "                                  | 11.2 | 25.9   | 700  | 520   | 145     |    |
| "           | Fyrol 76 40<br>AAm 40<br>アミノシリコン 2 | 11.9 | 27.2   | 720  | 720   | 106     |    |
| E/Cブロー ド 原布 | _                                  | _    | 18.0   | 990  | 700   | 47      |    |
| "           | Fyrol 76 40<br>AAm 40              | 13.1 | 25.0   | 720  | 500   | 130     |    |
| "           | "                                  | 11.4 | 24.6   | 920  | 660   | 130     |    |
|             | Fyrol 76 40<br>AAm 40<br>アミノシリコン 2 | 11.6 | 25.4   | 1540 | 880   | 102     |    |

加工布の走査型電子顕微鏡の観察より、綿ブロードの場合、繊維の表面にポリマーが付着していた。なお、Ce(IV)開始剤の場合は繊維内部でグラフト重合して、繊維は太く膨らみ、繊維表面には付着していなかったい。そしてE/Cブロード加工布の観察から、ポリエステル繊維にもポリマーが付着していた(写真省略)。

# 1 文献

- 1) 久保田静男ら、繊維学会誌、43,263 (1987)
- 2) S.Kubota et al., Pacific Polymer Pre prints, 1, 145 (1989); 繊維学会予稿集, 1990, S-222
- 3) 久保田静男ら、昭和 61 年度和歌山県工業試験場報告、P.31 (1987)

# 付 記

本研究は平成3年度繊維学会年次大会(東京) にて発表した。繊維学会予稿集,1991, S-110. なお本研究は敷島紡績㈱からの委託研究として行っ た。

# アミノホスファゼン化合物の合成及び エポキシ樹脂硬化剤への応用

化学食品部 久保田 静男、伊藤 修 情報企画部 前田 育克

#### 要 旨

アミノホスファゼン化合物-ヘキアサニリノシクロトリホスファ ゼン、ジアミノテトラフェノキシシクロトリホスファゼン、ジアミ ノテトラ(2,3-ジブロモプロポキシ)シクロトリホスファゼンー を硬化剤に用いて、エポキシ樹脂を改質した。いずれのアミノホス ファゼン化合物もエポキシ樹脂に難燃性を付与した。そしてジアミ ノテトラフェノキシシクロトリホスファゼンによりエポキシ樹脂の ガラス転移温度が約10℃上がった。

# 1 緒 言

先に、アミノホスファゼン化合物による繊維の 耐久性難燃化について報告した<sup>1)</sup>。そしてKumar らはpーアミノフェノキシシクロトリホスファゼ ンをエポキシ樹脂硬化剤に用いて耐熱性樹脂を合 成している<sup>2)</sup>。また山本らは、りん原子にアミノ 基が結合したジアミノテトラフェノキシシクロト

リホスファゼンによるエポキシ樹脂の硬化を報告 している3)。しかし、難燃化については報告して いないので、エポキシ樹脂の難燃化を目的として、 種々アミノホスファゼン化合物を硬化剤に用い、 エポキシ樹脂の改良を検討した。用いたアミノホ スファゼン化合物を下図に示す。

amino phosphazene

hexaanilino-cyclotriphosphazene (HAP)

 $H_5C_6O - P_N - P_OC_6H_5$   $B_1H_2C_1H_2C_2O - P_N - P_OC_1H_2C_1H_2C_1H_3C_6O - OC_1H_2C_1H_3$ 

diaminotetraphenoxycyclotriphosphazene (APP) diaminotetra (2,3-dibromopropoxy)cyclotriphosphazene (ABPP)

# 2 実験

ヘキサアミノシクロトリホスファゼンは日本曹 達㈱製化成品を、ジエチルアミンとクロロホルム 中で反応させて、58 %含まれる塩化アンモニウ ムを除去、精製<sup>4)</sup>して用いた。しかしこの化合物 は水以外の溶媒には難溶で、硬化剤には用いるこ とができなかった。

ジアミノテトラフェノキシシクロトリホスファゼン(APP)は日本曹達㈱製化成品を用いた。

ヘキサアニリノシクロトリホスファゼン(HA P)は文献<sup>5)</sup>によって合成し、用いた。

ジアミノテトラクロロシクロトリホスファゼンは 文献<sup>6)</sup> により合成し、そしてピリジン中で2,3 ー ジブロモプロパノールを反応させて、ジアミノテ トラ (2, 3 ージブロモプロポキシ) シクロトリ ホスファゼン (ABPP) を得た。

エポキシプレポリマーはビスフェノールAーエピクロルヒドリン型(エピコート 828、エポキシ当量  $188 \, \mathrm{g/eq.}$ 、下図参照)、及び比較のため臭素化ビスフェノールA型(エピコート  $1045 \, \mathrm{B}\, 80$ 、エポキシ当量  $462 \, \mathrm{g/eq.}$  共に油化シェルエポキシ(㈱製)を用いた。硬化剤はアミノホスファゼン化合物とジアミノジフェニルメタンを1/2 当量ずつ 1:1 に混合して用いた。エポキシ樹脂の硬化はプレキュア  $80 \, \mathrm{Cx}\, 4$  時間、ポストキュア  $150 \, \mathrm{Cx}\, 4$  時間で行った。

難燃性は限界酸素指数(LOI)法により測定した。動的粘弾性は岩本製作所製高周波粘弾性スペクトロメーター VHS-HCにより測定した。

$$\begin{array}{c} \text{CH$_{2}$-CH-CH$_{2}$} & \text{CH$_{3}$} & \text{O-CH$_{2}$-CH-CH$_{2}$} & \text{O-CH$_{2}$-CH-CH$_{2}$} & \text{O-CH$_{2}$-CH-CH$_{2}$} & \text{O-CH$_{2}$-CH$_{2}$} & \text{O-CH$_{2}$-CH$_{2}$-CH$_{2}$} & \text{O-CH$_{2}$-CH$_{2}$-CH$_{2}$} & \text{O-CH$_{2}$-CH$_{2}$-CH$_{2}$} & \text{O-CH$_{2}$-CH$_{2}$-CH$_{2}$} & \text{O-CH$_{2}$-CH$_{2}$-CH$_{2}$} & \text{O-CH$_{2}$-CH$_{2$$

Epikote 828 n=0.122

### 3 結果と考察

3-1 ジアミノテトラ(2,3-ジブロモプロ ピポキシ)シクロトリホスファゼンの合成

ジアミノテトラクロロシクロトリホスファゼンは Feistel らの方法 $^{6)}$ により合成した。無色の粉末が得られ、収率は40.4%、mp 164-5%(文献 $^{6)}163-5\%$ )であった。そして、これに、ピリジン中で、2、3-ジブロモプロピルアルコールを室温で、<math>2日間反応させ得られた生成物をジェチルエーテル、水で洗い、その後、メタノール溶液にてワコーゲルC-100 (Silica Gel)を通して精製した。淡黄色粘着性個体が収率77.0%で得られた。

この元素分析結果を下に示す。 りんはりんバナドモリブデン酸法により測定した。

ABPPの赤外吸収スペクトルは以下の様であった。1230 cm<sup>-1</sup> 付近に環状 P=N 伸縮吸収、1560 cm<sup>-1</sup> にNH<sub>2</sub> ベンディング、3200 cm<sup>-1</sup>付近にN-H 伸縮吸収が表れ、2950、2880、1460 cm<sup>-1</sup> に CH<sub>2</sub>、1050cm<sup>-1</sup> に P-O-C 伸縮吸収が表れた。

<sup>1</sup>H、 <sup>1</sup><sup>3</sup>C NMR を測定した。 <sup>1</sup>H

- $\delta$  (-CH<sub>2</sub>-) =4.42,  $\delta$  (-CHBr-) =3.31,
- $\delta$  (-CH<sub>2</sub>Br) =3.90

 $^{13}$ C  $\delta$  (-CH<sub>2</sub>-) =68.12,

- $\delta$  (-CHBr-) =48.08,
- $\delta (-CH_2Br-) = 33.87$

元素分析結果(カッコ内は計算値)

| P. %        | Н、%         | C、%           | N、%         |
|-------------|-------------|---------------|-------------|
| 8.80 (8.98) | 2.46 (2.34) | 14.01 (13.93) | 6.60 (6.77) |

# 3-2 アミノホスファゼン硬化エポキシ樹脂の物性

種々アミノホスファゼン化合物により硬化させ

た生成エポキシ樹脂のLOI、貯蔵弾性率(E')、 損失弾性率(E")、E"のピーク温度、損失正接 (tanδ)のピーク温度を表1に示す。

表 1 生成エポキシ樹脂のLOI、E'、E"及び tan δ (10 Hz)

| エボキシ樹脂(部)       | 硬化剤 (部)                   | LOI  | E'<br>30℃<br>dyn∕cπr  | E"<br>30°C<br>dyn/cai | E"<br>peak<br>tem.℃ | tanδ<br>peak<br>tem.℃ |
|-----------------|---------------------------|------|-----------------------|-----------------------|---------------------|-----------------------|
| エピコート 828 (10)  | DDM (2.64)                | 25.4 | 1.73×10 <sup>10</sup> | 4.08×10 <sup>8</sup>  | 162                 | 174                   |
| エピコート 1045 (10) | DDM (1.07)                | 28.1 | $5.70 \times 10^{9}$  | $3.40 \times 10^{7}$  | 154                 | 162                   |
| エピコート 828 (10)  | DDM (1.32)<br>ABPP (6.88) | 48.2 | 1.28×10 <sup>10</sup> | 1.35×10 <sup>8</sup>  | 109                 | 110, 177              |
| ェピコート 828 (10)  | DDM (1.32)<br>AAP (3.59)  | 28.1 | 8.49×10°              | $2.24\times10^{8}$    | 174                 | 189                   |
| エピコート 828 (10)  | DDM (1.32)<br>HAP (3.05)  | 28.1 | 9.19×10°              | 9.98×10 <sup>7</sup>  | 123                 | 143                   |

DDM : ジアミノジフェルメタン

ABPP: ジアミノテトラ(2, 3-ジブロモプロポキシ)シクロトリホスファゼン

APP : ジアミノテトラフェノキシシクロトリホスファゼン

HAP: ヘキサアニリノシクロトリホスファゼン

表 1 より、DDM硬化エピコート 1045 は LOI 28.1 と難燃性であるが、E"、 $\tan \delta$  のピーク温度は、エピコート 828 に比べて 10  $\mathbb{C}$ 程低くなった。ABPPを 1/2 当量用いた樹脂では LOI は 48.2 と難燃性になった。そして APP を 1/2 当

10<sup>1</sup>
10<sup>1</sup>
10<sup>1</sup>
10<sup>2</sup>
10<sup>3</sup>

**図1 生成エポキシ樹脂の動的粘弾性(10 Hz)** ェピコート 828.硬化剤 DDM

Temp(°C)

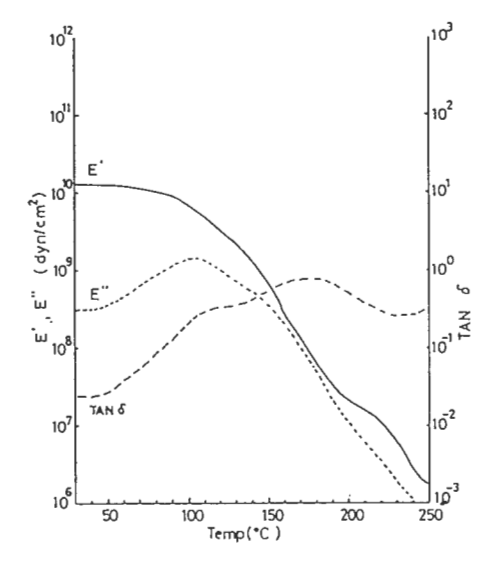
150

200

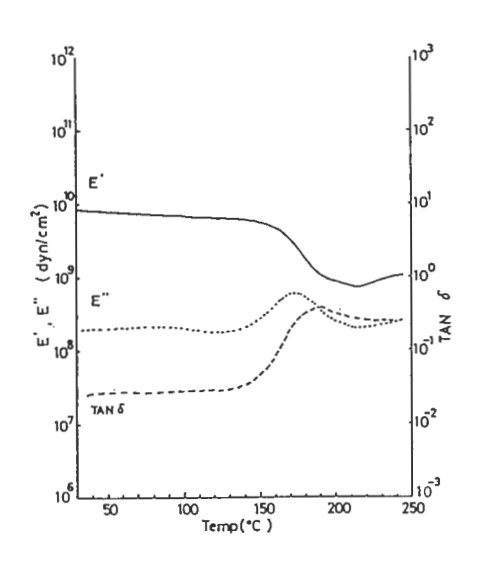
250

量用いると LOI は 28.1、E"、 $\tan \delta$  のピーク温度は 174 °C、189 °C と DDM硬化エピコート 828 樹脂より高い値が得られた。

図1にDDM硬化エピコート 828 樹脂、図2に ABPPを1/2当量用いた樹脂、図3にAPPを 1/2当量用いた樹脂の動的粘弾性を示す。



**図2** 生成エポキシ樹脂の動的粘弾性(10 Hz) エピコート 828.硬化剤 DDM – ABPP



**図3 生成エポキシ樹脂の動的粘弾性(10 Hz)** エピコート828.硬化剤 DDM

図4に種々硬化剤で得られたエポキシ樹脂のE" のピークを示す。

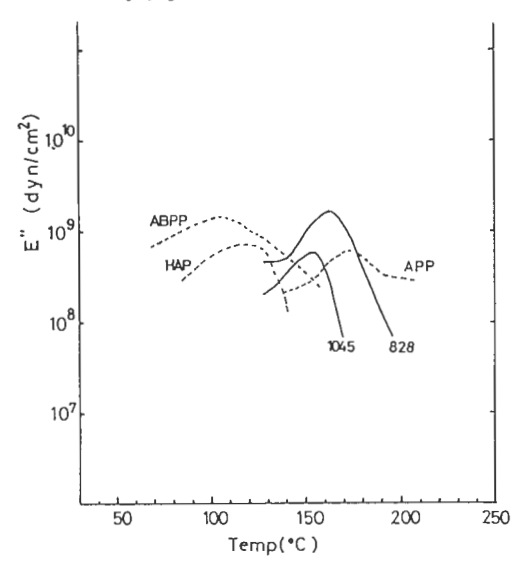


図 4 生成エポキシ樹脂の動的粘弾性-損失弾性率(E")のピーク

図5に種々硬化剤で得られたエポキシ樹脂の tanδのピークを示す。

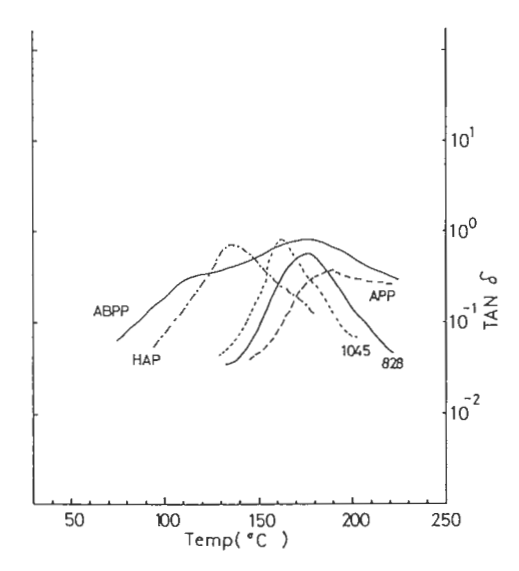


図5 生成エポキシ樹脂の動的粘弾性ー 損失正接(tanδ)のピーク

# 4 結論

アミノホスファゼン化合物を硬化剤に用いたエポキシ樹脂はいずれも限界酸素指数(LOI)が高く、難燃性であった。そして特にジアミノテトラ(2、3ージプロモプロポキシ)シクロトリホスファゼン(ABPP)では高い LOI 値が得られた。ジアミノテトラフェノキシシクロトリホスファゼン(APP)を硬化剤に用いたエポキシ樹脂は難燃性であり、そのガラス転移温度はジアミノジフェニルメタン(DDM)硬化エピコード828より約10℃高かった。

#### 

- 1) S.Kubota et al., pacific Polymer Preprints, <u>1</u>, 145 (1989.12) Maui, hawaii; 繊維学会 予稿集, 1990, S-222.
- 2) D.Kumar et al., J.Polymer Sci., Part A: Polymer Chem., 24, 2415 (1986).
- 3) 山本ら, 高分子論文集, 45, 851 (1988)
- 4) R.A.Shaw et al., J Polymer Sci.:Part A, 3, 3343 (1965).
- 5) 梶原鳴雪,「ホスファゼン化合物の合成と応 用」, P.43 ('86) CMC・東京.
- 6) G.R.Feistel et al., Inorganic Syntheses, 14, 23 (1972).

### 付 記

本研究は日本化学会第60秋季年会講演予稿集 II, P.520 (1990.10) 広島において発表した。

# 尿素樹脂 - ジメタクリレート系ポリマーアロイの 合成 (概要)

化学食品部 伊藤 修、久保田 静男

# 1 目 的

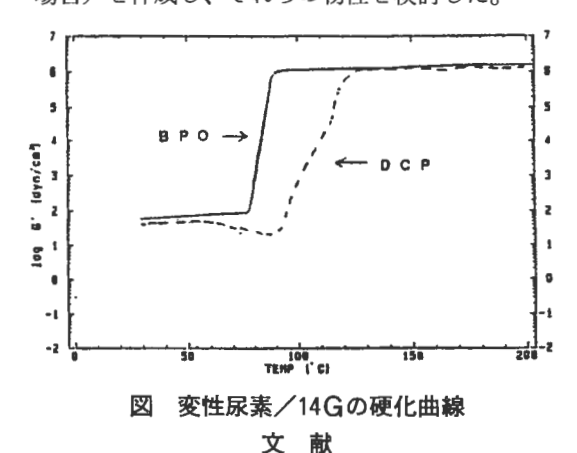
尿素樹脂初期縮合物をnープチルアルコールで変性することにより水溶性から油性の尿素初期縮合物を合成した。さらに、この化合物に可とう性と架橋構造を与える二官能性モノマーであるポリエチレングリコール 600 ジメタクリレート (14 G)を混合し、重合反応と縮合反応を同時に行わせることによって、新しいタイプの尿素樹脂を創製することを目的とし、得られた硬化物の物性を検討した。

# 2 実験

アルコール変性尿素は次のようにして合成した。 三ツ口フラスコに尿素と37%ホルマリン・アン モニア水を加え、80℃で90分間反応させた後、 n-ブチルアルコールとリン酸を加えさらに5時 間半還流下で反応させた1)。反応後、加熱脱水し 得られた樹脂液を変性尿素として使用した。変性 尿素/14G系における硬化は重量比1:1になる ように混合したものを使い、ラジカル重合開始剤 として過酸化ベンゾイル (BPO) および過酸化 ジクミル (DCP) を使用した。硬化過程の測定 は、レオロジ社ソリキッドメータ MR 300 で、パ ラレルプレート上に所定の混合物を注ぎ、昇温速 度 5 ℃/min で 200℃まで系の弾性率 G の変化を 測定した。また反応における熱の出入りを測定す るために、熱分析を行った。装置はセイコー電子 工業㈱ SSC 5200 を使い、昇温速度 5 ℃/minで 測定した。

# 3 結果

図には BPO および DCP を開始剤とした場合の変性尿素/14Gにおける弾性率Gの変化を温度を横軸にとって示してある。図から、BPO を開始剤として使用した場合約  $80^{\circ}$ Cで G が急激に大きくなっていることがわかる。これは BPO の分解が  $60 \sim 80^{\circ}$ Cであるため、重合により系全体の弾性率が上がったためであろうと思われる一方、DCP を開始剤とした場合、Gの上昇は約  $110^{\circ}$ C にある。熱分析による最大発熱ピークは BPO の場合  $100^{\circ}$ C、DCP の場合  $130^{\circ}$ Cであった。また、変性尿素の縮合反応を熱分析により分析した結果、反応は  $160^{\circ}$ Cで吸熱反応であった。次に、変性尿素/14 Gにおいて 硬化物 A(BPOを開始剤とした場合)および硬化物 B(DCP を開始剤とした場合)を作成し、それらの物性を検討した。



1) 高分子実験学第5巻、455(1980)

# カリックスアレーンの機能化に関する研究: アゾカリックスアレーンのソルバトクロミズム

化学食品部 野村 英作、谷口 久次

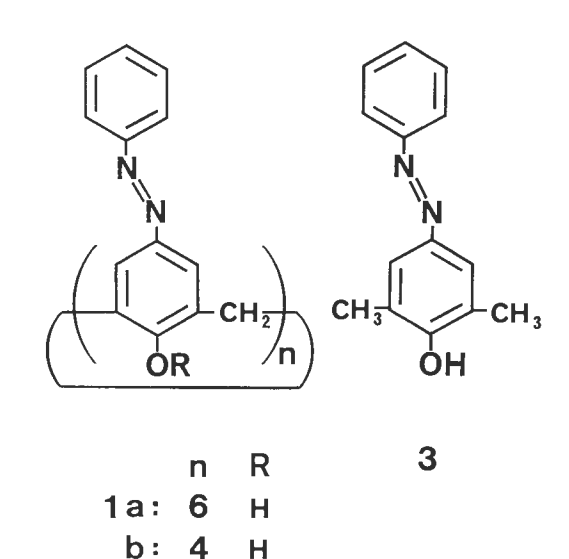
# 要 旨

カリックスアレーンにアゾ基を導入した p-フェニルアゾカリックス [n] アレーン (n=4,6) (1aおよび1b) およびそのモノマーモデルである 2 (1aおよび1b) およびそのモノマーモデルである (1a) を合成した。さらに、(1a) なが1bのヒドロキシル基をメチル化した誘導体 (2a) および (2a) を合成した。 (2a) を合

# 1 緒 言

カリックスアレーンは、パラ置換フェノールと ホルムアルデヒドの縮合によって得られる環状オ リゴマーである。その空孔をもつ構造から、ホス トーゲストケミストリーの分野におけるシクロデ キストリンやクラウンエーテルに匹敵する機能を 持つことが可能である。1)カリックスアレーンの 特徴の一つは数多くの誘導体を得ることができる ことである。すなわち、カリックスアレーンには 機能性基の導入箇所が、芳香環のパラ位とフェノー ル性ヒドロキシル基の2箇所あり、機能化が容易 である。このようにして得られた導 誘体には包 接、イオノホア、触媒などの種々の化学的性質を 有する。 2) アゾ基を有するカリックスアレー ンもその一つで、色素としての有用性のみならず 機能性色素の分野への新しい展開が期待できる。 さらに、アゾカリックスアレーンのアゾ基を還元 することによって、p-アミノカリックスアレー ンを得ることができ中間体としても有用である。 ³) また、我々は、p-フェニルアゾカリック ス〔6〕アレーンの選択的な金属イオンの抽出に ついてもすでに報告した。 4) アゾカリックス アレーンは、脱ブチル化カリックスアレーンへの ジアゾカップリング反応によって容易に得ること ができる。 (-7) 本報告においては、アゾカリッ

クスアレーンの電子スペクトルにおける溶媒効果 を調べた結果、その特異な深色移動が認められた ので報告する。



CH,

2a: 6

# 2 実験方法

p-フェニルアゾカリックス [n] アレーン (n=4, 6) (1aおよび1b) は脱ブチル化したカリックス [n] アレーンにベンゼンジアゾニウムクロリドをカップリングさせて得た。さらに、1aおよび1bのヒドロキシル基にョウ化メチルを作用させて2aおよび2bを得た。2,6-ジメメルー4-フェニルアゾフェノール (3) は2,6-ジメチルフェノールにベンゼンジアゾニウムクロリドをカップリングさせて得た。電子スペクトルは日立556形分光光度計を使用した。溶媒はすべてスペクトル用純溶媒を用いた。

# 3 結果と考察

溶媒の極性パラメータである $E_{T}$ N のに対する 1a および 1b の最大吸収波長のプロットを図 1 に示した。 1a および 1b は $E_{T}$ N の値が約 0.3 において急激な深色移動を示した。一方、モノマーモデル 3 はそのようなスペクトル変化は認めのれなかった。これらのことは、 1a および 1b ののことは、 1a および 1b ののことがでいるということを示している。しかし、図 2 に示したようにヒドロキシル基をメチル化した 2 a および 2 b は図 1 のような変化は示さなかった。このことは、 1a および 1b の 深色移動はアゾカリックスアレーンのヒドロキシル基と深い関連を示唆する。すなわち、カリックスアレーンは、よく知られているようにそのヒドロキシル基間に

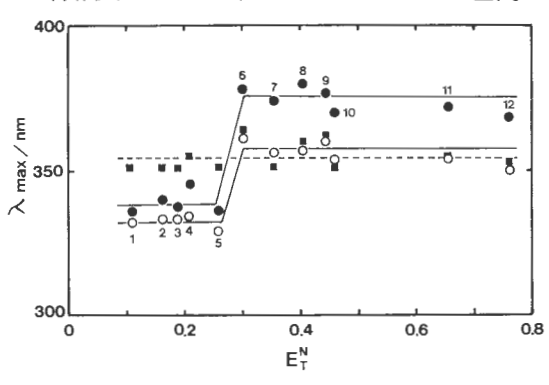


図 1 溶媒のE <sup>T N</sup>値に対するアゾカリックスア レーンの最大吸収波長 (λ max) の変化:

1a (●)、1b (○)、3 (■):

溶媒、1,ベンゼン; 2,ジオキサン; 3,クロロベンゼン; 4,THF; 5,クロロホルム; 6,ピリジン; 7,アセトン; 8,DMF; 9,DMSO; 10,アセトニトリル; 11,エタノール; 12,メタノール

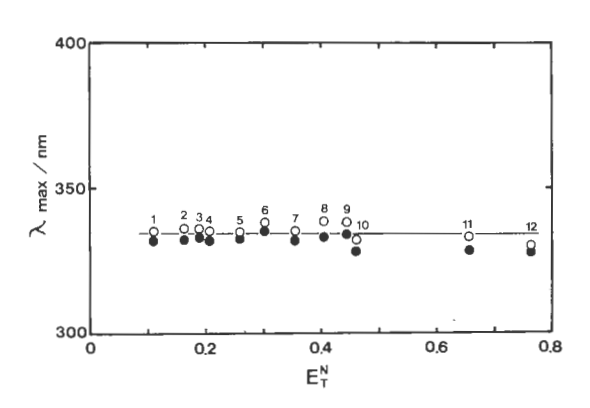
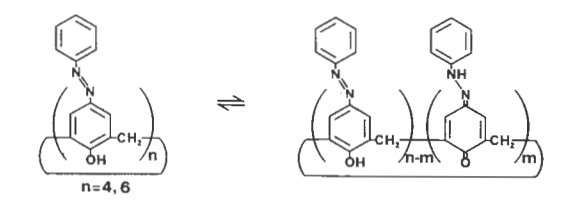


図 2 溶媒のE T N値に対するO - メチル化アゾカ リックスアレーンの最大吸収波長(λ max)の変 化:

4ーフェニルアゾー1ーナフトールは溶媒の極性の増加によって、互変異性平衡がキノンーヒドラゾン形に移行することが知られている。 \*\*\* た、新海らは、水溶性のpー(4ートリメチルアンモニオフェニルアゾ)カリックス〔4〕アレーンは互変異性を伴ったpHに依存したスペクトル変化を示すことを報告した。 \*\*\* アゾカリックス ないし、溶媒の極性に依存した互変異性である。しかし、溶媒の極性に依存した互変異性に基いたスペクトル変化は起こらず、図1に示したような最大吸収波長の深色移動のみが認められた。モノマーモデル3においてもDMFをのぞいて互変異性に基くスペクトル変化は示さなかった。



Scheme 1

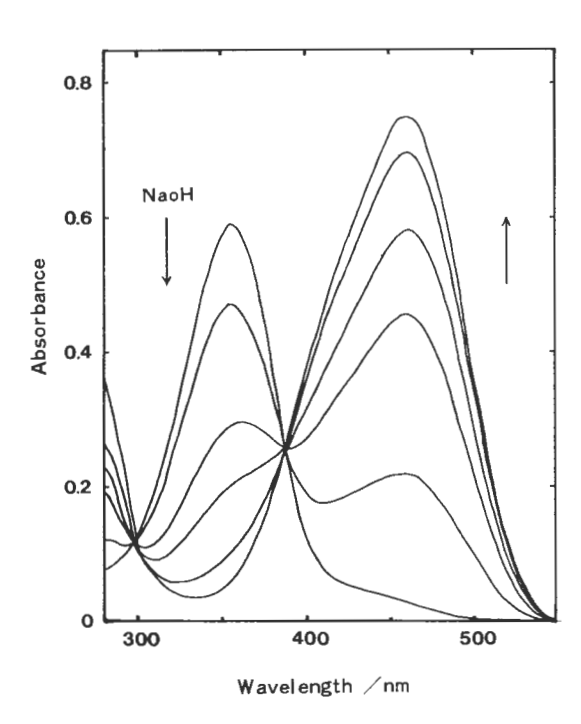


図3 3 の電子スペクトルにおける NaOH の添加効果:

溶媒、ジオキサン-水(1:1,w/w)

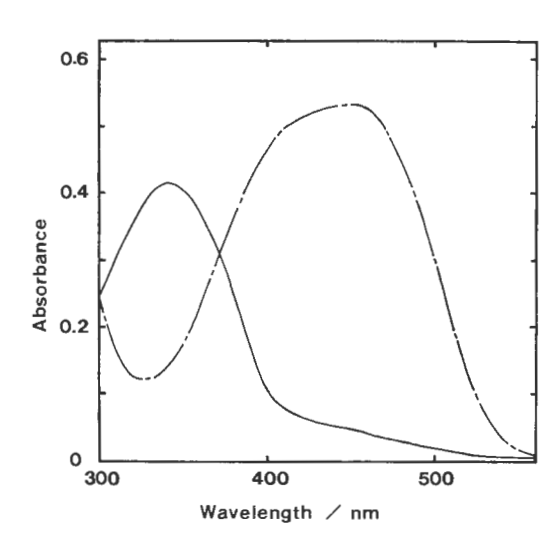


図 4 1 aの電子スペクトルにおける NaOH の添加効果:

溶媒、ジオキサン-水(1:1,w/w)、NaOHな し (-)、添加 (---)、 しかしながら、図3に示したように1aの電子スペクトルはNaOHの存在化で変化した。また、モノマーモデル3も図4に示したようにNaOHの添加で356nmの吸光度が減少し、460nmの吸光度が増加した。さらに、388nmに等吸収点が存在した。この3のスペクトル変化はアゾ(356nm)/ヒゾラゾン(460nm)互変異性平衡に基くものである。したがって、1aのスペクトル変化も同様に互変異性によるものと考えられる。1aの450nmにおける吸光度の増加はアゾ形からヒドラゾン形への移行を示すものである。

# 対 対

- C.D.Gutsche, "Calixarenes, Monographs in Supramolecular Chemistry", ed by J.F. Stoddart, The Royal Society of Chemistry, Great Britain (1989).
- 2) 野村、谷口、和歌山工業技術センター技術情報、No. 162-163, 1989.
- Y.Morita, T.Aagawa, Y.Kai, N.Kanehisa, N.Kasai, E.Nomura, and H.Taniguchi, Chem.Lett., 1989, 1349.
- 4) E.Nomura, H.Taniguchi, and S.Tamura, Chem.Lett., 1989, 1125.
- S.Shinkai, K.Araki, J.Shibata, andO.Manabe, J.Chem.Soc., Perkin Trans. 1, 1989, 195.
- 6) S.Shinkai, K.Araki, J.Shibata, D.Tsugawa and O.Manabe, J.Chem.Soc., Perkin Trans. 1, 1990, 3333.
- S.Shinkai, K.Araki, J.Shibata, D.Tsugawa and O.Manabe, Chem.Lett., 1989, 931.
- C.Reichardt, "Solvent Effects in Organic Chemistry", 2 nd ed, Verlag Chemie, Weinheim (1988), pp 365-371.
- 9) S.Kishimoto, S.Kitahara, O.Manabe, and H.Hiyama, J.Org.Chem., 43, 3882 (1978).

# カリックスアレーン誘導体に関する研究: タコ型カリックスアレーンを触媒とする エステル生成反応(概要)<sup>1)</sup>

化学食品部 谷口 久次、野村 英作 三木理研工業㈱ 川口 幸一 大阪府立大学 大辻 吉男

カリックスアレーンはpー置換フェノールとホルムアルデヒドの縮合反応によって合成される大環状化合物である。<sup>2)</sup> これまでに、種々のカリックスアレーンが合成されてきた。<sup>5)</sup> カリックスアレーンはその分子内にシクロデキストリンのような空孔を有する。そのため、酵素類似体としての可能性が示唆されている。<sup>()</sup>

一方、多くの修飾クラウンエーテルがホストー ゲスト化学の新しい種類の機能を展開するために、 合成されてきた。<sup>5)</sup>

カリックスアレーンとクラウンエーテルを結合した化合物は優れた酵素類似体になるばかりでなくホストーゲスト化学の分野の新しいホスト化合物になり得るに違いない。この考えのもとで、われわれは、カリックスアレーンにトリエチレングリコールを結合させた化合物(「タコ型カリックスアレーン」と呼ぶことにする)を選んだ。

今回は、ハロゲン化アルキルと有機酸の塩の反応において、タコ型カリックスアレーン(図1)

$$CH_3$$
 $H_3C-C-CH_3$ 
 $CH_2$ 
 $D$ 
 $CH_2$ 
 $D$ 
 $CH_2$ 
 $CH_2$ 
 $CH_2$ 
 $CH_3$ 
 $CH_2$ 
 $CH_3$ 

1. n=6 m=3

図1 タコ型カリックスアレーン

が優れた触媒となるかどうかを検討したので、ここにその概要を報告する。

タコ型カリックスアレーンの触媒能力を他の種々の触媒と比較検討するため、式(1)の反応を用いて、生成するエステルの収率を測定した。 $p-O_2N-C_6H_4-CH_2Br+CH_3COOK$ →

 $p-O_2N-C_6H_4-CH_2-O-COCH_3$  (1)

その結果、タコ型カリックスアレーンは式(1)の反応において、四級アンモニウム塩やクラウンエーテルと同等かそれ以上の触媒能力を有することが認められた。また、タコ型カリックスアレーンは高温においても分解することなく、回収して、何回も使用できることがわかった。

## 油 文

- 1)特許出願中(和歌山県と三木理研工業㈱の共 同出願):特願平3-○○○○)
- 2) C.D.Gutsche, "Calixzarenes, Monogaraphs in Supramolecular Chemistry," ed by J.F. Stoddart, the Royal Society of Chemistry, Cambridge (1989), vol. 1.
- a) E.Nomura, H.Taniguchi, and S.Tamura, Chem.Lett., 1989, 1125;
  - b) Y.Morita, T.Agawa, Y.Kai,N.Kanehisa, N.Kasai, E.Nomura, andH.Taniguchi, Chem.Lett., 1989, 1349;
  - c) S.Sinkai, K.Araki, M.Kubota, T.Arimura, and T.Matsuda, J.Org.Chem., 56, 295 (1991).etc
- 4) C.D.Gutsche, Acc.Chem.Res., 16, 161 (1983).
- 5) F.Vogtle and F.Weber, "Host Gest Complex Chemistry Macrocycles, "Springer-Ver-lag, Berlin (1985).

# 梅酒の高品質化に関する研究 (1)

# -最適発酵条件の検討-

化学食品部 高辻 渉、池本 重明、南 広己 木の国酒造㈱ 阪口 奉平

# 要 旨

バイオリアクターを使って梅酒(リキュール)を発酵させ、ワイン風味の梅酒を開発する研究を行った。まず最適発酵条件を調べるために、使用酵母、原料梅酒(以下基質という。)、発酵温度について検討した。酵母の発酵力は、P-1, OC-2 とも優れていた。

酸母を固定化した場合、酵母P-1は発酵温度が高くても官能的に優れた発酵梅酒を作ることができた。基質となる梅酒は、市販梅酒を1.5~2倍に希釈したものが適していた。発酵温度は低温の方が、発酵速度は遅いが官能的に優れたものが出来た。しかし、固定化酵母を用いた場合には、25℃で発酵させても良好な梅酒が出来た。

### 1 緒 言

梅は昔から保存健康食品として親しまれており、 その代表的な加工品に梅干しと共に梅酒がある。 この梅酒は、梅の持つヘルシーさとフルーティー さを兼ね備え、甘く、主に食前酒として飲まれて きた。しかし近年の健康食品ブーム、また本県に おいてはオレンジの自由化によるみかん農家の転 作などにより梅の生産が増大し、今後は梅の供給 過剰の状態になると思われるため梅酒にもその市 場拡大が必要となってきた。女性層が好む梅酒の 香味と甘味は、酒飲層には量が飲めない最大の原 因である。そこで我々は、固定化酵母を充填した バイオリアクターを使って、従来の梅酒を適当な 濃度に希釈して発酵を行うことにより、糖分の減 少とアルコール生成による相乗のドライ化をはか り、発酵酒の持つワイン風味を付与した梅酒の開 発を行った。今回は、梅酒発酵に関する最適条件 について報告する。

#### 2 実験方法

#### (1) 酵 母

本センターが糖抽出梅果汁より分離した酵母P-1,清酒酵母協会7号(K-7)、ワイン酵母OC-2の3種類を用いた。

# (2) 固定化酵母の調整

酵母1白金耳を麹汁 (ボーリング10) 50 ml に加え、48 時間,25℃,振とう培養を行った。こ

の前培養液 1 ml を 2 %-アルギン酸溶液 100 ml に懸濁し、この懸濁液を 0.5 M 塩化カルシウム溶液 1000 ml 中に滴下して酵母を包括した粒子を作った( $\emptyset = 2 \text{ mm}$ )。さらに粒子を完全にゲル化させるためにこの塩化カルシウム溶液 と 4 時間接触させた。その後ゲル粒子 20 mgを 150 ml の麹汁(ボーリング 10, 0.18 M 塩化カルシウムを含む)に入れ、48 時間,25 C,振とうし、本培養を行ったものを使用した。

# (3) 発酵試験

バッチ法で行った。三角フラスコに入れた梅酒の希釈液に上記の酵母または固定化酵母を加え、 1日に2回程度振りまぜる以外は恒温器中に入れて静置した。

## (4) 分析方法

アルコール:酸化法によった。

直接還元糖: フェーリング・レーマン・ショー

ル法によった。

グルコース: YSI-モデル27シュガーアナライ

ザーにより測定した。

酸 度 : 試料 10 ml を中和するのに必要な

0.1 Nの水酸化ナトリウム量 (ml)

Brix : アタゴ手持屈析計により測定した。

生 菌 数: 平板培養法で測定した。ただし、

固定化酵母は pH 6.9 のリン酸緩衝

液中に入れ溶解し測定した。

# 3 結果及び考察

(1) 梅酒の希釈率と酵母の発酵力について Table 1 に示した梅酒を希釈倍数 1, 1.5, 2.0, 3.0, 倍に調整したもの 500 mlに、各酵母を 1 白金耳加えて 20℃、バッチ法で発酵させた。その 結果を Fig. 1 に示した。

Table 1 Composition of Ume Sake

| Alcohol (ml/100 ml)                 | 14.8 |
|-------------------------------------|------|
| Direct Reducing<br>Sugar (g/100 ml) | 18.1 |
| Glucose (g/100 ml)                  | 9.4  |
| Brix (%)                            | 23.8 |
| Acidity (ml/10 ml)                  | 13.0 |
| рН                                  | 2.75 |

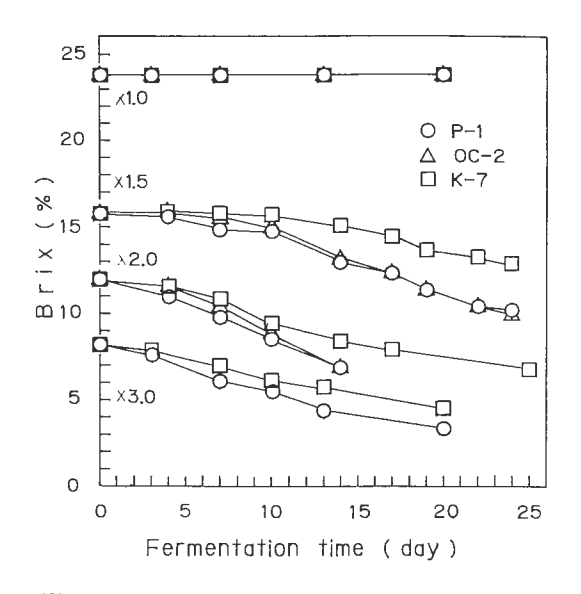


Fig. 1 Comparison of Fermentation Ability of Yeasts in Diluted Ume Sake (T= 20°C)

梅酒原液では、アルコール、糖、酸が高すぎるためにいずれの酵母でも発酵することが困難であった。 3 倍希釈液では、梅本来のフルーティーさが薄まり、発酵が進むにつれて水っぽさが強くなった。 基質としては、梅酒の  $1.5 \sim 2$  倍希釈液が適当であると思われる。酵母の発酵力を比較すると、P-1 と OC-2 がほぼ同程度の発酵力を示したが、K-7 は他の 2 株に比べ劣っていた。

# (2) 発酵温度の検討および遊離酵母と固定化酵 母の発酵力の比較

3種類の酵母液10 ml(生菌数4.8×10°個)および2種類の固定化酵母10g(生菌数3.4×10°個)をそれぞれ2倍希釈の梅酒600 mlに入れバッチ法で発酵試験を行った。その結果をFig.2 に示した。また、発酵試験終了後の梅酒をミリポアデプスフィルターで濾過し、本センター研究員4名により官能試験を行った結果をTable2に示した。

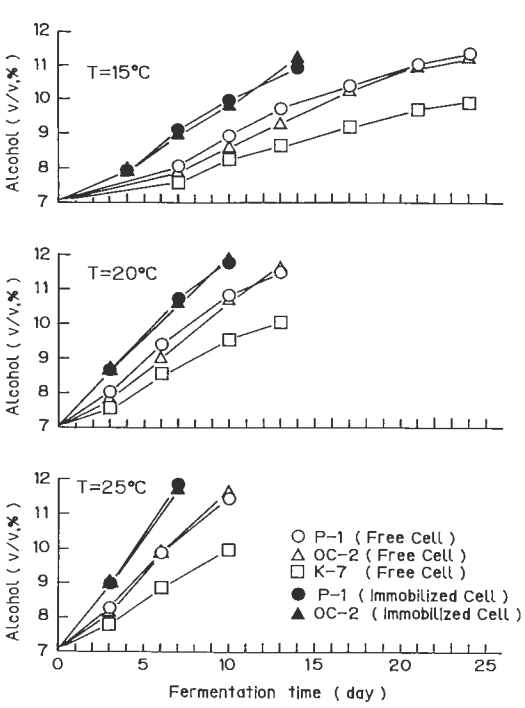


Fig. 2 Effect of Fermentation Temperature

Table 2 Sensory Test of Developed Ume Sake

| Yeasts           | Fermentatio | n Tempera | ture (°C) |
|------------------|-------------|-----------|-----------|
| i easts          | 15          | 20        | 25        |
| P-1 (Free Cell)  | Α           | A         | В         |
| OC-2 (Free Cell) | В           | А         | В         |
| K-7 (Free Cell)  | А           | В         | В         |
| P-1 (lmmo.Cell)  | В           | В         | В         |
| OC-2 (lmmo.Cell) | С           | С         | A         |

A: good, B: ordinary, C: bad

基質のアルコール分を7(v/v,%)から11 (v/v,%)まで増加させるのに要する日数は、遊離酵母(P-1,OC-2)では、15  $^{\circ}$   $^{\circ}$  の場合に20日以上,20  $^{\circ}$   $^{\circ}$  では11日,25  $^{\circ}$  では9日であった。K-7 はいずれの温度においても発酵力が他の2株より劣っていた。固定化酵母ではその必要発酵日数は、15  $^{\circ}$   $^{\circ}$  で14日、20  $^{\circ}$  で8日、25  $^{\circ}$   $^{\circ}$  で6日と遊離のものに比べて発酵力(1日当りの生成アルコール量)が1.5倍程度強くなった。このように生菌数が同程度にもかかわらず固定化酵母の発酵力が優れている原因として、固定化することにより酵母が外部条件の影響を受けにくくなり、高アルコール、高酸度と通常では発酵しにくい条件下でもその能力を十分発揮できたものと考えられる。

官能的には、遊離の酵母を用いた場合は 15, 20℃で発酵させた方が梅の持つフルーティーさが 残り香味が優れていた。しかし、固定化酵母を用いた場合には25℃で発酵させた場合でも、ワイン風味に梅の良香が加わった香味の優れたものが得られた。逆にOC-2の固定化酵母においては、15,20℃で発酵させたものは、酵母臭、ムレ香等が感じられた。

## 3 まとめ

- 1) 発酵梅酒の基質としては、市販梅酒を  $1.5\sim$  2 倍希釈したもの(アルコール分が 10 v/v,% 未満)が良い。
- 2) 固定化酵母は遊離酵母より発酵力が強いため、 バイオリアクターにより発酵生産効率がアップで きるものと考えられる。
- 3) バイオリアクターによる発酵温度は、25℃で行い、原料と酵母の接触時間をできるだけ短くした方が官能的に優れたものが出来る。

# 梅酒の高品質化に関する研究 (2)

# -梅果汁からの酵母の分離-

化学食品部 池本 重明、高辻 渉、南 広己 木の国酒造㈱ 阪口 奉平

# 要 旨

梅酒を発酵させ、ワイン風味の新しい梅酒造りの検討を行っている。今回このような発酵条件に適した酵母を得るため、梅果汁から新しく酵母の分離を試みたので報告する。

梅果汁原液及びその2倍希釈液から、それぞれ6株、10株の酵母を分離した。原液から分離した株はすべて同じような性質を示し、梅酒の発酵力は微弱であった。2倍希釈液から分離した10株も同じような形態、性質を示したが上記の6株とは異なり、強い発酵力を示した。このように分離源によって異なった菌株を分離することができ、それぞれ新しい製品開発に利用できる可能性がある。

# 1 緒 言

発酵によって新しい製品を得る場合、その使用する酵母の選択は重要である。今回最終製品の目標は梅のもつ爽やかさを残し、発酵によるドライ化とマイルド感を付与することと位置づけ、前報では当センター保存菌株を用いて最適発酵条件の検討を行った。今回はさらに目的にあった菌株を得るため、梅果汁から新しく酵母の分離を試みた。

## 2 実験方法

#### (1) 酵母の分離

麹汁培地(ボーリング 10)と TTC 下層培地 (ぶどう糖 1 %、ペプトン 0.2 %、酵母エキス 0.1 5 %、KH<sub>2</sub>PO<sub>4</sub> 0.1 %、MgSO<sub>4</sub>・7 H<sub>2</sub>O 0.04 %、 寒天 2 %、pH 5.5~5.7)の 2 種類の培地を用い た。

### (2) 同定

形態の観察は主に麹汁培地を用い、子嚢胞子の観察には改良 Gorodkowa 寒天培地(ペプトン 1%、NaC 10.5%、ぶどう糖 0.1%、寒天 3%)を用いた。 子嚢胞子の染色はマラカイトグリーンによる染色法を用いた。

糖質の資化性試験はぶどう糖、ガラクトース、 ショ糖、麦芽糖、乳糖の5種類について行った。 (、2)

# (3) 発酵試験

梅酒の 2 倍希釈液 (Brix 12.8 %、酸度 5.7、直

接還元糖 10.1 %、アルコール 7.4 %)を用いて 分離株の発酵試験を行った。20℃で静置培養を行 い、Brix の値の変化を観察した。

## 3 結果及び考察

梅果汁原液(Brix 54.9 %、酸度 34.2、直接還元糖 57.8 %)がやや濁り、ガスの産性が認められたので、この原液から酵母の分難を試みた。 TC下層培地に出現したコロニーは非常に小さなコロニーばかりで、検鏡により形態観察を行ったところ、すべて酵母であった。この原液からは 6 株単離した。

2倍希釈液からも同じように分離を試み、ごく 普通の酵母様コロニーを得た。コロニー形態は2 種類みられ、半レンズ状(convex)で周縁が全 縁(entire)、輝光(glistening)、半透明のコロニーを選び、10株単離した。もう1種類の白い 不透明(opaque)な鈍光(dull)の光択のコロニー は産膜酵母であった。

麹汁培地には産膜酵母だけが生育し、目的とする酵母を分離することができなかった。

このようにして分離した 16 株は、検鏡による 形態観察では球形ないし楕円形で、多極出芽方式 によって増殖する。この栄養細胞を見る限りでは 差はない。(写真 a, b) マラカイトグリーンによ る子嚢胞子染色では 2 倍希釈液から分離した 10 株は球形の子嚢胞子の存在を確認することができ た。原液から分離した6株については確認することができず、子嚢胞子の存在は不明である。

糖類の資化性試験では原液から分離した6株は ぶどう糖のむに生育し、他の4種類の糖は資化し なかった。2倍希釈液から分離した10株は乳糖 を除いた他の4種類の糖を資化した。これは清酒 酵母やP-1酵母³)の資化性パターンに一致した。

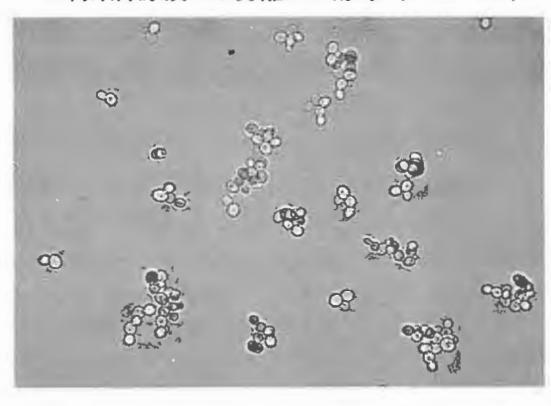
これらのことから 2 倍希釈液から分離した 10 株は球形の子嚢胞子を形成して、強い発酵能を有し、乳糖を資化しないことから Saccharomyces 属の酵母であると考えられる。原液から分離した 6 株については現在検討中である。

梅酒の2倍希釈液を用いた発酵試験では原液から分離した株は約1ヶ月の培養でBrixの値を2割減じる程度の弱い発酵力であった。一方2倍希釈液から分離した株は。対照株として用いたP-1酵母やワイン酵母のOC-2と同じような強い発酵力を示した。(図1)

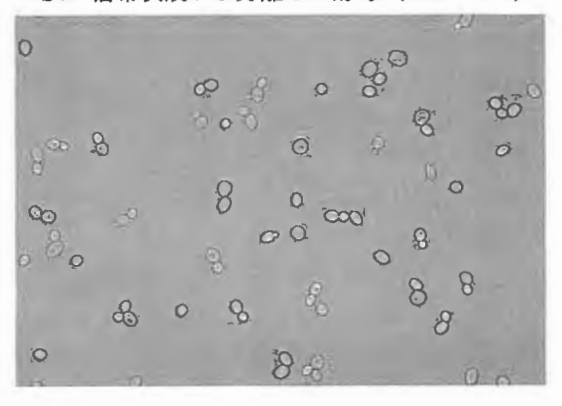
# 分離酵母の形態(写真)

麹汁培地で30℃、1 晩培養した栄養細胞 (400 倍、スケールは20 μm)

a.梅果汁原液から分離した酵母(K1-P1)



b.2倍希釈液から分離した酵母(K2-R2)



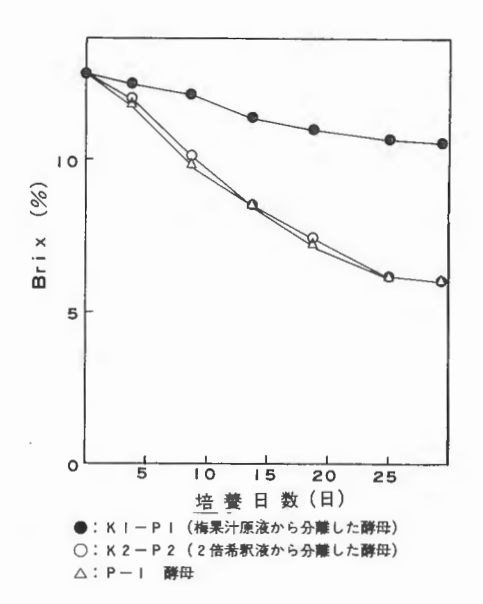


図1 分離酵母による発酵比較試験

# 2 まとめ

梅果汁原液及びその2倍希釈液から合計16株の酵母を分離した。原液から分離した6株は発酵力が弱く、糖質の資化性も弱い一群であった。

2倍希釈液から分離した10株は、P-1酵母などと同じような性質を示しSaccharomyces属の酵母であると考えられる。

### 油 文

- 1) 飯塚 広、後藤昭二 : 酵母の分類同定法、 第2版、東京大学出版会、(1973)
- 1)長谷川武治: 微生物の分離と同定、東京大 学出版会、(1975)
- 3)池本重明、南 広己:和歌山県工業試験場報告(63年度) P.49

# 清酒中に残存するグルコアミラーゼの 除去に関する研究

- キトサン樹脂によるグルコアミラーゼの吸着-

化学食品部 高辻 涉 大阪府立大学 吉田 弘之

# 要 旨

清酒中に残存する酵素グルコアミラーゼを除去するためにタンパク吸着剤として利用されているキトサン樹脂を使用した。まず、キトサン樹脂に対するグルコアミラーゼの吸着特性を調べる目的として、清酒と同じpHにおけるグルコアミラーゼ溶液の平衡吸着実験をおこなった結果、キトサン樹脂はグルコアミラーゼを良く吸着することがわかった。しかし、アルコールによって吸着力はかなり影響を受けアルコール濃度20%では、その飽和吸着量は10分の1にまで低下した。

## 1 緒言

清酒は一般に火入れ処理後貯蔵されるが、近年 ブームとなっている生酒はこの火入れ処理を行わ ないため、貯蔵・流通時に酒質が変化し、「ムレ 香」、「甘ダレ」等の香味の劣化が問題となる。

これは主に清酒中に存在する酵素グルコアミラーゼの作用による。またこの酵素は、清酒の蛋白混 濁の主体でもあると秋山<sup>1)</sup>が報告している。

生酒中の残存酵素を除去する研究として、近藤ら<sup>2)</sup>,岡本ら<sup>3)</sup> は限外濾過処理(UF処理)を行うことにより各種酵素活性が高率で除去できると報告している。しかし、UF処理は、コストが高くつくこと、アミノ酸度が低下するため酒質が淡麗化するなどの問題がある。原ら<sup>4)</sup> は、高圧処理を行った結果プロテアーゼ、酸性カルボキシペプチダーゼは、加圧失活されやすいが、グルコアミラーゼは失活しにくいと報告している。

筆者らは、吸着法により生酒中のグルコアミラーゼを酒造時期の温度である10℃前後において、低コストで効率よく除去することを目的に研究を行った。今回は、グルコアミラーゼ純粋溶液における吸着特性について報告する。

#### 2 実験方法

#### 1) グルコアミラーゼの定量

バイオラッドプロテインアッセイキッドを使い、

試料 4 ml に染色液 1 ml を加え 10 分後、595 nm の吸光度を測定し検量線よりグルコアミラーゼ量を求めた。ただし、清酒中のグルコアミラーゼの定量はその活性より換算した。活性の測定法は、岩野ら50の方法に従って測定した。グルコースの定量は、YSI-モデル 27 シュガーアナライザーにより測定した。

### 2) 吸着剤

使用したキトサン樹脂(富士紡績)および醸造 用活性炭白鷺(武田薬品)の諸物性を Table 1 に 示した。

Table 1 樹脂の諸物性値

| RESIN          | 直径(cm) | 見掛け密度<br>(kg/d㎡) | 空間率(-)  |
|----------------|--------|------------------|---------|
| スルホンカ<br>SU 03 | 0.0273 | 1.107            | 0.921   |
| CC-T 05        | 0.0504 | 1.280            | 0.694   |
| BCW 3510       | 0.1150 | 1.060            | 0.862   |
| カッセイタン         | POWDER | 0.180            | * * * * |

# 3) キトサン樹脂のコンディショニング

スルホン化 SU 03、CC-T 05 を直径 1 cmのカラムに 10 cm の高さに充填し 0.5 N-HCI 溶液を 2 日間で  $5\ell$  流し樹脂を  $H^+$ 型に調整した。その後蒸留水を流し、洗液が中性になるまで洗浄した。

BCW 3510 は水洗のみ行った。

# 4)吸着平衡実験

平衡実験はすべてバッチ法で行った。吸着剤を 溶媒と 24 時間接触させた後、グルコアミラーゼ 溶液と 10℃、4 日間以上反応させた。

# 3 結果及び考察

# 1) 清酒中に残存するグルコアミラーゼの定量

平成2年度の清酒鑑評会出品酒14点について、 残存するグルコアミラーゼ活性を測定した結果を Table2に示した。

Table 2 清酒中の Glucoamylase 活性

| No. | Actibity (U/ml) | No. | Actibity (U/ml) |
|-----|-----------------|-----|-----------------|
| 1   | 0.44            | 8   | 0.22            |
| 2   | 0.44            | 9   | 0.61            |
| 3   | 0.88            | 10  | 0.11            |
| 4   | 1.54            | 11  | 0.77            |
| 5   | 0.44            | 12  | 0.28            |
| 6   | 0.11            | 13  | 0.61            |
| 7   | 0.33            | 14  | 0.39            |

グルコアミラーゼ活性の高い清酒では、1 ml当り1.54 U の活性があった。この活性量は、今回我々が使用した試薬(グルコアミラーゼ活性:66.84 U/mg)の濃度に換算すると、0.023 g/d㎡に相当する。

# 1) 酢酸バッファーの中でのグルコアミラーゼの 吸着平衡

Table 3に示したグルコアミラーゼを 0.05 Mの 酢酸溶液(pH 4)に溶解し、 3 種類のキトサン 樹脂(BCW 3510, CC-T 05, スルホン化 SU 03) および活性炭と接触させ吸着平衡関係を求めた。その結果をFig. 1 および Fig. 2 に示した。各曲線はLangmuir式に基づく等温線であり実験値と良く一致している。得られた平衡定数 K と飽和吸着量Qを Table 4 に示した。Kの値はスルホン化 SU 03、CC-T 05、活性炭と同程度で、低濃度のグルコアミラーゼでもを良く吸着できることがわかる。Qの値はスルホン化 SU 03 が他の樹脂より10 倍程度大きい値を示したが、グルコアミラーゼ溶液濃度が 0.03 g/d㎡ より高いところで吸着

Table 3 Glcuoamylase の特性

| 最適 pH   | 4.5-5.0  |
|---------|----------|
| 最適温度    | 60°C     |
| 安定pH 範囲 | 4.0-8.5  |
| 安定温度範囲  | 45℃以下    |
| 等電点     | 8.5      |
| 分子量     | 約 70,000 |

Table 4 平衡定数および飽和吸着料の比較

| RESIN          | CO(g/dm³) | K(dm³/g) | Q(g/dm²) |
|----------------|-----------|----------|----------|
| スルホンカ<br>SU 03 | 0.10      | 100      | 91       |
| CC-T 05        | 0.10      | 100      | 10.8     |
| BCW 3510       | 0.10      | 10       | 7.67     |
| スルホンカ<br>SU 03 | 0.05      | 350      | 70       |
| CC-T 05        | 0.05      | 300      | 8.96     |
| カッセイタン         | 0.05      | 430      | 3.83     |

量が低下する傾向が現れた。

# 3) グルコアミラーゼ吸着におけるアルコール濃度の影響

グルコアミラーゼ酢酸溶液(pH 4 )に醸造用アルコールを添加した場合の吸着平衡関係をFig. 3に示した。アルコール濃度が高まるにつれて吸着力が低下し、アルコール濃度 20 %の飽和吸着量はアルコール濃度 0 %時の 10 分の 1 にまで減少した。

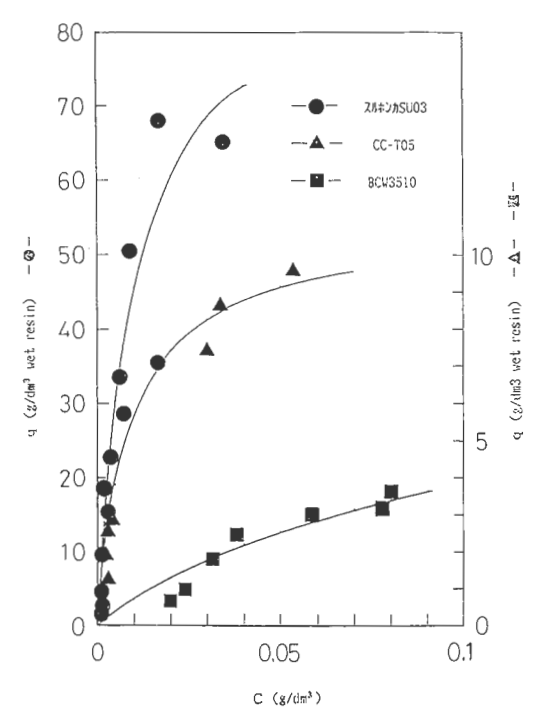


Fig. 1 キトサン樹脂に対するグルコアミラーゼ の吸着平衡関係

グルコアミラーゼ初濃度: 0.1g/dm

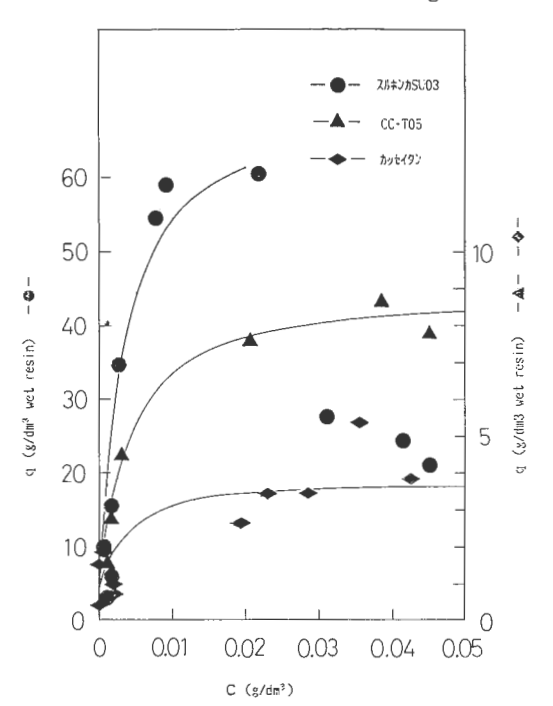


Fig. 2 キトサン樹脂および活性炭に対するグル コアミラーゼの吸着平衡関係

グルコアミラーゼ初濃度: 0.05 g/d㎡

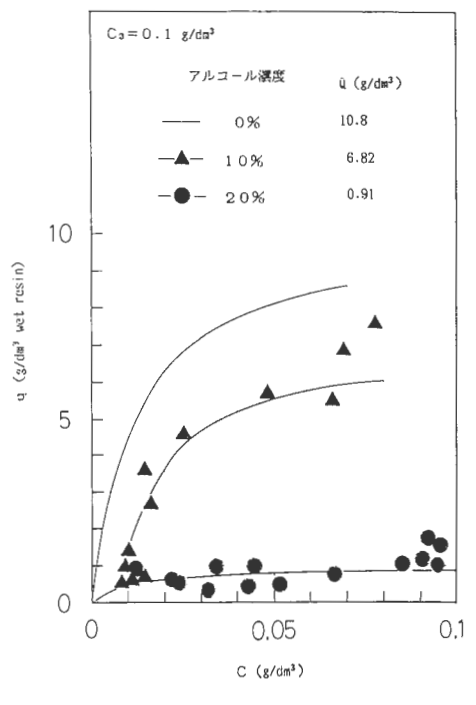


Fig. 3 CC-T 05 樹脂に対するグルコアミラーゼの吸着平衡に及ぼす濃度の影響

### 4 まとめ

キトサン樹脂は、グルコアミラーゼを良く吸着することがわかった。しかしその吸着力はアルコール濃度にかなり影響を受け、アルコールが20%程度含まれている原酒では、キトサン樹脂のグルコアミラーゼ吸着力はかなり低下するものと思われる。

# 対 対

- 1) 秋山裕一; 農化, 36, 10,825 (1962)
- 2) 近藤恭一,大場俊輝,中村欽一;醸協,**79**, 4,267 (1984)
- 3) 岡本竹巳,小林有一,湯田定利,田代道夫; 栃木県食品工業指導所研究報告,P.34, (19 87)
- 4)原 昭弘,長浜源壮,大林 晃,林 力丸; 農化,64,1025(1990)
- 5)岩野君夫,風間敬夫,布川弥太郎;醸協,**71**,5,383(1976)

# メリヤス針曲がり修正機の開発

機械電子部 前田 裕司、藪内 武

要 旨

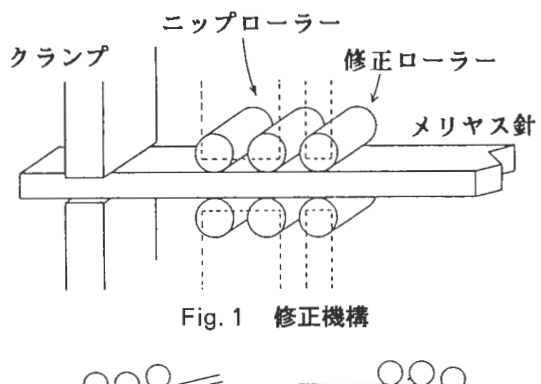
本装置はメリヤス針の曲率データを基に、コンピュータプログラム、2個のステッパ(ステッピングモーター)、修正メカニズム等によって、針の微小な曲がりを自動修正するものである。焼き入れ等の熱処理を済ませた針には弾性があり、曲がりを修正する場合、塑性領域において微小な曲がりに応じた微妙な変形を与え、その残留歪によって結果的に曲がりを修正しなければならない。針に変形を与える操作部は弾性領域において高速移動をし、塑性領域内において微小な変位をするが必要である。針の長さ方向に移動させるステッパと、その地点での曲がりに応じた変形量を与えるステッパの、2軸協調制御をさせる新たなステッパ用パルス発生器を開発した。

### 1 まえがき

和歌山県の地場産業の一つであるメリヤス生地 製造業で使用されている工業用編針、すなわちメ リヤス針はメーカー側でもユーザー側でも大抵目 視検査と手作業による修復が成されている。しか し数十ミクロンの微小な曲がり検査であるため個 人差による品質のバラツキ、同一検査者でも疲労 によるバラツキがあり、更に人手による腐食の問 題も生じる。近年熟練者の不足、人権費の高騰等 により検査修正工程の自動化省力化が望まれてい た。我々はメリヤス針の曲がり検出自動修正装置 のプロトタイプを開発し昭和60年に発表した。 その装置によって評価試験を行い欠点を拾い上げ、 その後実用化に向けて曲がり検出器の高機能化及 び修正動作の高速化の開発を行ってきた。曲がり 検出器の高機能化については以前に報告したい。 本報告では、修正動作の高速化について述べる。

## 2 修正機構と修正動作の概要

Fig. 1 に示す修正機構において、メリヤス針本体の一端をクランプで把持し針を固定する。次に上下 2 対のニップローラーと 1 対の修正ローラーで針を挟みローラー全体を針の方向に掃引させる(引っ張る)。更に修正ローラーは針の曲がりを修正するために、ニップローラーに対し Fig. 2 のごとく針の曲がりに応じて上下にも移動させる。これらローラー全体の掃引と修正ローラーの上下







下に凸に曲げる場合

上に凸に曲げる場合

Fig. 2 **修正**ローラーの変位

運動は、ステッピングモーターの回転運動をボールネジ等で並進運動に変換することで成されており、その動作は基本的には2次元座標位置決め技術に基づく。例えばメリヤス針本体の形状がFig.3の上のグラフの様になっている場合、曲がり検出装置によって曲率に相等する数値が下のグラフの様に求まる。被測定針が修正装置に供給されクランプが針を固定した後ローラー全体を左から右に掃引させる。曲率がゼロなら修正ローラーは上下変位せず縦軸の原点で留まったままとし、針が下に凸に曲がっている地点に来ると曲率は正の値

であるから、その量に応じて修正ローラーを下に 移動させる。曲率がゼロになるにつれて修正ロー ラーを原点にもどし、曲率が負の地点に来ると修 正ローラーを上に移動させる。Fig. 3 の場合では

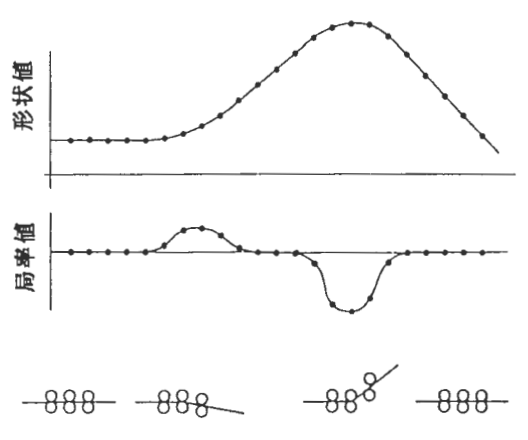


Fig. 3 修正動作

上に凸に曲がっている地点の曲率の絶対値の方が、下に凸に曲がっている地点のものより大きいので、修正ローラーの上下の変位置もそれだけ大きい。この様にして一回の掃引でメリヤス針本体の曲がりを修正する。

ところで本修正装置にかけるメリヤス針は焼き

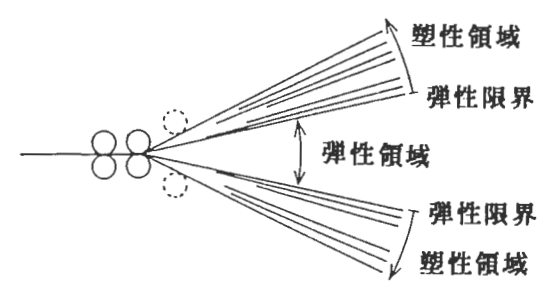


Fig. 4 弾性領域の存在

入れ等の熱処理を済ませた針であるため、修正ローラーで修復する場合 Fig. 4 で示す様な弾性領域が在存することに注意しなければならない。すなわち針の修正のための変形が弾性領域内であれば、ニップローラーを解除すると針は元の状態にもどり、修正できたことにならない。換言すれば修正のための変形は塑性領域内で成さねばならない。弾性領域と塑性領域の境界を弾性限界とすれば、修正ローラーは常に曲率の正負に応じて弾性限界に当たる正負のバイアス分(フックバイアスと呼ぶ)の変位をした後、塑性領域内で曲率の値に応じた変形を加えねばならない。給局 Fig. 5 の上のグラフに示す様な曲率に対し、修正ローラーは下のグラフのごとく掃引と共に上下変位の動作をすることになる。

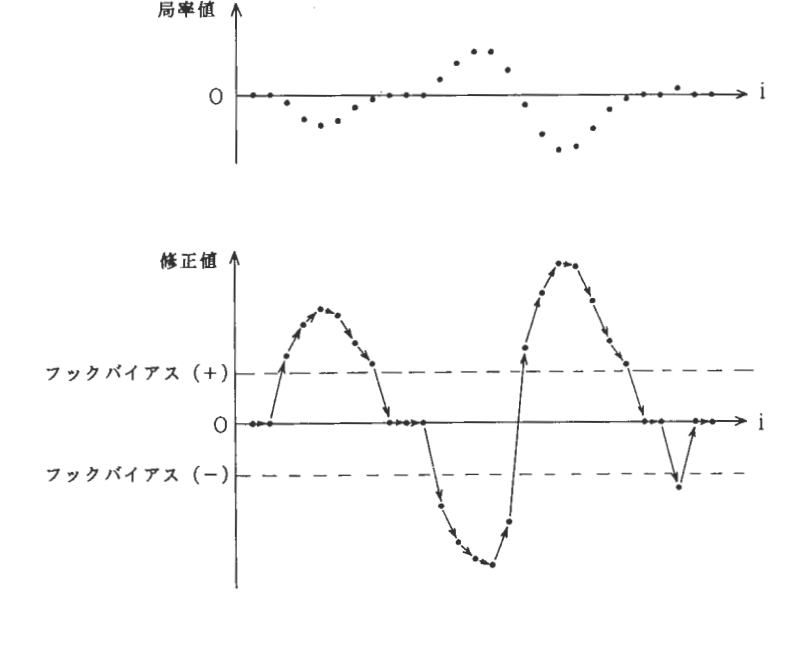


Fig. 5 フックバイアスを考慮した修正ローラーの動き

## 3 修正動作の高速化

ローラ全体の掃引と修正ローラーの上下運動は2個のステッパ(ステッピングモーター)の回転運動で成される。また各ステッパは適合するドライブユニット(市販品)によって電力が供給され、パルス列を入力するとそのパルス数に応じた回転角度(I-II相励磁なら1パルス当り0.9度)をステッパに回転させる。また1秒間に入力するパルス数を多くすると回転角も大きくなりそれだけ回転角速度が大きいことになる。

2個のステッパ(ローラー全体の掃引用と修正ローラーの上下変位用)を回転させるためのパルス列ジェネレータ(パルス発生器)の要件を考えよう。修正ローラーは2次元平面上でプロッターの様に、Fig. 5の様な曲線(折れ線近似)上を動く必要があり DDA(Digital Differential Analyzer)2)による補間演算を行わねばならない。更に局率の正負が変わる場合は弾性領域を横切るが、そこは曲がり修正に対して不感帯であるため、掃

引用に比べ修正用ステッパはなるべく速く弾性領域をスキップしなければならず台形駆動(スタート時とストップ時に加速と減速をし定速回転数を大きくする方式)による高速化が必要である。最産化された安価な市販のユニットまたはボードを使用すると、DDA機能が無かったり針を修正である。からできずの協調性が悪く間欠動作となる、列の周波数を上げるとステッパの回転がパルス列の追従できずにスベリが生じる。またホストコンピュータとの通信が頻繁に起こりホストコンピュータの通信負荷が大きい等の欠点があった。

以上の理由から本修正機構を高速に動作させるために、DDAモードと台形駆動モードをデータによって適時切り換えることのできる新たなパルス列ジェネレータを開発することにした。Fig. 6にその構成図を示す。

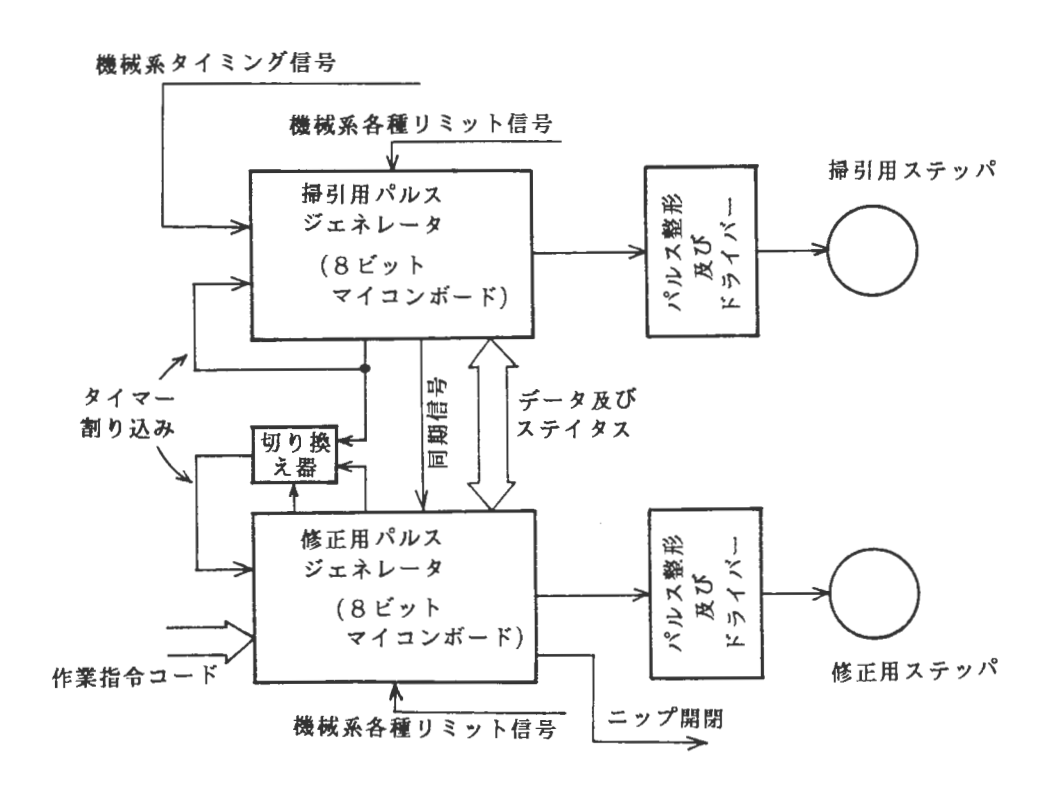


Fig. 6 操作部のブロック線図

掃引用と修正用にタイマー LSI 付きの8ビット マイコン (マイクロコンピュータ) ボード2台を 使い、お互いにデータ及びステイタス情報のやり 取りができるようにした。まず修正用マイコンは、 針の修正に必要な1mmピッチごとの動作を示す 作業指令コードを、ホストコンピュータから受取 り掃引用マイコンに掃引長を送る。機械系からの タイミング信号によってニップローラーが閉じ修 正工程がスタートする。掃引用ボードはスタート 時の 2 mm間 (80 パルス) で台形駆動による加速 用パルス列を発生し、続けて同周期となるような 定速動作用パルス列を固定的なDDAにより発生 する。それと同時にDDAの基本クロックを切り 換え器に、1 mmごとの同期信号を修正用マイコ ンに送り、掃引停止の2mm手前から台形駆動に よる減速用パルス列を発生し掃引が停止する。修 正用ボードは掃引の1mmごとに作業指令コード を解読し、台形駆動モードか DDAモードかによっ てタイマー割り込みの切り換え器を制御する。ま た上下変位の方向あるいは DDA の偏差量などの 情報をもとに修正用パルス列を発生する。修正が 完了するとニップローラーを解除し針を取り出す。 同時に両ステッパとも台形駆動モードによって付 加的な動作もしながら機械系原点に復帰し次の針 の作業指令コードを待つ。両ボー ドとも台形駆 動モードでは非線形差分方程式 式(1)から求 まる周期を使い可変周期タイマー割り込みによっ て精密な一定加速が行なわれる。

 $pT_tT_{t+x}^2 + T_{t+x} - T_t = 0$  , p: 加速パラメータ ,  $T_o$ : 初期値 (自起動周期) (1)

その時の自起動周期と加速度は実際に多品種多数本のメリヤス針を使ってステッパのスベリ限界テストを行いその結果に安全率を考慮して予め設定している。また DDA モードでは DDA 演算のできる条件の元で最大の基本周波数を使って掃引用マイコンボードから修正用マイコンボードにタイマー割り込みをかけ DDA 時の周波数変動を抑えている。さらに針1本を修正するのに十分なデータバッファを設け、ホストコンピュータから1回の通信で1工程分のデータを送れるように設計した。

### 4 あとがき

掃引用ステッパは間欠作動すること無くスタート時とストップ前の台形駆動時を除けば定速回転となり、市販ボードの物に比べ2倍以上の高速化が達成できた。またホストコンピュータの通信負荷が軽減できたため、ホストコンピュータでより高度なデータ処理が可能となった。

# 文 献

- 1) 前田: 第33回システム制御情報学会研究発表講演会,217/218,('89-5)
- 2) 山口: コンピュータディスプレイによる図 形処理工学, 54/56, 日刊工業新聞社

# 画像処理に関する調査研究

機械電子部 石野 久美子、前田 裕司

# 要 旨

近年、人手によって行っている各種の外観検査を、画像処理を用いた検査システムに置き換えたいという県内の企業からの希望が多い。そこで、画像処理全般に関する調査を行った。

具体的には、画像情報の表現方法、確認のための表示技術、特徴抽出、雑音除去、尖鋭化を目的とした画像の変換技術、画像の伝送や蓄積を目的とした符号化方式、画像のパターン認識などに有効な画像の解析アルゴリズム、コンピュータによる画像認識手法、画像工学で取り扱っている画像情報機器について調査した。

### 1 はじめに

県内企業からの画像処理に対する要望に対応すべく、画像処理技術全般に関する調査を行った。 調査した技法に関して紙面の都合上、簡単に以 下に示す。

### 2 調査結果

### 2-1 画像の表示

画像の表示については、階調画像の表示技法、 擬似階調表現手法について調査した。

階調画像の表現技法には、濃度ヒストグラムの 形状情報を利用して与えられた階調画像を極力忠 実に表現する濃度変換、線形変換、濃度補正、ヒ ストグラム平滑化法などの手法と、少ない階調レ ベル数で階調画像を表現する、2値表示、いき値 処理などの手法がある。

少ない階調数の画像出力装置を用いて、極力、原画像らしくみせるための擬似階調表現手法には、2値ディザ法、平均誤差最小法や平均値決定法などの条件付決定法、ランダムディザ法や組織的ディザ法などの独立決定法、多値ディザ法、誤差配分法、濃度パターン法がある。また、カラー画像に対する擬似表現技法には、カラーディザ法、擬似カラー表示、偽カラー表示、色圧縮、RGB空間の分割方式などがある。

# 2-2 画像の変換

2次元画像の数学的な変換処理には、ディジタル画像に直接画像変換操作を施す方法と、スペクトル領域へ変換した後フィルタ操作を施す方法が

ある。前者に当たるのが、空間フィルタ処理で、 後者に当たるのがフーリェ変換やウォルシュ変換 を用いたものである。空間フィルタは、極めて直 観的で作成が容易であるが、逆に、そのフィルタ 領域の広さの決め方や構成指針があいまいである。 また、その領域の広さを大きくとると計算時間が 膨大になるという欠点がある。そこでスペクトル 領域でのフィルタ操作が計算コストの面からも有 利になってきている。スペクトル領域でのフィル タ操作のなかでは、離散的データとして与えられ るサンプル値系のスペクトル解析にウォルシュ関 数系が適している。

### 2-3 画像の伝送

次に、画像の伝送や蓄積のための符号化方式に ついて述べる。

ディジタル信号の汎用的な符号化法には、パルス符号化(PCM)、デルタ変調方式、差分パルス符号変調方式、線形予測法などがある。

また、テレビジョン信号の特殊性に着目した高能率符号化は、空間的冗長度、時間的冗長度を除去することにより実現される。空間的冗長度の除去には、はじめに述べた汎用的な符号化法が用いられる。時間的冗長度の除去には、フィールド間予測方式、コンポーネント符号化法、直交変換符号化方式、ベクトル量子化法などがある。

原稿を誤りなく確実に伝送することに主眼がおかれているファクシミリ装置の符号化技法には、ランレングス符号化法、Wyleの符号化、2ビッ

ト区切り方式、Shannon-Fano の符号、Huffman 符号、拡張ハフマン(Modified Huffman)符号 (MH 符号)、複数ライン一括符号化法がある。

次に、文字、図形などの2値図形に対する符号 化法について述べる。線図形の符号化法は、線の 形状をできるだけ忠実に符号化するチェーンコー ド符号化法と、誤差を多少は許容するが、できる だけデータ情報圧縮を実現する直線近似化法があ る。チェーンコード符号化法には、フリーマン (Freeman)のチェーン符号、方向差分コード化 法などがあり、直線近似化法には、 直線近似ア ルゴリズムによる方法、ベクトルトレーサを用い る方法、最小2乗法による方法などがある。

# 2-4 画像の解析

画像解析手法には、静止画を対象とするものと 動画像を対象とするものがある。

. 前者には、与えられた画像を2値の図形へ変換した後、その2値図形を対象として解析を行う。 線対応の解析と、各画素の持つ濃度情報を直接利用する領域対応の解析がある。また後者には、オプチカルフローやレーベンシュタインの距離が利用されている。

## 2-5 画像の認識

パターン認識技法は、画像認識へだけでなく音声認識から、さらに各種の社会データへまでも適用されている。パターン認識システムの構成は、入力データから雑音除去、正規化などの前処理を行い、そのデータに対する特徴を抽出し、その特徴をあらかじめ設定した特徴と照合し、合致しているかどうかを判定することからなりたっている。

産業応用としては、医用画像、自動検査・診断、

コンピュータビジョン、計測・検出、OA・FAなどがある。

# 2-6 画像処理装置

最後に、画像処理装置について述べる。画像情報機器には、画像入力装置、画像出力装置、画像 記録装置がある。画像入力装置には、ITVカメラ、FSS、ドラムスキャナ、イメージスキャナ、 固体イメージセンサ、サーモグラフなどの文字、図形、画像データを自動的に入力する装置と、ディジタイザ、ライトペン方式、タッチパネルなどの対話式で図形データや各種の位置データを入力する装置があり、3次元の立体入力についても試みられている。画像出力装置には、機械的走査、放電記録方式、静電記録方式、インクジェットプリンタ、プロッタなどのハードコピー装置、CRT ディスプレイ、ラスタ走査形ディスプレイ、フレームバッファ、ベクトル走査形ディスプレイなどのディスプレイ装置などがある。

また、画像の記録装置には、フィルムレコーダ、コマ撮りビデオ、電子スチルカメラ、テレシネフィルム録画などの動画像の記録装置、ディタル画像記録システム、光磁気ディスクなどのディタル画像記録装置がある。

# 3 おわりに

以上,調査内容の簡単な概略を示した。実際の 実用化のためには、メカ設計、照明などの画像処理に入るまでの段階が難しいようである。この調査結果を今年度の省力化促進事業に生かしていきたいと思う。

## 油 文

「画像工学の基礎」昭光堂 安居院猛 中嶋正之 共著

# 視覚処理技術による外観検査システムの研究

パソコンを利用した傷検査装置用画像処理プログラムー

機械電子部 松山 浩、岡本 良作

# 要 旨

256 \* 256 画素の CCD カメラおよび、市販の安価なパーソナルコンピュータ用画像処理ボードを利用した、黒色特殊用途ゴムリング用外観検査システムを開発するための基礎研究として CCD カメラにより取り込んだ全画像中から傷部位の抽出を行う画像処理アルゴリズムの検討とプログラム化を行った。

パソコンはその普遍性と価格を考慮し NEC 社製の PC 9801 VM 2 を使用し、プログラム言語には同社の N 88 日本語 BASIC を使用した。

開発機用プログラムのため処理結果はテキストまたはグラフ形式でCRT及びX-Yプロッターに出力するものとした。

# 1 緒 言

近年、画像処理技術はCCDカメラの普及や解析技術の向上等により、製品の外観検査や外形測定といった様々な分野において利用されるようになっている。しかし、それら自動検査装置の多くは専用のCPUや処理システムを使用したもののとなっている。また処理対象物については、単純な形状でコントラストの少ないものに関しては自動化が行われていないある。そこで今回、「視覚処理技術による外観検査システムの研究」の一端としてよる外観検査システムの研究」の一端としてよる外観検査システムの研究」の一端としてよる外観検査システムの研究」の一端としてよる外観検査システムの研究」の一端としてよる外観検査システムの研究」の一端としてよる外観検査システムの研究」の一端としている)用画像処理ボードを利用した、黒色特殊用るカリングの傷検査装置用画像処理アルゴリズム及びプログラムの検討をおこなった。

# 2 機器構成及びプログラムについて

今回使用した処理システムは、市販の廉価なパ ソコン用画像処理ボードを用いて構成した。

パソコンはNEC 社製の PC - 9801 VM 2 を、画像処理ボードはフォトロン社製イメージデジタイザー FDM 4 - 256 (以下,処理ボードとする)を、画像取り込みには、ソニー社製 CCD ビデオカメラモジュール(モデル XC - 57)にニコンの60 mmレンズを取り付けて使用した。また、画像

モニターとしてソニー社製 14 inch トリニトロンカラー CRT を、処理データ出力用に HP 社製 X-Y プロッター(7475A)を使用している。(図 1 参照)

尚、モニター CRT 及び プロッターなどはシステム開発中のみ必要なものであり、実稼働時には必要としない。またプログラミングにあたって用いた言語は、開発システムであるため、実効速度等は問題にせず、言語の扱い安さから NEC 社製のN 88 日本語 BASIC を使用した。

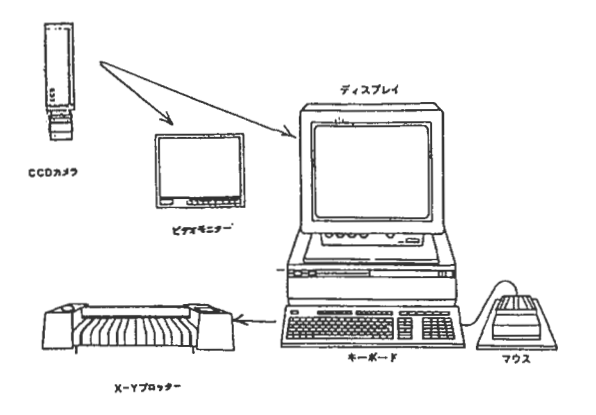


図 1

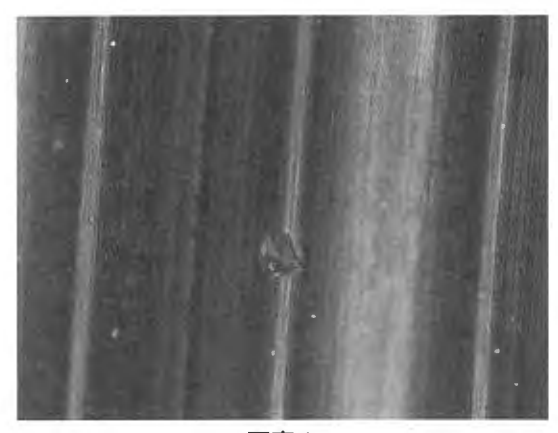


写真1

# 3 結果及び考察

写真1に示すような黒色特殊用途ゴムリング上の欠点部位は肉眼においても判別が難しいものであり、通常の処理法では照明の反射による光むら等により傷部位を機械的に抽出をすることは難しいと考えられる。

そこで今回は、照明を左右 45 度からに固定し 取り込んだ、画像データの画素間の輝度差に着目 し、それにより傷部位の抽出を行う以下のような 処理プログラムを作成した。

プログラムは全体として以下の4つの部位からなっている。

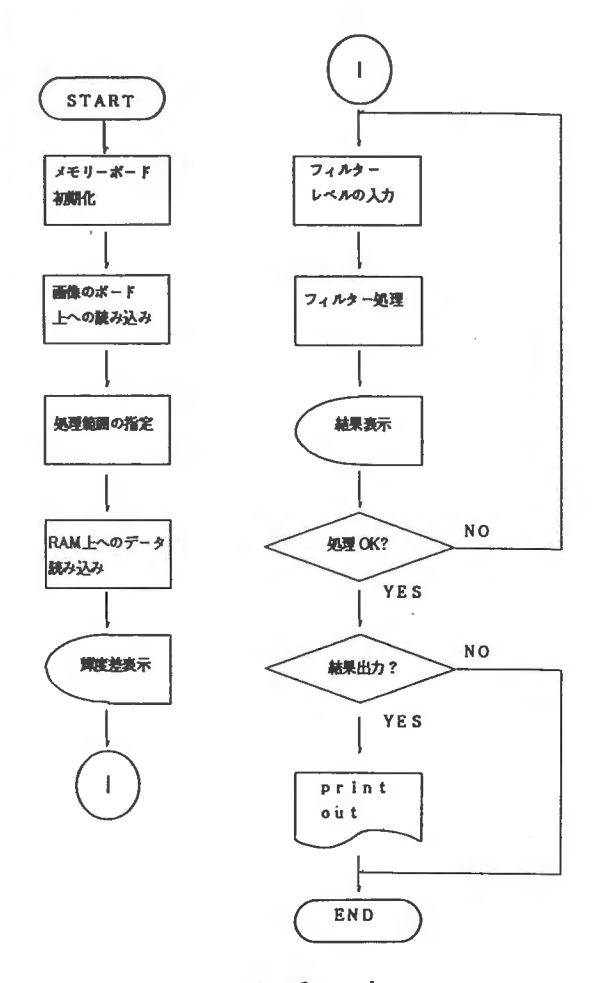
- 1 画像データの処理ボード上への取り込み
- 2 処理範囲内画像データのパソコンメモリ上 への取り込み
- 3 データのフィルタリング及び CRT への結 果出力
- 4 最終結果の CRT 出力及びプロッター出力

プログラムの流れ及び各プロセスの関連についてはフローチャート1に示すとおりである。

フィルターの構築に当たっては、初め処理速度 を求め、近傍点を考慮しない点処理方式のものを 構築したが、この方法ではチャート2に示すよう に、画像にノイズが残ってしまうなど期待した結 果が得られなかった。そのため、新たに近傍点を 考慮することを検討し、線処理と面処理を併用す る方式に改め、さらにフィルターで、処理を行う レベルを可変なものに改めた。

各フィルター処理結果をチャート1-3に示す。

チャート1は未加工の輝度分布データを示したもの、チャート2、3はそれぞれ同データに点処理を行ったもの、近傍処理を行ったものである。



フローチャート

このことから明らかなようにこの方式による傷部位に抽出はかなりのレベルで有効性をもつと考えられる。しかしながら現段階での問題点として以下の様な2点が存在している。

- a 処理速度が遅く一画面分の処理を行うのに はかなりの時間が必要である。
- b 照明に当たる傷の角度により実際の大きさよりもかなり小さく評価されたり、使用するフィルターのレベル等によっては傷が認識されない。

aの処理速度については使用する言語を変える、 グラフィック表示をなくすなどの方法で、かなり 改善されると考えられる。しかしりの問題につい ては、カメラで取り込む範囲の検討、照明方法の 検討などを行い、今後のメカニズムを開発の際に も合わせて取り組まなくてはならない課題と考え られる。

# 4 まとめ

今後、外観検査システムの構築を行うに当たり、 今回構築した傷部位抽出用のフィルターは、十分 実用性を持つものであり、コントラストの少ない 画像中で二値化や面積計算を行う場合の、基本的 な処理のひとつとなると思われる。

しかしながら、今回解決されなかった問題も含め、今後視覚処理技術を利用するため、照明、カメラなど多くの因子について、続けて検討しなければならないと考える。

FILTER TEST HOW DATA

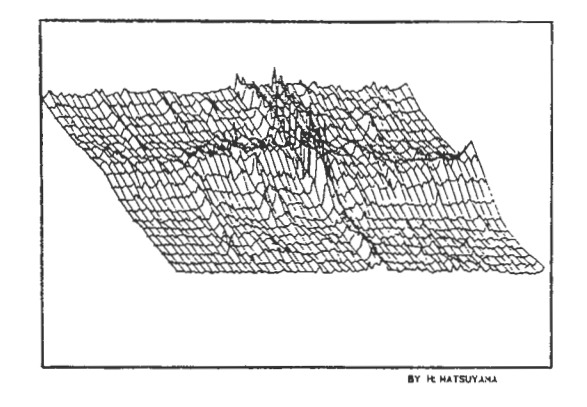


チャート 1

TEST OF FILTER NOT LINE LEV.

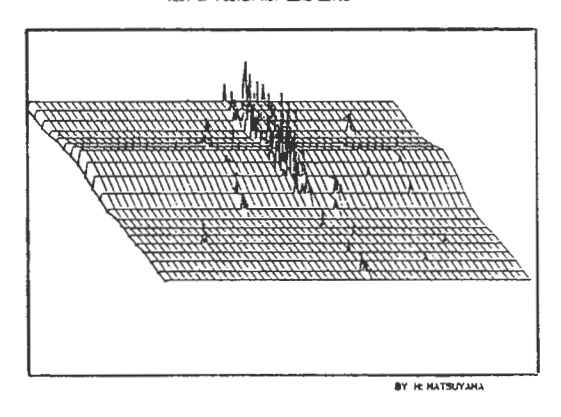


チャート 2

TEST OF FILTER A LEV.

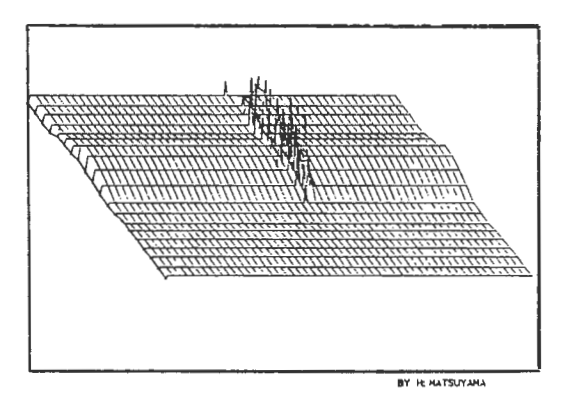


チャート 3

# ゴムリングの外観システムに関する研究 (概要)

(パソコンを利用した画像処理の開発環境の構築)

機械電子部 岡本 良作、松山 浩

# 要 旨

画像処理システムは、パソコンの拡張スロットに挿入し直接使用できる市販の画像処理ボード、CCDカメラ、照明装置等で構成した。ソフトウェアの開発環境は、MS-DOS上で、C言語、アセンブラを用い基本的な画像処理ソフトの開発をし、各処理時間を測定し、外観システムの構築に適正かどうか検討した。

### 1 ハードウェア構成

パソコンは、NEC製のPC 9801VX 2、50 Mハードディスク、4 Mバイトの RAM DISK のハードウェアで構成した。

画像処理ボードは、フォトロン製の FRM -512、CCD カメラは、ソニー製の FDM 77、ビデオモニタは、ソニー製の KX -14 HDI で構成した。光学系は、AF MICRO NIKKOR 60 m/mレンズに中間リング C-N NIKKOR ADAPTORを CCD カメラとの接続した構成で使用した。画像処理速度は、デジタルオシロスコープ(2430型テクトロニクス)と I/Oボード(ネオローグ電子㈱)を併用し測定した。

# 2 ソフトウェアの開発環境

OS は、MS-DOS(3.3B)、メインの記述言語には、MS-C (Ver 5.1A)、画像処理のモジールの記述には、マクロアセンブラ(Ver 5.1A)で行なった。エディター、コンパイル、リンク(Cとアセンブラ)は、すべてRAM DISK 上でおこなった。

## 3 結果及び考察

メモリ・モデルのデータ領域は、入力原画像の保存に256 Kバイト、ワーク領域に64 Kバイト確保するのにヒュージ・モデルを選択した。

4-40 m/m の Oリングを対象にした光学系の実測値は、50 m/m(40 m/m のゴムリングを十分に包括)の被処理物を水平走査方向の 512 画素に納めると、10 画素/m/mとなる。同様に、6.3 m/m の被処理物を水平走査方向に納めると、81 素画/m/mの結果を得た。

水平走査方向の 512 画素を 0 FFH データで描写し、2 個のキーボードで上下に移動するプログラムから割り出すと、モニター CRT に表示される有効画素は、 $512 \times 462$  であった。

画像メモリは、VX 2 の 4 バンク 256 Kバイトの配置になっている。 4 バンクに任意の画像データを書き込む処理、キー入力した値で画像を 2 値化する処理、1 バンク(64 Kバイト)の画像データをグラフィック VRAM にブロック転送する処理は、703、1924、144 msの実行時間を要した。〇リングを 1 秒間に 2 個程度処理するには、すべてソフトウェアで処理する現状のボードでは、困難であると思われる。

#### 猫 文

「パソコンによるメリヤス編機セントラルステッチカムリングの位置制御」P.27 ~ 30 和歌山県工業技術センター報告(平成元年度)

# ニューセラミックスの評価技術研究

機械電子部 田口 義章、澤田 俊彦、小畑 俊嗣

# 要 旨

セラミックス原料(ZrO₂)を円柱型に成形して、各温度で常圧 焼結及び HIP 処理をおこなって、機械的性質及び物理的性質について検討した結果、HIP 処理後の収縮率は焼結温度 1400, 1500℃ が 100 %と良い結果であり、また常圧焼結した成形体と常圧焼結及 び HIP 処理した成形体のどちらも焼結温度 1500℃が最もよかった。

# 1 緒 言

ニューセラミックスは、先端材料の一つとして 脚光を浴びてから金層などの即存材料では使用不 能な高温などの厳しい環境に耐えるとともに、多 くの機能を持つ材料として注目を集めている。

近年、高温強度、高硬度や、耐摩耗性を利用した新しい用途開発が盛んになった。

他方、セラミックスのもつ機能性として強誘電性、圧電性、絶縁性、磁性等があり、これらの特性に優れた材料が開発されエレクトロニクスを支える重要な素材となってきた。

本研究は、ジルコニア(ZrO<sub>2</sub>)を主体とした 構造材セラミックスの開発をするために、高精度 成形による焼結をおこない機械的性質、物理的性 質等の評価方法について検討を行う。

今報告では、1300℃~1600℃ の温度範囲内で 常圧焼結および HIP 処理を行って収縮率、密度、 曲げ、硬度、ヤング率などについて検討したので 報告する。

### 2 実験方法

# 2-1 原料

使用した原料は、イットリアージルコニアで表 1に化学分析値を示す。

# 2-2 成形

原料粉体を冷間等方加圧装置(㈱神戸製鋼所製Dr-CIP)で図1のような形状のニトリルゴム型(円柱)に充填し、成形条件は、圧力:294 MPaで加圧して成形品を作成した。

### 2-3 常圧焼結

2-2により作成した成形品を超高温雰囲気炉

表1 ZrO<sub>2</sub>の分析値

| 成 分                            | 分析值(%) |  |
|--------------------------------|--------|--|
| ZrO2                           | 90.5   |  |
| Y 2 O 3                        | 4.76   |  |
| SiO <sub>2</sub>               | <0.01  |  |
| Al <sub>2</sub> O <sub>3</sub> | 0.26   |  |
| Fe <sub>2</sub> O <sub>3</sub> | < 0.01 |  |
| Na <sub>2</sub> O              | < 0.01 |  |
| Igloss                         | 4.43   |  |

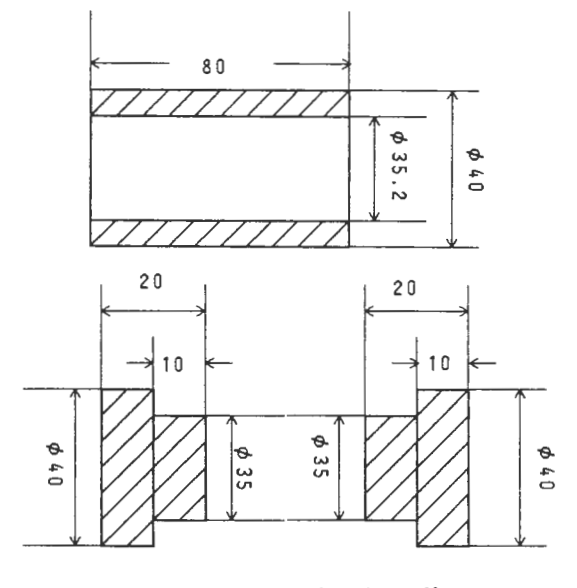


図1 ニトリルゴム型の形状

(㈱モトヤマ製 KL-2030 D) で温度:1300、1400、1500、1600℃、保持時間: 2 時間、昇温速度: 5 ℃/min の条件で常圧焼結を行った。

### 2-4 HIP 焼成

2-3により常圧焼結を行った焼結品を熱間等方加圧装置(㈱神戸製鋼所製 O₂-Dr-HIP)で1300℃、保持時間:1時間、圧力:100 MPa 雰囲気ガス:Ar の条件で処理を行った。

# 2-5 評価試験

### 2-5-1 密度試験

常圧焼結及び HIP 焼成を行った成形品を JIS - R-2205 により水中重量、飽水重量、乾燥重量を 測定し、理論密度 6.05 (g/cm) を用いて密度を 求めた。

### 2-5-2 曲げ試験

常圧焼結及び HIP 焼成を行った成形品を JIS - R-1601 に適合した試験片 (3 mm×4 mm×36 mm) に作成し、曲げ試験は、オートグラフ (㈱ 島津製作所製 AG-100 KND (W)) を使用して試験方法はクロスヘッドスピード 0.5 mm/min、支点間距離 30 mmの条件で 3 点曲げで各試験を行った。

## 2-5-3 硬度試験

曲げ試験に供した試験片を鏡面研磨した後、ビッカース硬度計(㈱明石製作所製 AVK-A)を使用して、荷重 100 N の条件で測定をした。

# 2-5-4 ヤング率測定

常圧焼結及び HIP 処理をおこなった成形品を 試験片(3 mm×6 mm×36 mm)に作成して、 ヤング率測定には、新素材特性評価装置(日本メ カトロン㈱製 MS-Fyme)を使用してヤング率 を求めた。

### 3 実験結果と考察

### 3-1 成形体の収縮

CIP 成形を行った円柱のジルコニア粉末成形品の常圧焼結による線収縮率は、焼結温度 1400℃、1500℃が 19%であり、HIP 処理による線収縮率は、焼結温度 1500℃が 2 %であった。

CIP による成形品を 1500℃で常圧焼結をする と線収縮率が 19~21%の範囲であった。

# 3-2 成形体の密度

常圧焼結の相対密度は、焼結温度 1400℃が相 対密度 96 %と高い値を示し、HIP 処理後では、 焼結温度 1400、1500℃が 100 %と良好な結果が 得られた。

また、HIP 処理を行った結果、全体的に相対密度が焼結温度に関わらず上昇した。

### 3-3 評価試験

# 3-3-1 曲げ試験

常圧焼結及び HIP 処理後の焼結温度と曲げ強 さの関係を図 2 に示した。

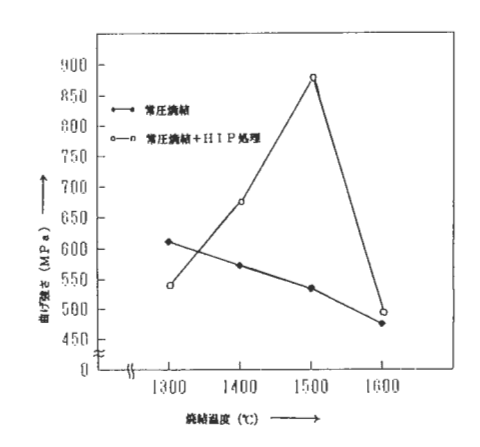


図2 焼結温度と曲げ強さの関係

この結果、常圧焼結した材料は焼結温度 1300 ℃の曲げ強さが 610 MPa と高くなり、焼結温度 が上昇するに従って曲げ強さが低下した。

また、常圧焼結後 HIP 処理をした材料は、焼結温度 1500℃の曲げ強さが 880 MPa と非常に高い値が得られた。

### 3-3-2 硬度試験

常圧焼結と HIP 処理後の焼結温度と硬度の関係を図3に示した。

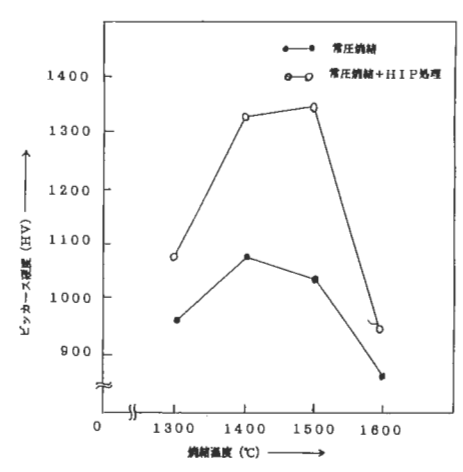


図3 焼結温度と硬度の関係

この結果、常圧焼結後の硬度(Hv)は、焼結 温度 1400 ℃が 1078 と高い値を示し、HIP 処理後 の硬度(Hv)は、焼結温度 1500℃が 1345 と高い 値を示した。

### 3-3-3 ヤング率測定

常圧焼結及び HIP 処理後の焼結温度とヤング率との関係を図 4 に示した。

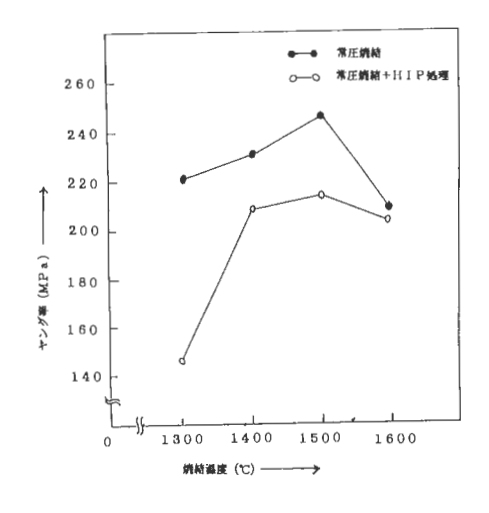


図4 焼結温度とヤング率の関係

この結果、常圧焼結では、焼結温度 1500℃が 2 46 GPa、HIP 処理後では、焼結温度 1500℃が214 GPa と高い値を示した。

### 4 まとめ

- ① 焼結温度と曲げ強さの関係は、常圧焼結では、焼結温度 1300℃が曲げ強さが高く、焼結温度が上昇するに従って低下したが、常圧焼結および HIP 処理を行った結果は、焼結温度 1500℃が非常に高い値を示した。これは、HIP 処理後の相対密度が 100 %であり、また気孔率も少なくて強さを上げた原因と考えられる。
- ② 焼結温度と硬度の関係は、常圧焼結後の焼結温度が 1400℃、HIP 焼成後の焼結温度が 1500℃ と高い値を示した。又、常圧焼結後と HIP 処理後の硬度を比較してみると、全体的に HIP 処理後の硬度の方が高い値を示した。
- ③ 焼結温度とヤング率の関係は、常圧焼結後の焼結温度が1300℃、HIP 処理後の焼結温度が1500℃と高い値を示した。又、常圧焼結後と HIP 処理後を比較してみると、全体的に常圧焼結後の方が高い値を示した。一般に、焼結体のヤング率は、138 Gpa 程度であるので一応の目的が達せられた。以上から、焼結温度 1300℃~1600℃の範囲内で試験を行った結果、温度 1500℃で常圧焼結後 HIP 処理を行った材料が良好であった。

今回の試験研究に使用した設備機器は日本自転 車振興会の競輪の収益により補助を受け購入設置 を行った設備である。

# セラミックス原料の調整法の研究

機械電子部 小畑 俊嗣、澤田 俊彦

## 要 旨

酸化マグネシウムー酸化アルミニウム系スピネル原料粉末合成において、硝酸マグネシウムー硝酸アルミニウムを出発原料とする水系合成と、マグネシウムエトキシエトキシドーアルミニウムイソプロポキシドを出発原料とする有機溶媒系合成を試み、それぞれの反応によって合成した水酸化物混合粉体を仮焼し、酸化物混合粉体を得た。

これらの酸化物混合粉体の粉度分布は、700℃で仮焼したものが 最も微細であった。

また有機溶媒系合成反応においては、界面活性剤の添加により生成粉体粒子が微細化した。

## 1 緒 言

近年、新しい素材としてのニューセラミックス利用技術の発展により、原料の調整が焼成されたセラミックスの特性に大きく影響を及ぼすことが明らかになり、種々の原料調整法の研究が精力的に進められる中で、化学反応を利用したゾルーゲル法が注目されている。

酸化マグネシウム (1) -酸化アルミニウム (2)系スピネルセラミックスは、透光性に優れているという特性を持っている。しかし、厳密な組成管理と微細な原料粉末が必要であり、成形、焼成等製造には困難を極めている。

当研究においては、この1-2系スピネルセラミックスの製造の容易化のため、原料粉末を水系、有機溶媒系の湿式法により、微細な原料粉末を合成することを目的とした。今報告では、合成方法、焼成温度及び添加物による1-2系スピネルセラミックスの粒子径の大きさの差異について報告する。

## 2 実験

水系の合成は、硝酸マグネシウム 6 水和物と硝酸アルミニウム 9 水和物の水溶液(1:2 mol.)をセパラブルフラスコ中約 60℃にマントルヒーターで加温し、機械的に攪拌しながら 2 倍当量の希アンモニア水(3).をゆっくり滴下した。滴下終了後も加温攪拌を続け反応を完結させた。

式1.

Mg  $(NO_3)_2 + 2 Al (NO_3)_3 + 8 NH_4OH \rightarrow$ Mg  $(OH)_2 + 2 Al (OH)_3$ 

生成した水酸化マグネシウム (4) と水酸化アルミニウム (5) の共沈物は桐山ロートで吸引濾週し、得られたケーキを超音波ホモジナイザーとマグネチックスダーラーで水に再分散させ攪拌洗浄し濾過した。

同様の洗浄操作を洗液にアンモニアがほとんど無くなるまで繰り返した後、アセトンとトルエンで充分洗浄し、吸引濾過後エパポレーターでケーキを乾燥させ、さらに真空乾燥機を用いて110℃で乾燥し粉末とした。

このとき凝集した粉体を乳鉢でかるく解砕しながら  $150~\mu$  m開きのナイロンふるいを通し、4~-5 混合粉体を得た。

有機溶媒系の合成はマグネシウムエトキシエトキシド(6)のエチレングリコールモノエチルエーテル溶液とアルミニウムイソプロポキシド(7)をトルエン溶液(1:2 mol.)とし、水系合成と同様加温攪拌しながら3倍当量の3を一度に滴下した。

式2.

Mg  $(OC_2H_4OC_2H_5)_2 + 2 \text{ Al } (OCH(CH_3)_2) + H_2O$  $\rightarrow Mg(OH)_2 + 2 \text{ Al}(OH)_3$ 

加水分解反応が完了した事を確認後、生成した

4−5共沈物を吸引濾過し、トルエンに再分散し 〜 へ て洗浄した。

1部の試料についてはこのとき、添加物として ノニオン系界面活性剤を加えた。

その後トルエンで充分洗浄し、水系合成と同様の操作で粉末を処理し、4-5混合粉体を得た。このようにして合成した4-5混合粉体を、電気炉を用いて大気雰囲気下で $500^{\circ}$ C、 $600^{\circ}$ C、 $700^{\circ}$ C で仮焼し1-2系スピネル粉体を得た。式 3.

 $Mg (OH)_2 + 2 Al (OH)_3 \rightarrow MgAl_2O_4$ 

これらの粉体については、X線回析装置で分析した結果 1-2 系スネピルの回折線が認められる式の反応が起こっていることが確認された。

なお高温で仮焼した物の方が結晶化が進んでいた。

これらの試料をレーザー回折式粒度分布測定装置で粒子径測定を行った。なお、4-5混合粉体は水に溶解するためヘキサンを分散媒とし、1-2系スピネル粉体は水を分散媒とした。

## 3 結果及び考察

粉体の粒度分布測定結果を表1に示す。

今回の実験では、粉体はミル等を用いた機械的 粉粋をせず、乳鉢によるかるい解砕のみで粒度分 布測定を行ったため、一次粒子がある程度集合凝 集した状態での結果であり、表1に示すモード径 平均粒子径は、一次粒子の真の大きさよりかなり 大きな値となっていると思われる。

4-5混合粉末についても、阻-OH性のヘキャンを測定分散媒として用いたため親水性基を持つ4-5の粒子はたがいに凝集し、この値も一次粒子径よりも大きな値を示していると考えられる。

このような測定方法の影響による粒度分布測定 結果の誤差はかなりあると思われるが、全体的な 傾向についてはこの結果よりいくつか考察できる。

すなわち、粉体の仮焼温度と粒子の大きさの関係では、仮焼温度が高いものの方が粒子径は小さくなっている。

これは、4-5混合粉体を1-2系スピネル粉体末に仮焼する時高温履歴を受けた粒子の方が熱収縮が進行したためであろう。

| No | Source         | S-A Agent | Temp/h | Mod.d. | Med.d. |  |
|----|----------------|-----------|--------|--------|--------|--|
| 1  | Inorganic Salt | NONE      | 600/1  | 8.53   | 10.17  |  |
| 2  | "              | "         | 700/1  | 8.68   | 9.46   |  |
| 3  | Organic Metal  | "         | OH     | 32.75  | 30.11  |  |
| 4  | "              | "         | 500/2  | 23.29  | 17.84  |  |
| 5  | "              | "         | 600/2  | 15.00  | 14.71  |  |
| 6  | "              | "         | 700/2  | 14.19  | 13.69  |  |
| 7  | "              | Sorbitan- | OH     | 27.25  | 24.90  |  |
| 8  | "              | mono-     | 500/2  | 15.42  | 14.35  |  |
| 9  | "              | stearate  | 600/2  | 14.25  | 13.27  |  |
| 10 | "              | "         | 700/2  | 12.18  | 11.29  |  |
| 11 | "              | Sorbitan- | ОН     | 29.92  | 27.04  |  |
| 12 | "              | mono-     | 500/2  | 15.60  | 14.63  |  |
| 13 | "              | palmitate | 600/2  | 14.31  | 13.24  |  |
| 14 | "              | "         | 700/2  | 14.55  | 13.02  |  |
| 15 | "              | Sorbitan- | ОН     | 16.81  | 14.57  |  |
| 16 | "              | mono-     | 500/2  | 20.43  | 18.23  |  |
| 17 | "              | laurate   | 600/2  | 14.92  | 15.33  |  |
| 18 | "              | "         | 700/2  | 14.64  | 13.99  |  |

Temp/h:

仮焼温度 (°C) / 保持時間 (h) 昇温速度 5 °C/min

OH:

水酸化マグネシウム -水酸化アルミニウム混合粉末

S-A Agent :

ノニオン系界面活性剤

Mod.d.:

モード径 (μm)

Med.d.:

平均粒子径 (μm)

次に、洗浄の際の添加物として界面活性剤を添加することにより粒子の微細化がみられたが、界面活性剤の組成による影響では、親油性側鎖の長さにより効果に差がでた物と思われる。

すなわち今回使用した中では、親油性側鎖の最も長いソルビタンモノステアレートが粒子の微細化に最も効果をおよぼしており、ソルビタンモノパルミレート、ソルビタンモノラウリレートと側鎖が短くなるほど効果が薄れている。

また、合成方法による違いでは、水系合成の方が有機溶媒系合成よりモード径、平均粒子径とも小さくなっているが、有機溶媒系合成では、6のエチレングリコールモノメチルエーテル溶液と7~をトルエン溶液とし3を加えて加水分解しているため、6の安定化溶媒であるエチレングリコールモノメチルエーテルが系内に存在し、また加水分解反応の副生成物としてイソプロピルアルコールとエチレングリコールモノメチルエーテルが生成している。

これらは、洗浄にも関わらず微細粒子の表面に吸着残留し、ケーキの乾燥時においても、イソプロピルアルコールは、沸点82℃とトルエンの110℃よりも低くまたトルエンと共沸混合物を形成するため除去されるが、エチレングリコールモノエチルエーテルは沸点135℃とトルエンより高くかつ

トルエンと共沸混合物を形成しないので、真空乾燥でも除去されず、これにより粒子の凝集が起こったと考えられる。

従って、表1の結果からそのまま比較は出来ない。実際表には示さなかったが、最小粒子径は水 系合成の方が有機溶媒系合成より大きくなっており、また比表面積は有機系合体が大きくなっている。

このことから実際の一次粒子の大きさは有機溶媒合成方が小さくなっているものと思われる。

#### 4 まとめ

今回の結果は、高密度焼成体の製造法の検討の一環として、原料の合成方法、焼成温度及び添加物による影響について小規模での実験を行い、粉体の微細下についての検討を行ったが、今後この結果を踏まえ、原料粉体の大量合成を行い、成形法や焼成法により焼成体自身の特性の検討を行う基礎となった。

#### 対 対

- 1) 浜野健也, 他, 窯協, 85, 225-30 (1977)
- 2) 中川善兵衛, 他, 窯協, 90, 312-19 (1982)
- 3) 神崎修三, 他, 窯協, 91, 81, 86 (1983)
- 4) 中川善兵衛, 他, 窯協, 91, 297-303 (1983)
- 5) J.G.M.BECHT, etal, Solid State Ionics, 32/33, 436-39 (1989)

# 素材加工における高度表面処理技術の研究

## -金属と皮膜の接合-

機械電子部 田口 義章、岩鶴 昭

## 要 旨

金属(ステンレス鋼)表面にセラミックスコーティング原料(ホワイト・アルミナ)を使用してプラズマ溶射を行い、そのコーティング材料の機械特性などについて試験した結果、皮膜の厚みは 315  $\mu$ m、表面粗さは、平均粗さで 3.99  $\mu$ mと全体的に均一であった。ビッカース硬度は、800  $\sim$  840 の範囲であり、この溶射材料の硬度も 820 前後であるため、一様目的に達したと考えられる。

## 1 緒言

現在、構造材料として使用されている金属、プラスチック材料では使用環境がますます厳しくなってきている。耐熱性、耐腐食性、耐磨耗性等より厳しい環境に耐えることができる材料の開発が期待されている。

ある材料がより厳しい環境におかれたとき金属の場合、大気中では、ただちに酸化される。この酸化はより高温ほど激しくなる。大気中の酸素等のガスによる金属の腐食は表面に形成される皮膜の性質により大きく左右される。

軟鋼の場合、腐食は継続され表面に生成する皮膜が脆く多孔質であるため内部まで達する。

ステンレス鋼の場合、緻密な皮膜が形成される ため表面のみに生じ内部まで深く進行しない。

しかし、腐食環境が厳しくなるとその皮膜が破壊され内部まで進行する。そこで、材料表面を人為的に制御、改質し、外界との接触に耐える表面をつくる表面改質技術が注目されている。

当センターにおいては、金属材料等の素材産業の活性化を図るために、これら素材表面に機械的機能等の表面機能を付与することにより素材を高度化、高付加価値化させるため金属表面にセラミックス溶射皮膜を作り金属と皮膜の接合について報告する。

#### 2 実験方法

#### 2-1 原料

ホワイト・アルミナ(第一メテコ(㈱製 105 SF) を使用した。

## 2-2 材料

基材は、寸法 (2.5 mm×3.0 mm×100 mm) のステンレス鋼板(SUS 304) を使用した。

#### 2-3 溶射

大気プラズマ溶射装置(第一メテコ㈱製9M)を使用して表1に示すようなブラスト、溶射機、溶射条件でセラミックス皮膜を作成した。

## 2-4 表面粗さ

サーフテスト 201 (㈱三豊製作所製) を使用して、測定間隔:10 mm、カットオフ値:0.8 mmで、Ra (平均粗さ)、Rz (+点平均粗さ)、Rmax (最大高さ) を求めた。

## 2-5 厚み

顕微鏡断面試験方法を用いて厚みを測定した。 2-6 **硬度** 

マウクロビッカース硬度計(㈱明石製作所製MVK型)を使用して、皮膜表面を荷重3KNで測定をした。

#### 3 実験結果

#### 3-1 表面粗さ

皮膜の表面粗さ結果を表2に示した。 この結果、表面粗さRa、Rz、Rmax は、あまり変化がなかった。

#### 3-2 皮膜の厚み

皮膜の厚み結果を図1に示した。

測定した結果、あまり厚みに変化がなく良好であった。

## 3-3 硬度

マイクロビッカース硬度の結果を図2に示した。

この結果、硬度(Hv)は800  $\sim$ 840 の範囲であった。

表1 ブラスト、溶射機及び溶射条件

| 項目             |                |
|----------------|----------------|
| 1. ブラスト条件      |                |
| (1) 方式         | 吸引式            |
| (2) 材料         | #0.8アルミナ+チタニア  |
| (3) 圧力 (MPa)   | 35             |
| (4) 角度(°)      | 200            |
| (5) 距離 (mm)    | 90             |
| (6) 時間 (sec)   | 10 ~ 15        |
| 2. 溶射機         |                |
| (1) 製造メーカー     | 第一メテコ(株)       |
| (2) 粉末供給位置     | 外部             |
| (3) 定格電力 (KW)  | 90             |
| (4) 粉末供給装置(方式) | 流動床式           |
| 3. 溶射条件        |                |
| (1) プラズマガス(1次) |                |
| 種類             | Ar             |
| 流量 (1/min)     | 55             |
| (2) プラズマガス(2次) |                |
| 種類             | H <sub>2</sub> |
| 流量 (1/min)     | 10             |
| (3) 粉末搬送ガス     |                |
| 種類             | Ar             |
| 流量 (1/min)     | 26             |
| (4) 入力エネルギー    |                |
| 電力(KVA)        | 39             |
| 電圧(V)          | 65             |
| 電流(A)          | 600            |
| (5) 配置         |                |
| 距離 (mm)        | 75             |
| 角度(゜)          | 90             |
| 移行方式           | AuTo           |
| 移行速度(cm/sec)   | 33             |
| (6) ブラスト後の時間   |                |
| (7) 予熱の有無      | _              |

表2 表面粗さ

| 番号 | 測定値 (µm) |      |      |  |
|----|----------|------|------|--|
| 钳与 | Ra       | Rz   | Rmax |  |
| 1  | 3.98     | 23.1 | 27.0 |  |
| 2  | 4.29     | 23.1 | 24.8 |  |
| 3  | 3.65     | 22.8 | 27.6 |  |
| 4  | 4.40     | 23.8 | 26.8 |  |
| 5  | 3.61     | 21.9 | 24.8 |  |
| 平均 | 3.99     | 22.9 | 26.2 |  |

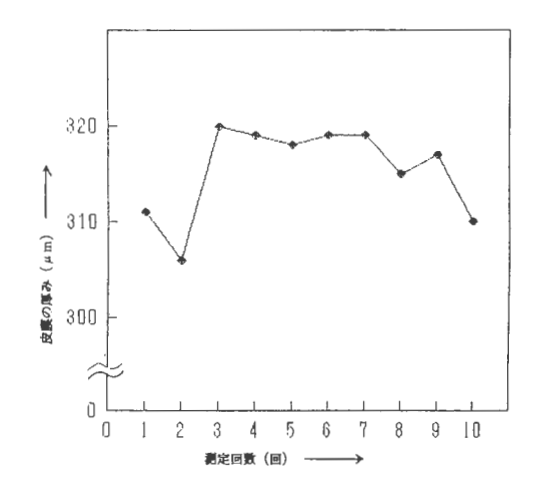


図1 皮膜の厚み

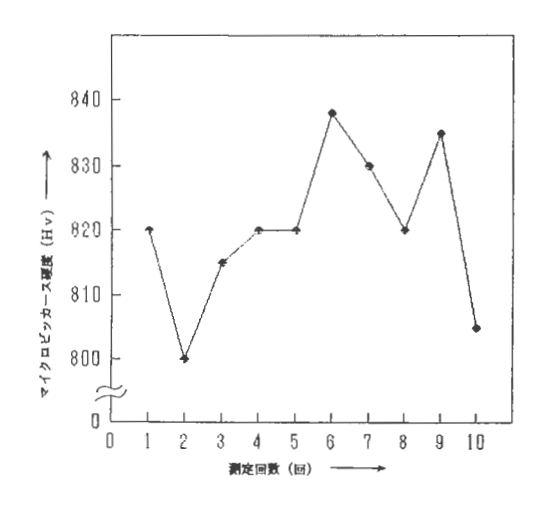


図2 マイクロビッカース硬度

## 4 まとめ

- 1) 表面粗さは、全体的に均一であり良好であった。
- 厚みは、315 μm 前後であり均一に溶射されていた。
- 3) 硬度(Hv)の結果は、 $800 \sim 840$  の範囲内であった。使用したホワイト・アルミナの溶射膜硬度(Hv)は、800 前後であるので一様目的に達したと考えられる。

以上の結果から、表1に示した条件で溶射を行った場合、表面粗さおよび厚みは、均一化しており硬度(HV)も目的の範囲内であったので良好な結果が得られた。

最後に、溶射を行うにあたり第一メテコ㈱の皆様方のご協力に感謝します。

# ベルトコンベヤーのプーリー破壊原因の一考察

## 機械電子部 中村 嵩

#### 1 はじめに

本件は、土砂運搬用ベルトコンベヤー用プーリーの破壊原因調査で、プーリーのシェル部と鏡板部の間の溶接部からの破断で、破面も観察するには困難な状態にあったが結果を得ることができたので報告する。

## 2 結果

2-1) プーリーの形状は図1に示すとおり。

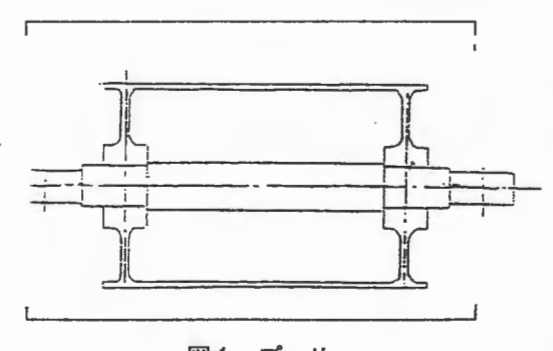


図1 プーリー

2-2) 破断面の全景



写真1 破断面全景(シェル部)



写真 2 破面 (シェル部) 2-3) シェルと鏡板の断面図および破断箇所

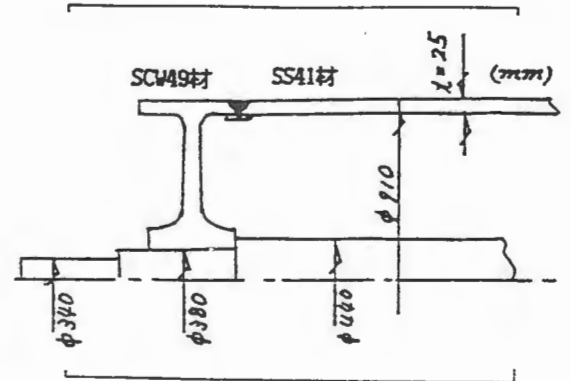


図2 シェルと鏡板の断面図

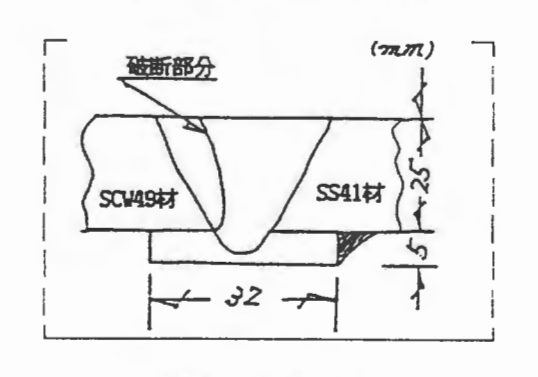


図3 破断箇所

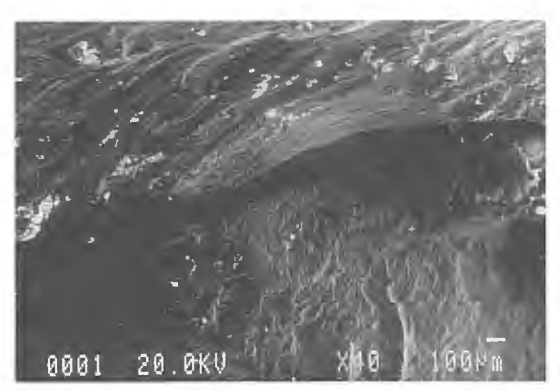


写真3 シェル部 SEM 像

## 2-4) 化学成分分析值

(wt%)

| No. | С    | Р     | S     | 備考         |
|-----|------|-------|-------|------------|
| 1   | 0.17 | 0.019 | 0.007 | シェル部 SS 41 |
| 2   | 0.12 | 0.013 | 0.008 | 鏡板部 SCW 49 |

## 2-5) 材料試験結果

| Na | 寸法    | 降伏点<br>kgf/mi | 最大荷重<br>kgf | 引張強さ<br>kgf/mi | 伸び<br>% | 備考         |
|----|-------|---------------|-------------|----------------|---------|------------|
| 1  | 13.96 | 27            | 29,050      | 44             | 38      | シェル部 SS 41 |
| 2  | 13.64 | 27            | 7,280       | 50             | 29      | 鏡板部 SCW 49 |

## 2-6) 金属硬さ試験結果

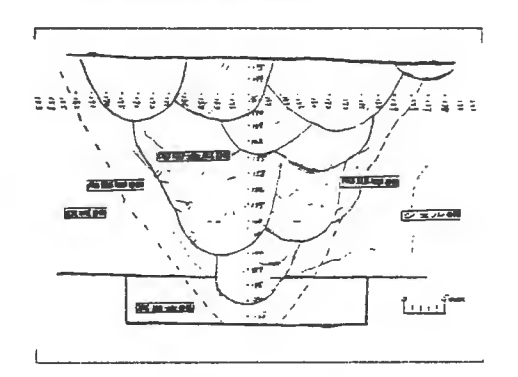


表1 鏡板・シェル溶接部硬さ分布

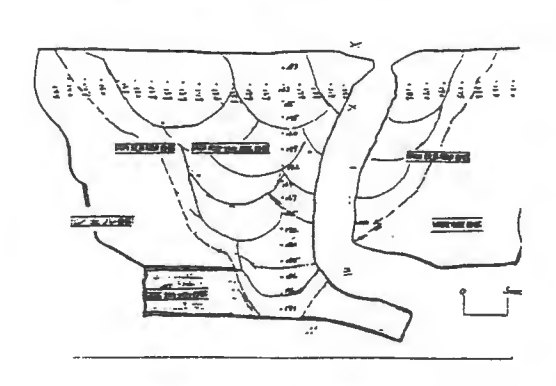
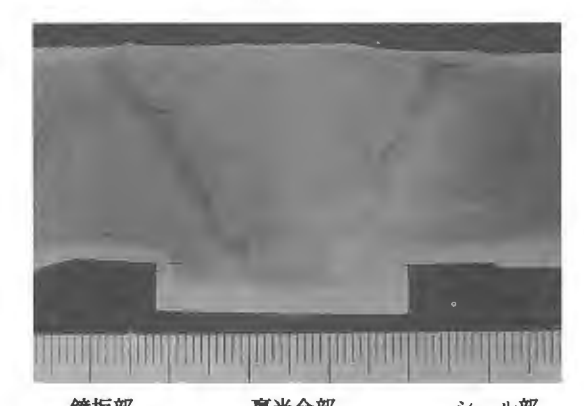


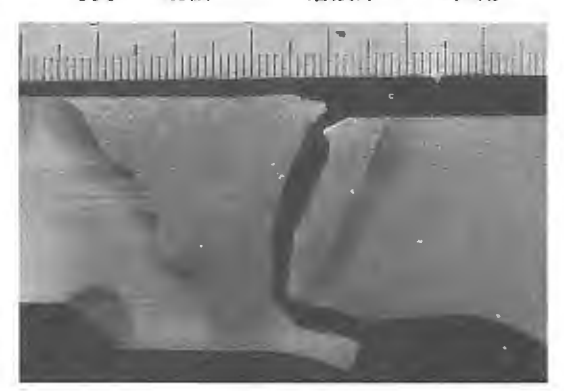
表 2 破断部分の硬さ分布

## 2-7)マクロ試験結果



 鏡板部
 裏当金部
 シェル部

 写真 4
 鏡板・シェル溶接部マクロ組織



シェル部

裏当金部

鏡板部

写真 5 破断部分のマクロ組織

- 2-8)① 化学成分、材料試験等から推測する に材料欠陥は考えられない。
  - ② マシロ組織及び破面観察からプーリーのシェル部と鏡板の溶接部の破壊と断定。

#### 3 破壊原因の考察

本件原因究明に当たっては、破壊原因の因子と して次の3つの要因が考えられる。

## 3-1 ルート部の応力集中

き裂発生点のルート部A点(図4ルート部の応力集中参照)は鏡板と裏当金によるスリットが自然き裂に等しいシャープな亀裂となっている。

この部分はプーリーの回転により半回転毎にこのスリットを引き裂くように外荷重を受ける。

曲げ応力は設計計算によれば1kg/㎡以下の応力であるがスリット先端部の応力集中は考慮されていない値と思われる。

この集中応力は少なく見積っても2倍以上と考えられる。

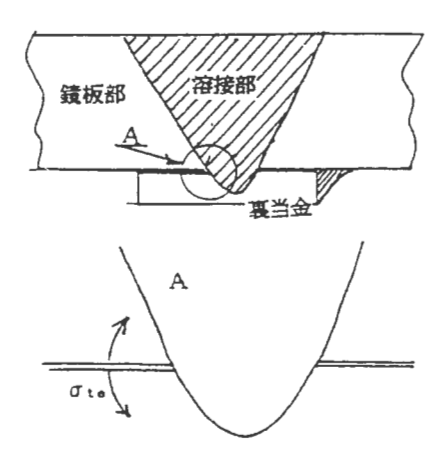


図4 ルート部の応力集中

### 3-2 動荷重(振動)に対する因子

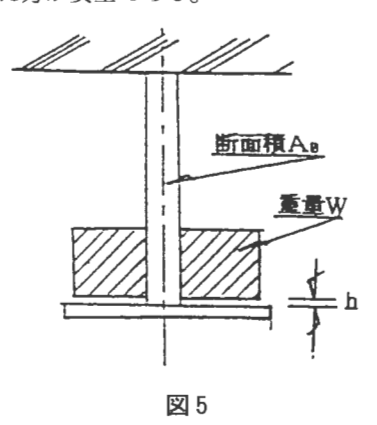
設計における強度計算は静的荷重による計算結果であって、動的ないしは衝撃的荷重の考慮は計算にはいれられていないようである。

非常に単純な例ではあるが、図5のように天井に取り付けられた丸棒に荷重Wを負荷とする場合、ポテンシャルh=0の場合でも時間t=0で負荷した場合には丸棒にかかる応力 $\sigma$ は静荷重の時の応力 $\sigma$ 。 $\sigma$  2 倍となる

$$\sigma = 2 \sigma_0 \qquad \sigma_0 = \frac{W}{A_0}$$

ベルトコンベヤーにかかる荷重は非常に激しい

動的荷重であるから少なくとも静荷重の時の2倍 と考えた方が安全である。



## 3-3 溶接残留応力

シェルと鏡板の溶接部の板厚は 25 mmであり 当然多層溶接となっている。

従って溶接部の残留応力はかなり高い値と推測 される、溶接部は収縮により円周長が短かくなろ うとしその結果直径が小さくなる。

即ち、収縮が自由にできれば溶接部の近傍の状態は図6-aのようになる。

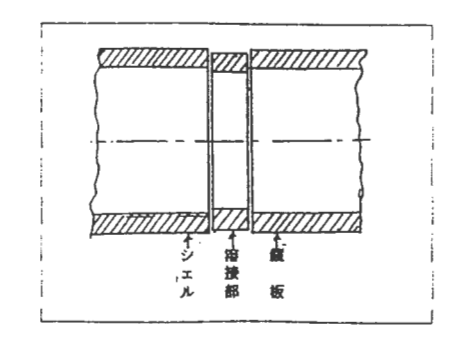
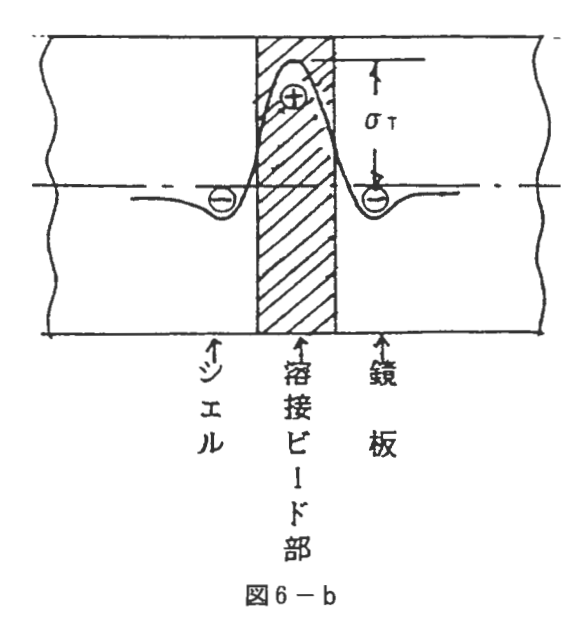


図 6 - a

しかし、実際には溶接部の直径は両側の部分の 拘束により小さくなれないから溶接部の円周長は 短くなれない。

結果として溶接部は円周の溶接方向に大きな引張応力が発生し、隣接する鏡板及びシェル部分には圧縮応力が発生し、残留応力分布は図6-bのようになる。



この引張残留応力は非常に大きい値である。

同時にこの応力のためにそれに直角な2方向、即ちプーリーの軸方向と半径方向にも引張応力が発生し、3軸性応力状態となる。

さらに、溶接部を拡大して図示すると図6-c のようになり、プーリー板厚の内面には軸方向に 引張、外面には圧縮の応力が発生する。

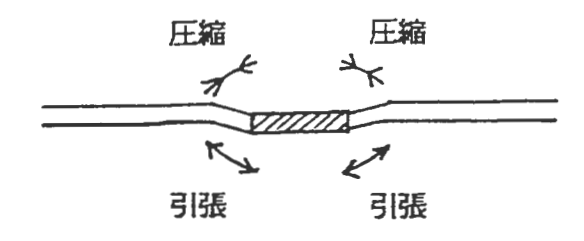


図 6 - c

## 3-4 き裂発生部のルート部A(図2)の応力 状態

き裂発生部A点には裏当金と母材によるシャープなスリットが形成されている。

外荷重による曲げモーメントによりこのスリットには引き裂きの力 $\sigma_{te}$ が働き、自然き裂に等しいスリットが疲労き裂として溶接金属内に進展

し、疲労破壊の開始となる。

1) ルート部Aには図7に示すように外荷重による引き裂き応力 $\sigma$  te が発生する。

このA点の応力集中はかなり大きいと考えられる。

- 2) プーリーにかかる外荷重は動荷重であるから 3-2の項で述べたように、静的荷重によりすく なくとも2倍以上の応力が発生する。
- 3)上記1)2)の外に溶接残留応力の影響は無視することはできない。

溶接残留応力の中でも、最も大きいものは図6bに示した溶接ビード上の円周に対する接線方向 の応力 $\sigma_{\tau}$ である。

この応力はルート部Aのスリットの引き裂き応力 $\sigma_{\rm te}$ に直接重畳しないが、溶接部はこの大きい $\sigma_{\rm T}$ により3 軸性応力状態となるから、溶接部には半径方向応力 $\sigma_{\rm T}$ も発生し、これがルート部Aの引き裂き応力 $\sigma_{\rm te}$ に重畳される。

疲労においては、これら溶接残留応力は平均応力として作用するから疲労破壊を促進する。ルート部Aの応力状態は図7のようである。

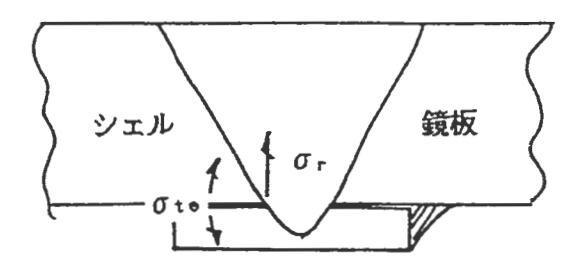


図7 ルート部Aの応力状態

 $\sigma_{\text{te}}$ : 曲げモーメントによるルート部Aの引き 裂き応力

σ: 溶接部に発生する半径方向の引張残留応 カ

て : トルクによるせん断応力(これは非常に 小さいと考えられる。

最後に、大阪産業大学工学部小川清六教授のご 指導に感謝申し上げます。

平成3年9月25日 印刷 平成3年10月1日 発行

## 和歌山県工業技術センター研究報告

(平成2年度)

編集・発行 和歌山県工業技術センター 和歌山市小倉60 TEL (0734) 77-1271 FAX (0734) 77-2880

印刷所(株)福本印刷

